

Spedizione in abbonamento postale - Gruppo III

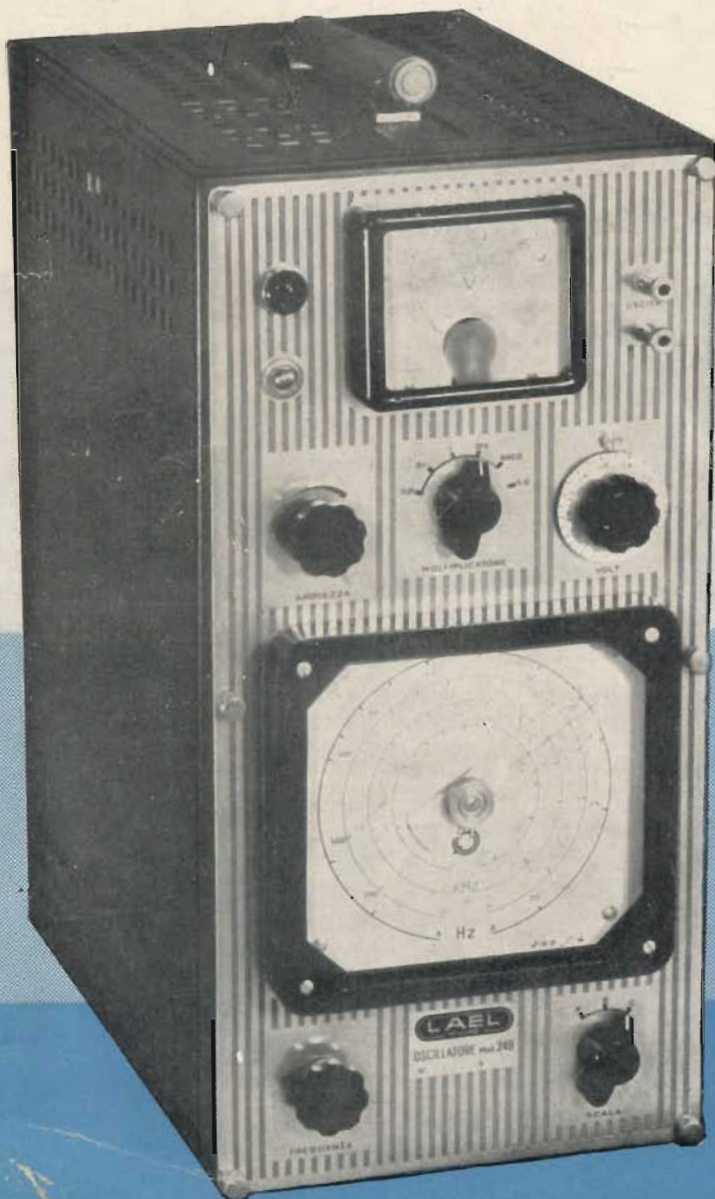
L'antenna

Anno XXI - Dicembre 1949

NUMERO

12

LIRE DUECENTO

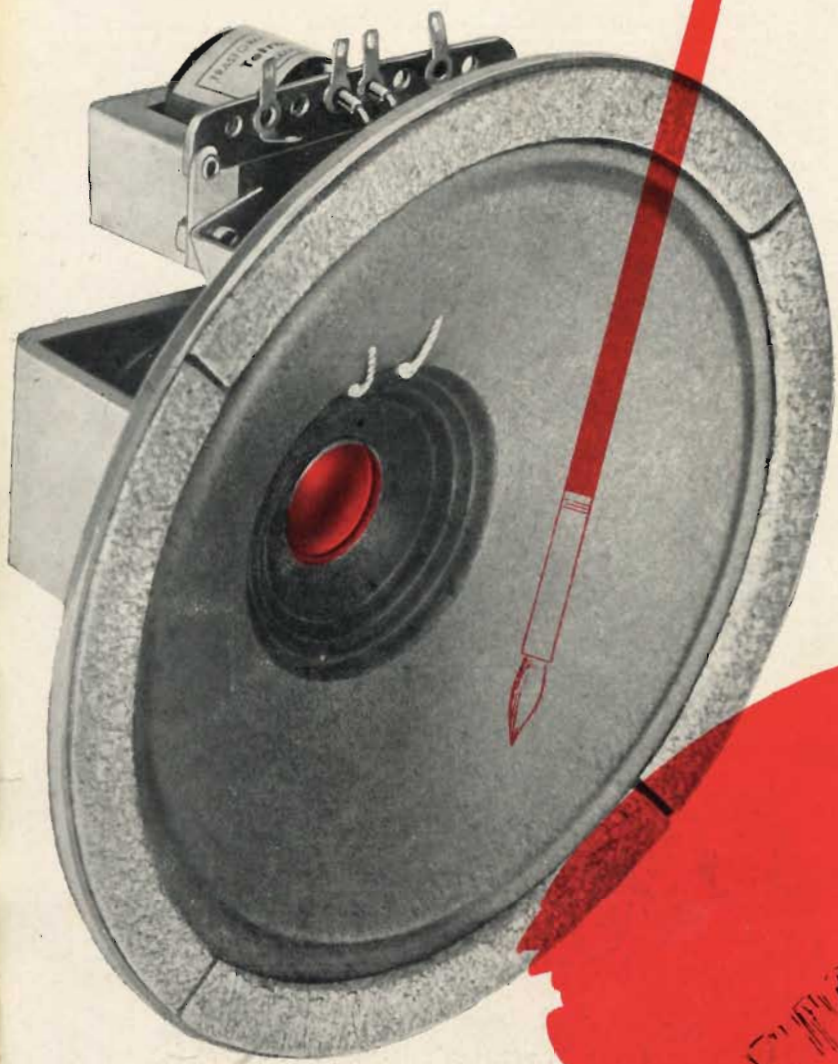


LAEL
MILANO

GENERATORE B.F. mod. 249

*La Ditta "LAEL,, presenta la sua
produzione 1950*

OSCILLOGRAFO	MOD.	170
OSCILLOGRAFO	..	448
GENERATORE SEGNALI	..	748
OSCILLATORE A. e B.F.	..	1146
OSCILLATORE	..	145
MILLIVOLTMETRO	..	349
VOLTMETRO	..	149
ANALIZZATORE	..	542
MODULATORE	..	612
STROLUX	..	148
PONTE RCL	..	650
PONTE RCL	..	1246



RADIOCONI

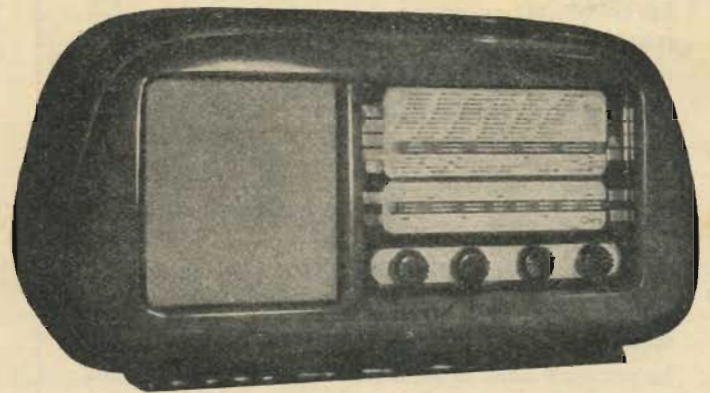
dà colore alla musica

Ricci 49

UFF.: MILANO - VIA DELLA MADDALENA 3 - TELEF. 87.865 - 87.900
STAB.: MILANO - VIA F. PIZZI, 29 - TELEFONI: 52.215 - 58.00.98

RSM
COSTRUZIONI
RADIO

La voce alata



RADIO SCIENTIFICA

di G. LUCCHINI & C. S. R. L.

RSM 550 L/2 Supereterodina, 5 valvole Philips, 2 gamme d'onda
altoparlante alnico V° di grande dimensione

RSM 550 L/4 Supereterodina, 5 valvole Philips, più occhio magico
4 gamme d'onda altoparlante alnico V° di grande
dimensione

CORSO XXII MARZO, 52 - **MILANO** - TELEFONO 585.848

L'antenna

RADIOTECNICA E TECNICA ELETTRONICA

XXI ANNO DI PUBBLICAZIONE

Proprietaria: Editrice **IL ROSTRO S.a.R.L.**
 Comitato Direttivo:
 Presidente: prof. dott. ing. **Rinaldo Sartori**
 Vice presidente: dott. ing. **Fabio Cisotti**
 Membri:
 prof. dott. **Edoardo Amaldi** - dott. ing. **Cesare Borsarelli** -
 dott. ing. **Antonio Cannas** - dott. **Fausto de Gaetano** -
 ing. **Marino della Rocca** - dott. ing. **Leandro Dobner** - dott.
 ing. **Giuseppe Gaiani** - dott. ing. **Camillo Jacobacci** - dott.
 ing. **Gaetano Mannino Patane** - dott. ing. **G. Monti Guar-**
nieri - dott. ing. **Sandro Novellone** - dott. ing. **Donato Pelle-**
grino - dott. ing. **Celio Pontello** - dott. ing. **Giovanni Rochat** -
 dott. ing. **Almerigo Saitz**.
 Redattore responsabile: **Leonardo Bramanti**
 Direttore amministrativo: **Donatello Bramanti**
 Direttore pubblicitario: **Alfonso Giovene**
 Consigliere tecnico: **Giuseppe Ponzoni**

SOMMARIO

	pag.
Sulle onde della radio	523
La televisione in Italia	526
La televisione per l'insegnamento della chirurgia	526
Notizie dalla Gran Bretagna di <i>A. Reid</i>	531
Il ruolo della tecnica elettronica nei piani per l'energia atomica di <i>J. Cockroft</i>	537
Le equazioni dell'oscillazione di rilassamento a dente di sega di <i>A. Nicolich (parte seconda)</i>	545
Ricercatore di guasti "signal tracer", di <i>L. Poretta</i>	550
L'evanescenza nelle radio-comunicazioni di <i>P. Soati</i>	551
Realizzazione pratica di un oscillatore modulato di <i>Brida Egon</i>	553
Economizzatore di batteria per apparecchi portatili di <i>A. Casali</i>	555
Studio all'oscilloscopio dei fenomeni transitori non periodici di <i>R. Wahl</i>	556
Gli ultrasuoni in medicina di <i>E. J. Thompson</i>	559

Direzione, Redazione, Amministrazione ed Uffici Pubblicitari:
 VIA SENATO, 24 - MILANO - TELEFONO 70.29.08
 CONTO CORRENTE POSTALE 3/24227 - CCE CCI 225.438

La rivista di radiotecnica e tecnica elettronica «l'antenna» si pubblica mensilmente a Milano. Un fascicolo separato costa L. 200; l'abbonamento annuo per tutto il territorio della Repubblica L. 2000 più 40 (2% imposta generale sull'entrata); estero L. 4000 + 80. Per ogni cambiamento di indirizzo inviare L. 50, anche in francobolli. Tutti i diritti di proprietà artistica e letteraria sono riservati per tutti i paesi. La riproduzione di articoli e disegni pubblicati ne «l'antenna» è permessa solo citando la fonte.

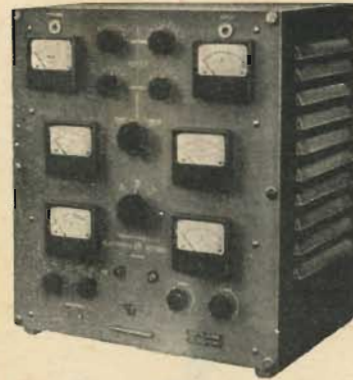


Copyright by Editrice il Rostro 1949.

La collaborazione dei lettori è accettata e compensata. I manoscritti non si restituiscono per alcun motivo anche se non pubblicati. La responsabilità tecnica scientifica di tutti i lavori firmati spetta ai rispettivi autori, le opinioni o le teorie dei quali non impegnano la Direzione.

ELECTRICAL METERS

VIA BREMBO 3 - MILANO - TEL. 58.42.88



TRASMETTITORE 50 W
ONDE CORTE

RADIO
PROFESSIONALE

TRASMETTITORI
ULTRA CORTE

RADIO TELEFONI

COLLEGAMENTI - PONTI RADIO

STRUMENTI DI MISURA

- per radio tecnica
- industriali
- da laboratorio



ELLES
 A DIORCOSTRUZIONI
 MILANO - VIA F. CASATI, 8 - TELEFONO 20.91.74



- Mod. 352 - 5 valvole octal - 2 campi onde
cm. 45 x 29 x 19 **L. 32.000**
- Mod. 253 - 5 valvole rosse - 3 campi onde
cm. 56 x 38 x 24 **L. 42.000**

NEI PREZZI SONO ESCLUSE LE TASSE

Rappresentanti:

- LAZIO:** Filocamo Rag. Francesco - ROMA - Via Germanico, 55
- MARCHE:** Lorenzoni Lallo - FALCONARA M. - Via Mazzini
- TOSCANA - LIGURIA:** Mercantelli Odeus - FIRENZE - Via Ghibellina 65
- PUGLIA - BASILICATA:** Colasanti Dott. Vittorio - BARI Via Imbriani, 44
- NOVARA - VERCELLI (esclusiva):** Pagani A. - Corso F. Cevallotti, 12 (int.)

CERCANSI RAPPRESENTANTI ZONE LIBERE

sulle onde della radio

PARLIAMO UN POCO DI NOI E DI VOI

Parlare di voi, cari Lettori, è cosa sempre molto gradita per chi da ventun anno fa del suo meglio per accontentarvi nel modo più pronto e più adeguato all'incessante progredire della tecnica. Parlare di noi non ci sorride affatto, e quando possiamo farne a meno siamo veramente felici. Ma poichè dice l'antico adagio semel in anno licet insanire, anche noi, una volta tanto, approfittiamo di quella licenza, non dimenticando di mettervi quel tale pizzico di discrezione che non è mai di troppo.

Del resto, lo strappo alla regoia del riserbo è dovuto principalmente ad una causa che impegna sinceramente e profondamente l'animo nostro: l'obbligo in cui ci sentiamo di trovare, in questo ultimo numero dell'annata, quel tanto di spazio che basti a contenere un saluto ed un augurio per il prossimo Natale, la fine e il principio d'anno, che inviamo con spirito amicale a quanti ci seguono con simpatia e ci sorreggono con una fiducia temprata nelle dure prove dei tempi difficili. Graditeli, cari Lettori, con la stessa schiettezza di chi ve li manda.

Compiuto questo dovere di urbanità, e prima di posare la penna, ci sia consentito di fare, insieme con voi, una constatazione nella quale mettiamo una punta di legittimo orgoglio: quella di aver potuto mantenere la promessa fatta, all'inizio dell'anno che sta per finire, che avremmo posto ogni cura ed il massimo impegno perchè la rivista uscisse regolarmente, senza interruzioni e senza numeri doppi, a cui, purtroppo, in forza di circostanze e difficoltà a tempo e luogo opportunamente chiarite, dovemmo più volte ricorrere nei lunghi anni della guerra e del dopoguerra.

Il « fatto nuovo » della raggiunta puntualità non è sfug-

gito ai Lettori e agli Abbonati: abbiamo raccolto in uno speciale inserto le numerose lettere che ogni giorno ci pervengono in questo scorcio d'anno, da parte di fedeli ed affezionati amici, i quali ci sono prodighi di plausi e di rallegramenti. Rispondiamo a tutti codesti benevoli con un grazie cordiale, assicurandoli che è nostro proposito di perseverare su una direttiva che ha incontrato tanto favore e consenso.

Di una cosa vorremmo pregarvi, cari Lettori: mandateci meno bigliettini e lettere laudatorie, e più critiche e suggerimenti. Credete: la forma più attiva ed efficace di collaborazione è quella di dire sinceramente « questo va, e questo non va; quello è fatto bene così, ma sarebbe fatto meglio in un altro modo »; naturalmente precisando la sostanza di un tale modo migliore affinchè noi possiamo metterlo in atto. I nostri ventun anno di lavoro stanno a dimostrare, appunto, che noi siamo stati sempre aperti alle critiche ed abbiamo saputo avvantaggiarcene. Senza ombra di falsa modestia, noi crediamo fermamente che se « l'antenna » è quella che è (cioè una delle più aggiornate riviste italiane di radiotecnica) il merito è solo in parte di chi la dirige e la compila; un'altra parte, e non la più trascurabile, spetta a coloro che ci mandano studi e saggi, o semplicemente utili consigli.

Non dimenticate perciò, amici, che « l'antenna » ha bisogno della vostra preziosa collaborazione in tutte le forme, sia con scritti, soluzioni, realizzazioni (che noi presenteremo al nostro pubblico nella veste più accurata) che con la continua ed assidua propaganda nella cerchia dei vostri amici e conoscenti. E perchè il nostro lavoro possa procedere e svilupparsi a passo sempre più celere e con accento di costante affinamento tecnico, abbiamo soprattutto bisogno di tre cose, le quali sono poi una cosa sola: abbonati abbonati abbonati. Gli abbonati (e siano affettuosamente ringraziati) sono già molti; ma se anche si centuplicassero non sarebbero mai di troppo. E' sul loro numero che si possono impostare e varare i più arditi programmi. Abbonatevi e fate che i vostri amici si abbonino: non avete modo più eloquente e pratico per dimostrare il vostro attaccamento a « l'antenna », nè noi più viva spinta a dar corpo incessante al più ed al meglio.

« L'ANTENNA »

ING. S. BELOTTI & C. S. A. - MILANO PIAZZA TRENTO, 3

Telegr.: INGBELOTTI-MILANO

GENOVA: Via G. D'Annunzio 17 - Tel. 52.309

Telefoni: 52.051 - 52.052 - 52.053 - 52.020

ROMA: Via del Tritone 201 - Tel. 61.709

NAPOLI: Via Medina 61 - Tel. 23.279

APPARECCHI GENERAL RADIO



Ponte per misura
capacità tipo 1614-A

STRUMENTI WESTON



Tester 20 000 ohm volt.

OSCILLOGRAFI ALLEN DU MONT



Oscillografi tipo 274

LABORATORIO PER LA RIPARAZIONE E LA RITARATURA DI
STRUMENTI DI MISURA

Il grande apparecchio di alta classe.

Voi potrete ascoltare con questo apparecchio le musiche di tutto il mondo. Grazie all'allargamento di gamma ottenuto scientificamente, le stazioni ad onde corte possono essere sintonizzate con grande facilità; come per magico incanto le stazioni scattano fuori al lieve tocco delle Vostre dita e tutti i programmi più famosi del mondo intero vengono a Vostra disposizione nella Vostra stanza.



Apparecchio di grande classe 5 valvole più occhio magico - 7 gamme.
Gruppo a permeabilità P8/F con allargamento di gamma a capacità.
Altoparlante Alnico V° "VOCEDORO,, da 240 mm. con grande eccitazione.
Grande scala parlante a specchio.
Alta stabilità - Gruppo bloccato.
Mobile con radiche di lusso.
Griglia altoparlante in "Saran,,
Trasformatore 110-220 Volt 42-60 periodi.
Trasformatori di M.F. di alto rendimento.
Controllo automatico di volume.
Speciale circuito di controreazione.
Filtro d'antenna per l'eliminazione delle interferenze.
3 Watt di uscita indistorti.
Controllo di tono a 3 posizioni.
Attacco per fonografo (presa fon.).
Elevato coefficiente di sicurezza dei singoli componenti.
Valvole usate: 6TE8GT - 6SK7 - 6SQ7 - 6V6 - 6X5.
Dimensioni: 720 x 385 x 310 - Peso: Kg. 7 (con imballo)

*Ascoltate la nostra pubblicità alla Radio
ore 20,26 rete azzurra ed ore 20,52 rete rossa*

NOVA 6 N 7

SERIE "Vocedoro"

GAMME D'ONDA:

OM. 520 - 1605 Kc.

OC. 18,5 - 53,5 m.

OC. Banda 49 : da 46 a 51 m.

OC. Banda 41 : da 38 a 43 m.

OC. Banda 31 : da 30 a 32 m.

OC. Banda 25 : da 24 a 26 m.

OC. Banda 19 : da 18,5 - 20 m.

NOVA

MILANO

PIAZZALE LUIGI CADORNA, 11

TELEFONO 12.284

Spet. NOVA S. A. - Piazza Cadorna, 11 - Milano
Inviatemi listino 605

Fig.

(a/12)

trovano soluzione con il materiale

ogni esigenza
ogni problema tecnico . . .

GELOSO



vic. 49

LA TELEVISIONE IN ITALIA

Aggiornando i suoi lavori con la seduta odierna il Comitato Nazionale Tecnico di Televisione ha concluso, dopo 18 mesi di studi e riunioni collettive fra specialisti e rappresentanti dell'industria, nonché a seguito dei lavori del Congresso e dimostrazioni presso l'Esposizione Internazionale di Milano, i lavori sulla sua proposta di standard per la televisione in Italia.

Le conclusioni sono le seguenti:

Per la televisione circolare, cioè per la televisione familiare, sono sufficienti 625 linee doppio interlacciato, 50 immagini al secondo, modulazione video negativa, modulazione di frequenza per i suoni e radiotrasmissione su onde metriche.

Per la televisione professionale, cioè per la televisione su schermo cinematografico, per la registrazione di films televisivi ed analoghi impieghi, sono richieste 1250 linee, 50 immagini al secondo, modulazione video negativa, modulazione di frequenza per suoni e radiotrasmissione su onde centimetriche e decimetriche.

Tutti i dettagli tecnici, norme e tolleranze rispettive di queste proposte saranno pubblicati dal Comitato entro il corrente anno nel rispettivo Bollettino a cura di una rispettiva Commissione nominata.

A commento delle conclusioni si può commentare che

— per la televisione circolare gli standards d'esportazione applicati dagli Stati Uniti e dall'Inghilterra sono quelli che più si avvicinano allo standard proposto dal C.N.T.T. per la televisione circolare in Italia;

— per la televisione professionale invece lo standard che più si avvicina a quello proposto dal C.N.T.T. è lo standard ufficiale francese di televisione circolare.

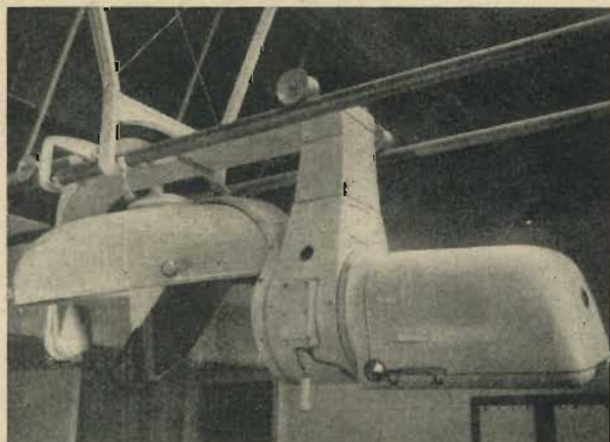
Per quanto riguarda la fusione dei due standards circolare e professionale, anche secondo le proposte internazionali, (Barthélémy, Castellani, Mansion, Schröter) il C.N.T.T. afferma che la fusione presenta indiscutibili vantaggi tecnici ed economici, ma implica d'altra parte fattori politici e finanziari che possono essere decisi con profitto solamente da un Ente interministeriale.

Per il resto dei lavori nel campo delle Norme industriali e di fabbricazione dei vari complessi di televisione, il C.N.T.T. riprenderà gli studi secondo il programma stabilito per l'anno 1950.

LA TELEVISIONE

PER L'INSEGNAMENTO DELLA CHIRURGIA

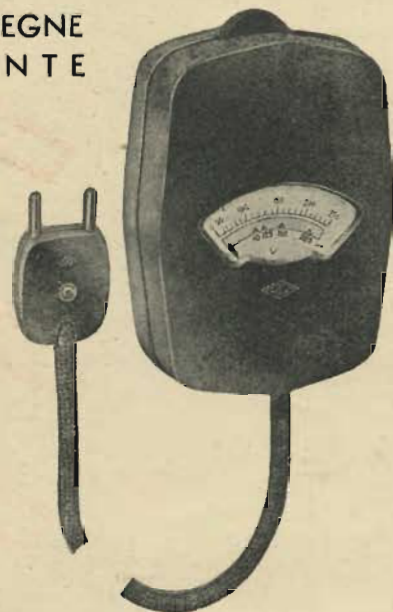
All'ospedale Guy di Londra è stata installata una nuova Emi-tron televisiva, progettata in collaborazione con il direttore del reparto chirurgico di quell'ospedale. Si tratta di un equipaggiamento unico, del suo genere, il quale ha funzionato per la prima volta a scopo dimostrativo, l'11 maggio 1949. Durante questa prima dimostrazione è stata effettuata l'asportazione dell'appendice di un bambino trasmettendo l'operazione su opportuni schermi situati in una sala ad anfiteatro, attiguo alla sala operatoria. Agli osservatori era permesso di accedere alle gallerie della sala operatoria durante il corso dell'operazione, in modo da rendere possibile un raffronto diretto.



Gruppo di illuminazione e camera televisiva sulla quale è applicato un microfono per permettere al chirurgo di illustrare le fasi dell'operazione. La piccola leva di rotazione del complesso è visibile al centro della foto, nella parte inferiore.

APPLICATE ALLA VOSTRA RADIO IL REGOLATORE DI TENSIONE CHINAGLIA Mod. CDb

CONSEGNE
PRONTE



Mod. CD/b 40 fino a 40 Watt di carico
Mod. CD/b 50 fino a 50 Watt di carico
Mod. CD/b 60 fino a 60 Watt di carico
Mod. CD/b 80 fino a 80 Watt di carico
Mod. CD/b 100 fino a 100 Watt di carico



ELETTROCOSTRUZIONI CHINAGLIA - BELLUNO

MILANO - Filiale Via Cosimo del Fante, 9 - Tel. 383.371



Mod. "FIDELIO",

5 VALVOLE RIMLOCK
2 GAMME D'ONDA

ALTOPARLANTE A
MAGNETE PERMANETE

ALIMENTAZIONE IN
CONTINUA E ALTERNATA

MOBILE ELEGANTE
IN LEGNI PREGIATI

GARANZIA SCRITTA
PER 6 MESI



BERSELLI



*METROSA la radio dalla dolcissima
voce, trasmette in occasione delle
prossime festività, i migliori auguri a
tutti i propri affezionati ascoltatori.*

METROSA



Mentre fervono le discussioni sulle possibilità della televisione quale mezzo di insegnamento della medicina e della chirurgia questa realizzazione rappresenta il primo equipaggiamento a carattere permanente progettato e realizzato convenientemente in tutti i particolari in modo di soddisfare le particolari esigenze della professione del medico. Inoltre, in questa occasione era la prima volta che in Europa si provvedeva a televisionare operazioni chirurgiche.

L'equipaggiamento si compone di un meccanismo per le riprese televisive e di un gruppo di illuminazione a luce senza ombre. Fanno parte del gruppo di illuminazione le lenti e la camera di televisione; azionando una piccola leva, tutto il complesso può ruotare di 60 gradi per adattarsi alle operazioni intraprese su tavole inclinate, oppure può scorrere su una rotaia collocata superiormente in modo di riprendere in tutte le possibili posizioni il campo d'azione.

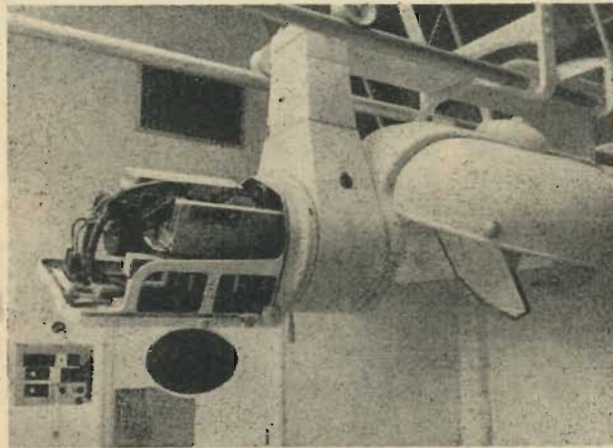
Il sistema delle lenti il quale viene comandato dalla camera di controllo, offre la possibilità di tre amplificazioni in modo che la riproduzione sullo schermo televisivo rappresenti, a piacere, una delle seguenti zone:

- 1) un campo di tutta l'area interessata ed approssimativamente della superficie dai 50 ai 62 cm²;
- 2) una riproduzione approssimativa dell'ambiente in proporzione;
- 3) un ingrandimento di una parte dell'area interessata avente le dimensioni da 12 a 15 cm².

L'equipaggiamento video, collocato nella camera di controllo, contiene il tubo elettronico ed il generatore delle onde, di cui alcune parti componenti sono protette da coperture rinforzate con lamierini metallici, le protezioni hanno i fianchi smontabili in modo di consentire una buona accessibilità indispensabile per la manutenzione delle parti componenti l'equipaggiamento che sono montate su pannelli a cerniera.

I controlli dei movimenti sono raggruppati sul pannello frontale mentre i contatti di direzione e i tubi sono montati sul pannello posteriore e connessi fra loro per mezzo di cavi.

La camera di televisione impiega un tubo emitron che per l'alta sensibilità pur non richiedendo un aumento di illuminazione può funzionare con lenti di piccola apertura con il vantaggio di un fuoco di maggiore penetrazione nell'immagine ricevuta. Il tubo



L'equipaggiamento video nella camera di controllo comprende il tubo elettronico della camera e il generatore delle onde di cui varie parti sono protette con rivestimenti metallici smontabili in modo di permettere una facile accessibilità per la manutenzione delle parti componenti l'equipaggiamento che sono montate su pannelli a cerniera.

emitron è montato in un carrello con supporti su cuscinetti a sfere il quale per la messa a fuoco ottica viene automaticamente comandato e controllato da lontano.

L'amplificatore direzionale e l'analizzatore sono montati in senso longitudinale per facilitare la manutenzione e l'eventuale smontaggio, e anche la camera può essere rapidamente smontata in caso di necessità.

Un microfono è applicato al gruppo di illuminazione, sul lato opposto della camera in modo che il chirurgo possa illustrare le fasi dell'operazione.

La camera, il gruppo di illuminazione, e i cavi del suono e del controllo sono tutti collegati, per mezzo di tubi telescopici, al dispositivo di controllo il quale è collocato in un ambiente situato sulla galleria del teatro. Il dispositivo di controllo segue tutte le

LA DITTA

RADIO AUBIEMMA - MILANO

VIA ADIGE 3 - TELEFONO 576-198 . CORSO ROMA 111 - TELEFONO 580.610

Sempre all'avanguardia dei prezzi bassi, augura buon Natale e ottimo Anno ai suoi clienti "BUONI e CATTIVI" e li invita a osservare bene i prezzi e la qualità dei suoi articoli nel listino 80

NOVITÀ: altoparlanti Alnico V°, diametro 6 centimetri L. 1500 - Variabili micro 1250 - Medie L. 700 - Gruppi L. 700 - Variabili L. 650 - Trasform. 1500, 1700. Altopar. L. 1800 W 6

Sino al 20 Gennaio a chi spende L. 25000 da noi, regaliamo: 1 cassetta di 4 bottiglie di liquori "LAZZ.", oppure un apparecchio fotografico tipo Leica.

Abbiamo il più assortito emporio di lampade per cinema e raddriz. al selenio e ossido di rame.

9

NOVE PUNTI

DI SUPERIORITÀ DEGLI
ALTOPARLANTI MAGNETODINAMICI

IREL

SERIE PHISABA ELECTRONICS
E SERIE CAMBRIDGE

• Tutte le parti componenti gli altoparlanti subiscono prima del montaggio una rigorosa selezione che assicura stabilità di funzionamento e uniformità di produzione, permettendo di costruire per ogni cliente l'altoparlante che ha la frequenza di risonanza, la frequenza di natura, il timbro, adatti alle dimensioni del mobile ed al circuito elettrico.

• Il magnete in Alnico V, possiede un'energia specifica (per unità di volume) circa 3 volte maggiore di ogni altra lega, permettendo di raggiungere i più alti rendimenti acustici.

• Il cono, è accuratamente scelto e designato per il responso acustico richiesto da ogni singolo tipo.

• La bobina mobile, leggerissima e robusta, consente un'estensione del registro acuto superiore a quello di un altoparlante normale, assicurando altresì la massima durata dell'unità mobile.

• Il centro, costituito da un tessuto speciale, opportunamente trattato, possiede insieme alla maggiore elasticità, una assoluta indeformabilità, e leggerezza.

• L'espansione polare ricavata da un sol pezzo di trafilato magnetico ad altissima permeabilità, contribuisce insieme al magnete, alla superiore sensibilità degli altoparlanti IREL.

• Il cestello, in lamiera di ferro speciale assolutamente indeformabile, assicura la perfetta centratura della bobina mobile nel tempo e nelle più disagiate condizioni di funzionamento.

• L'impermeabilità alla polvere e all'umidità è completa per la particolare forma del centro e per l'apposito disegno delle altre parti.

• Il collaudo di ogni altoparlante viene minuziosamente e lungamente effettuato, sia per il responso acustico e la sensibilità, che per l'esatto montaggio delle parti e la rifinitura. Ogni unità che sia al disotto del livello prefissato anche in uno solo di questi punti viene inesorabilmente scartata.



IREL

Sede: GENOVA - Via XX Settembre, 31/9 - Tel. 52.271
Filiale: MILANO - Via Ilgo Foscolo, 1 - Tel. 897.660

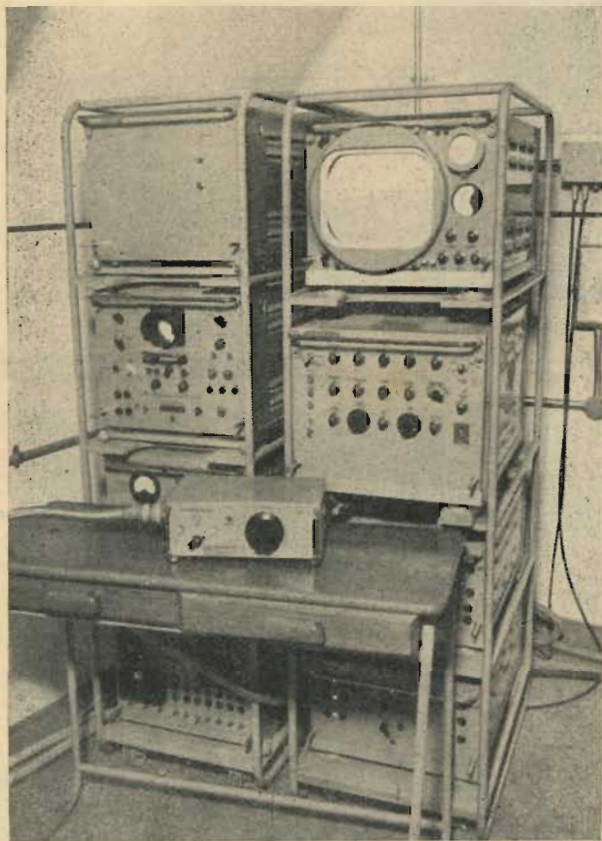
Dove la qualità è la prima esigenza di un progettista, la sua scelta deve cadere su altoparlanti IREL. Essi gli assicureranno anni di ottimo ed immutato funzionamento e la migliore riuscita del ricevitore o amplificatore che ne verrà equipaggiato.

operazioni necessarie per trasmettere l'immagine sull'apposito quadro e contiene il generatore delle onde.

L'amplificazione raccoglie in sé i circuiti per l'invio dei segnali televisivi, rendendoli sincroni, e tutte le onde necessarie per il funzionamento del tipo di camera impiegato.

I segnali audio e video vengono trasmessi, mediante cavo, ai punti di osservazione ove si trovano gli studenti. Il sistema di analisi è basato sullo standard HMV, con tubo emiscopo da 37 cm, leggermente modificato per essere in grado di trasformare i segnali ricevuti dal cavo.

(USIB).



I segnali audio e video vengono trasmessi ai punti di visione ove risiedono gli studenti, nella foto è riprodotto il dispositivo di controllo.

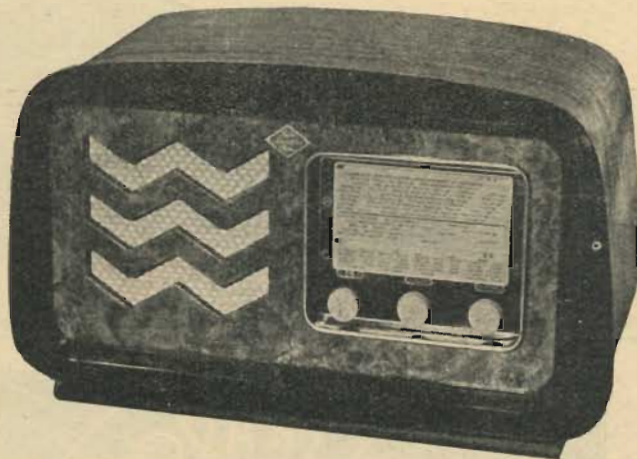
NOTIZIE DALLA GRAN BRETAGNA

La nuova stazione inglese di trasmissione televisiva, situata nel Midlands, che entrerà in funzione prima della fine dell'anno, sarà sette volte più potente di qualsiasi altra esistente negli Stati Uniti e servirà una popolazione di sei milioni e mezzo di persone. I programmi saranno trasmessi da Londra a più di 160 chilometri di distanza per mezzo di un cavo coassiale di nuovo disegno e di stazioni radio di collegamento poste ad intervalli di 48 chilometri l'una dall'altra, e che si dice siano tecnicamente più progredite di quelle d'oltre atlantico.

E' tipico dell'Inghilterra che questa bella stazione trasmittente sia solo la seconda ad essere impiantata. L'esperienza e la conoscenza inglese in materia di televisione non sono seconde a nessun'altra: il progresso in questo campo è reale e basato su di una solida tecnica, ma non è spettacolare. Le difficoltà economiche hanno impedito una troppo facile espansione. Malgrado lo spazio ristretto e le limitate disponibilità finanziarie i produttori di Alexandra Palace non hanno nessuno che gli eguagli nella conoscenza della tecnica della televisione, che si differenzia grandemente da quella del palcoscenico o dello schermo.

Le macchine inglesi per la ripresa televisiva possono oggi funzionare letteralmente a lume di candela. Le trasmissioni di spettacoli all'aperto, quali le Olimpiadi del 1948 e le regate tra le Università di Oxford e di Cambridge, sono state viste contemporaneamente da circa un milione di persone; si dice che i documentari di attualità per la televisione siano tecnicamente migliori di quelli del cinematografo. Le pellicole sono ora televisionate con gran successo per mezzo dei nuovi « film scanners » inglesi e il controllo della macchina da presa, tanto nelle riprese interne che in quelle esterne, è stato portato alla perfezione.

Kradio



MOD. 49

Ricevitore Supereterodina a 5 valvole - Onde medie e corte - Altoparlante ALNICO
Dimensioni 48x23x28 cm.



MOD. 61

Ricevitore Supereterodina a 5 valvole - 6 gamme d'onda - Altoparlante ALNICO - Mobile di lusso
Dimensioni 66x27x37 cm.

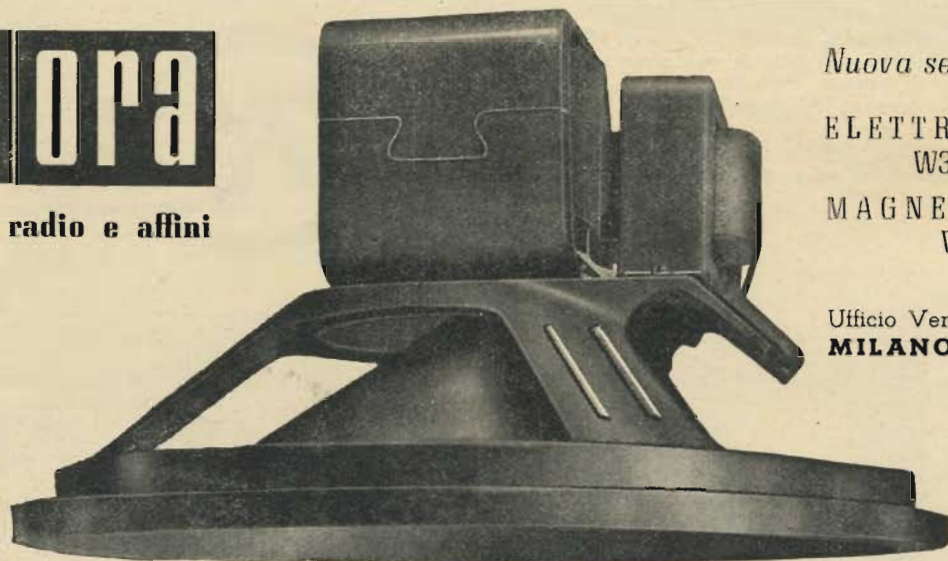
SOCIETÀ COMMERCIALE
RADIO SCIENTIFICA
MILANO

VIA ASELLI 26 - TELEFONO 29.23.85

A RICHIESTA INVIAMO LISTINO



Officine radio e affini



Nuova serie:

ELETTRODINAMICI
W3 - W6 - W8

MAGNETODINAMICI
W3 - W6

Ufficio Vendita:

MILANO - VIA TORINO 29
TELEFONO 82.531

MILANO - Via Massena 15
Telefono 40.150

DAL 1925



UNDA RADIO

SEMPRE ALL'AVANGUARDIA

Parti staccate per la costruzione di qualsiasi antenna rotativa direzionale

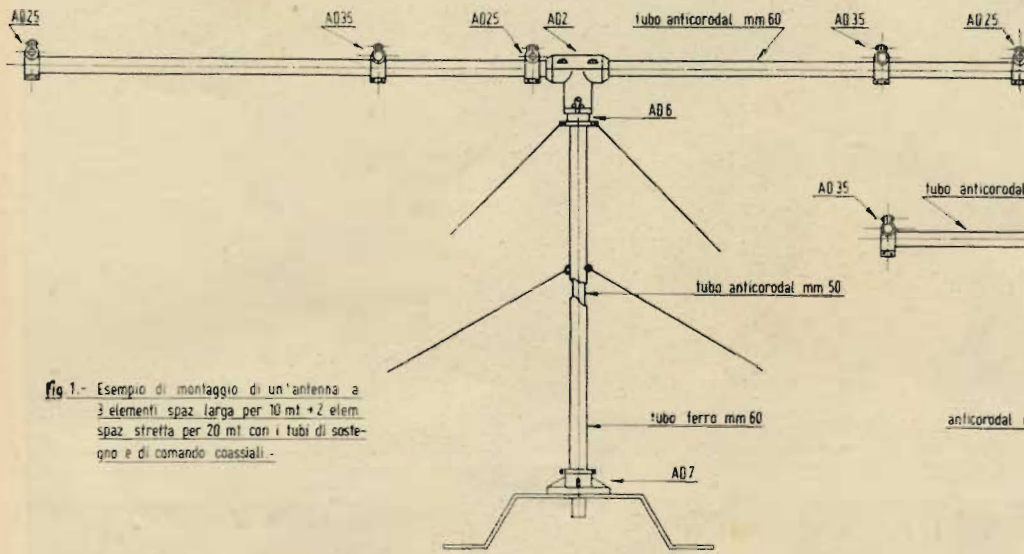


Fig. 1 - Esempio di montaggio di un'antenna a 3 elementi spaz. larga per 10 mt. + 2 elem. spaz. stretta per 20 mt. con i tubi di sostegno e di comando coassiali.

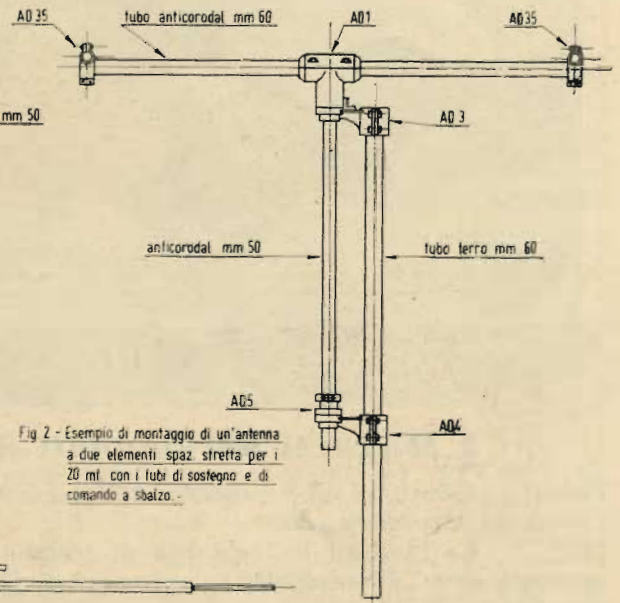
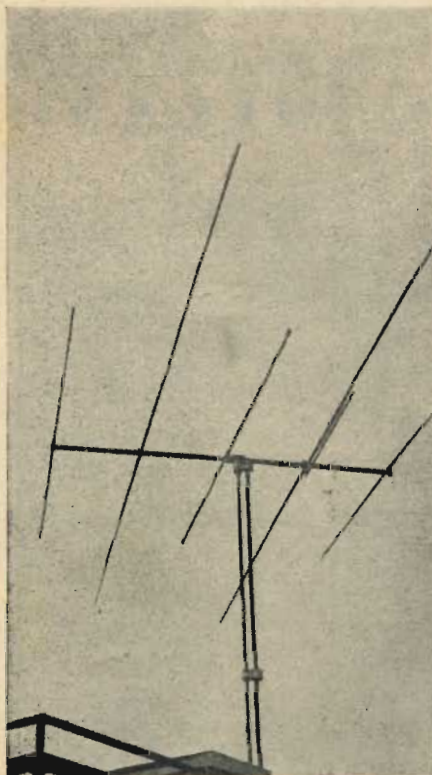


Fig. 2 - Esempio di montaggio di un'antenna a due elementi spaz. stretta per 20 mt. con i tubi di sostegno e di comando a sbalzo.



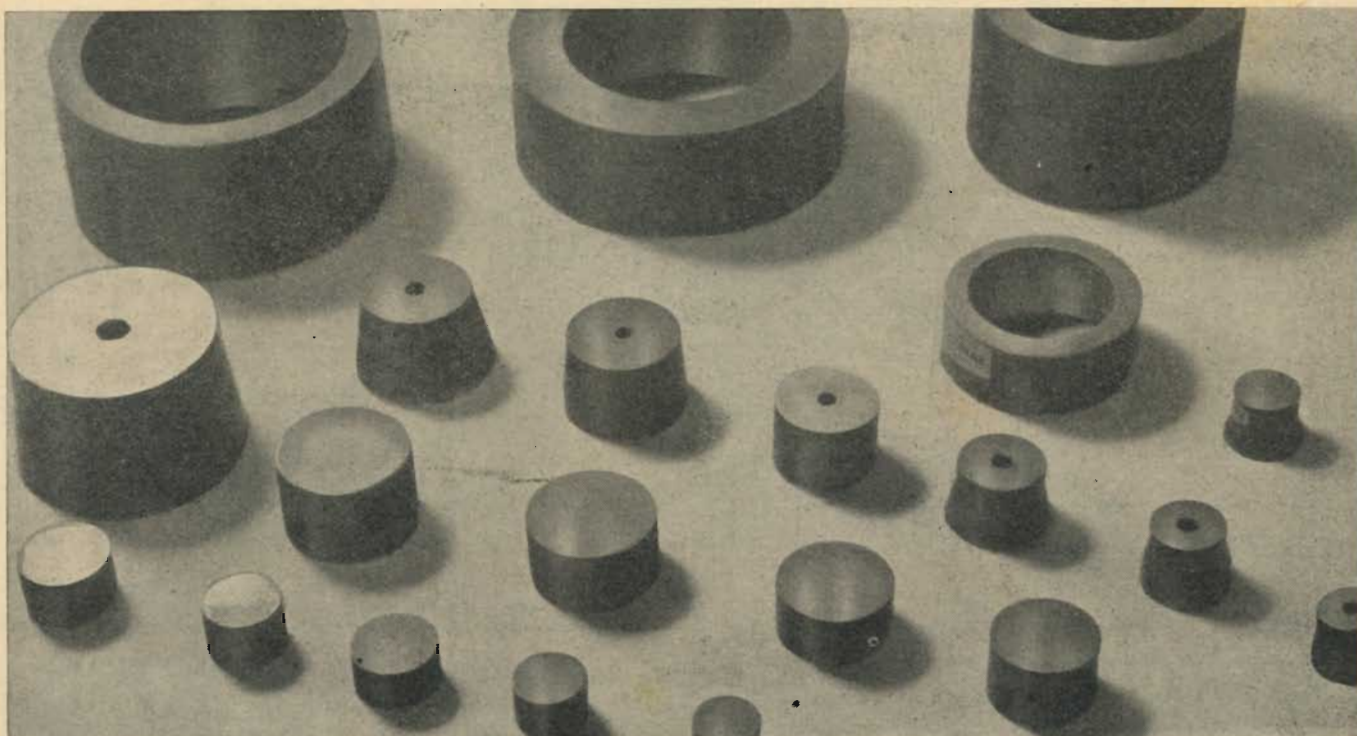
Fig. 3 - Esempio di sistemazione di un "T match".



Antenna direzionale rotativa montata a 3 elementi per i 10 mt. e 2 elementi per i 20 mt.

TABELLA DEI PEZZI COMPONENTI

TIPO	PESO	DESCRIZIONE
AD1	5'000	Supporto centr. a T per mont. a sbalzo
AD2	5'000	" " " per mont. coassiali
AD3	3'400	Supporto a mensola con cuscinetto reggispinta
AD4	3'300	" " " " " di guida
AD5	800	Copricuscinetto
AD6	2'600	Supporto coassiale con cuscinetto reggispinta
AD7	3'100	Basamento con cuscinetto di guida
AD25	630	Porta elemento da mm 25
AD35	320	" " da mm 35
AD10	170	Colonna di supporto per T match
AD11	-	Fascetta per collegamento cavo
AG8	820	Copri-cuscinetto con fermo



I Magneti permanenti della Mullard Electronic Products

sono i prodotti di un grande Stabilimento dedicato esclusivamente alla produzione di calamite permanenti ad alta efficienza.

La Mullard ha oggi più di tremila tipi di costruzione normale. Essi comprendono i migliori magneti per: dinamocicli, volani magnetici, tachimetri, strumenti di misura, contatori, telefoni, filtri, separatori, e per tutte le applicazioni radioelettriche.

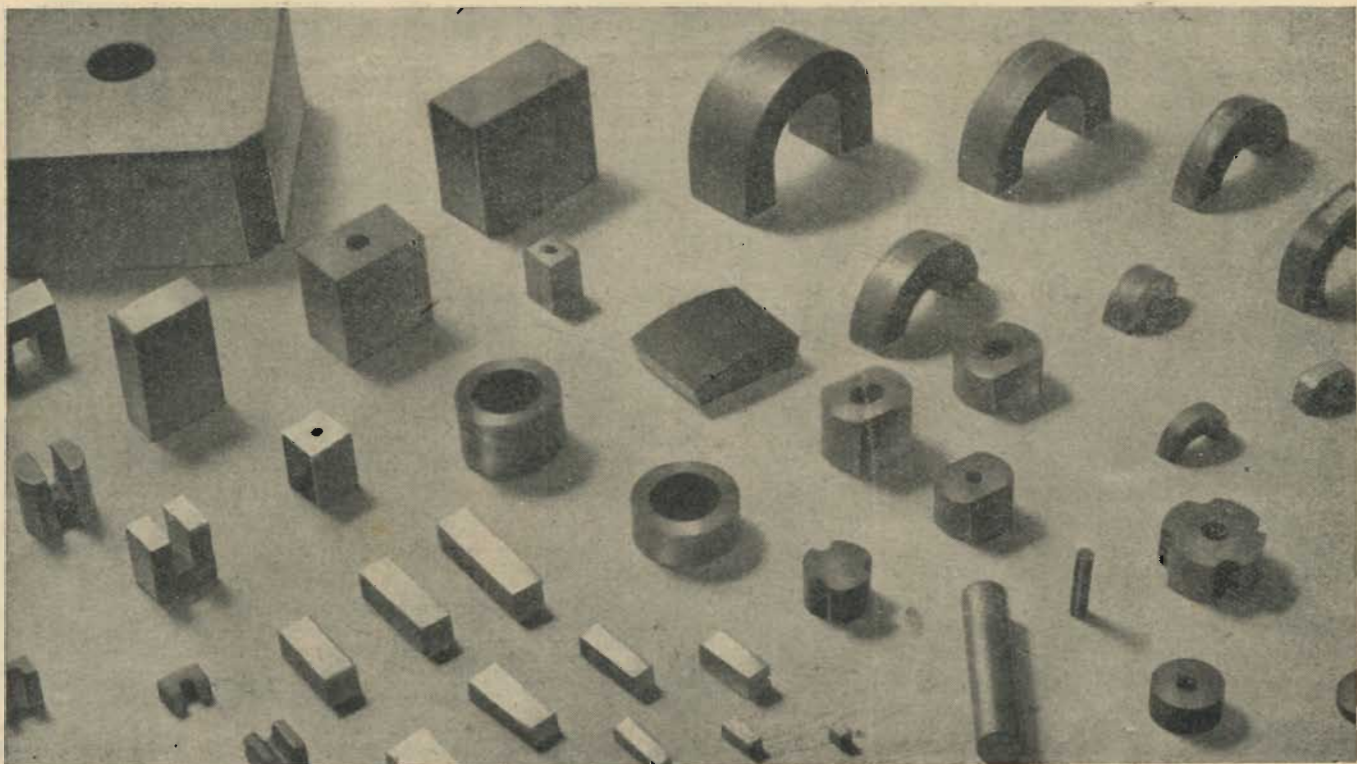
Campionature e preventivi di qualsiasi altro tipo possono essere ottenute rapidamente tramite l'Ufficio Tecnico della SIPREL.

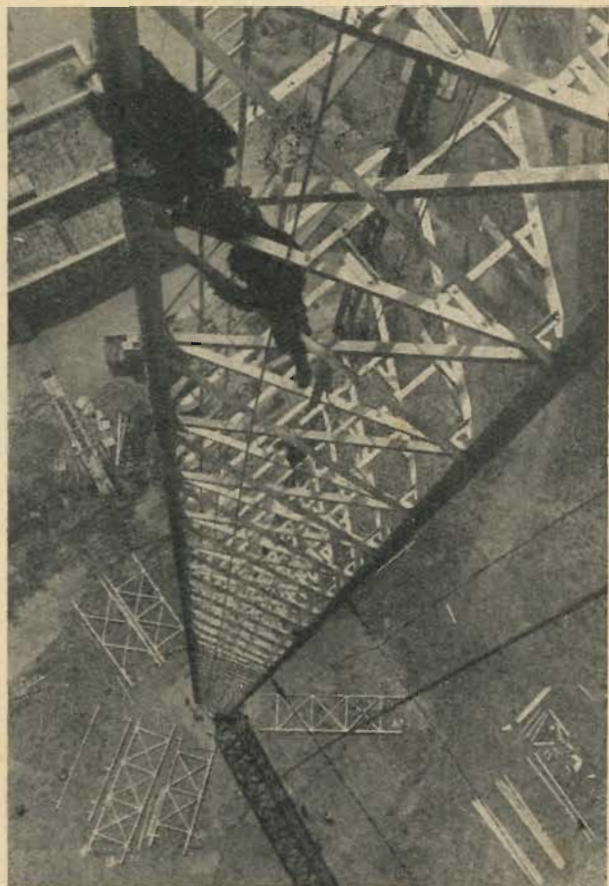
I magneti Ticonal sono tutti garantiti entro il $\pm 5\%$ dei valori magnetici indicati.

Il rifornimento è regolare ed i prezzi convenienti.

SIPREL SOCIETÀ ITALIANA PRODOTTI ELETTRONICI MILANO

Piazza E. Duse 2 - Telefono 23.453 - 21.362





La nuova stazione inglese di televisione, situata a Sutton Coldfield, vicino a Birmingham, servirà una popolazione di sei milioni e mezzo di persone nel Midlands inglese. Questa stazione, che entrerà in funzione prima della fine del 1949, sarà sette volte più potente di qualsiasi altra degli Stati Uniti. I programmi saranno trasmessi da Londra a più di 160 chilometri di distanza, per mezzo di un cavo coassiale di nuovo disegno e di stazioni radio di collegamento poste a 46 chilometri una dall'altra. La fotografia mostra gli operai che, ad un'altezza di 122 metri dal suolo, stanno costruendo le nuove antenne che irradieranno la trasmissione televisiva della B.B.C. agli spettatori del Midlands.

Ed infine — ma non è certo la cosa meno importante — la produzione in massa di apparecchi riceventi è stata raggiunta solo dopo i progressi e l'esperienza che datano dal 1936. Essi raggiungono un alto livello di perfezione e i loro prezzi sono tra i più bassi del mondo.

Esperimenti Televisivi a Radiolympia

Più di 20 fabbricanti inglesi costruiscono apparecchi riceventi per televisione, e quattro fabbricano macchine per la trasmissione ed attrezzature per gli studi. La B.B.C. adopera tre tipi diversi di macchine da presa, tutte e tre di fabbricazione inglese. Sono stati fatti su larga scala esperimenti di televisione nei cinematografi, ma l'applicazione pratica è tenuta in sospenso in attesa di un accordo tra gli interessi dei cinematografi e la B.B.C.

Un servizio che si estende

Oggi in Inghilterra vengono usati circa 150.000 apparecchi riceventi per televisione. Si calcola che nel 1949 la produzione sarà circa di 200.000 apparecchi e che alla fine del 1950 ve ne saranno in uso 550.000.

La produzione era strettamente dipendente da quella delle valvole a raggi catodici e i fabbricanti sono stati restii a costruire impianti di estensione tale da permettere la produzione in massa di queste valvole, finché non sono stati sicuri dell'estensione del mercato. Si pensa che tale estensione dipenda da tre fattori: dalla fiducia degli utenti nella dichiarazione governativa che sarà mantenuto il presente sistema a 405 linee; dal miglioramento dei programmi, e, in terzo luogo, da una rapida estensione della televisione al resto del paese.

Quattro volumi di grande successo:

G. MANNINO PATANÈ

ELEMENTI DI TRIGONOMETRIA PIANA

Volume ad uso dei Radiotecnici, comprendente un indovinato studio sulle modulazioni in ampiezza, in fase e in frequenza. Di VIII-90 pagine con 49 illustrazioni: **Lire 500**

LUIGI BASSETTI

DIZIONARIO TECNICO DELLA RADIO

ITALIANO-INGLESE INGLESE-ITALIANO

Un'opera veramente indispensabile ai tecnici, agli studiosi, ai dilettanti, a tutti coloro che quotidianamente si trovano in contatto con pubblicazioni tecniche anglosassoni. Abbreviazioni, simboli, vocaboli della letteratura tecnica anglosassone, condensati in circa 300 pagine di fitta composizione.

Legato in cartoncino con elegante sovracoperta a due colori: **Lire 900**
Legato in tutta tela con impressioni in oro, stampato in carta speciale tipo india: **Lire 1.100**

G. MANNINO PATANÈ

I NUMERI COMPLESSI

TEORIA ED APPLICAZIONE PRATICA

Chiara e piana esposizione della teoria dei numeri complessi e della applicazione di essi allo studio dei circuiti elettrici.

Volume di 36 pagine con numerose figure esplicative: **Lire 300**

ANTONIO NICOLICH

LA RELATIVITÀ DI ALBERT EINSTEIN

Volume di VIII-112 pagine in seria e distinta veste editoriale: **Lire 500**

EDITRICE IL ROSTRO - MILANO - Via Senato, 24

FORNITURE ELETTROINDUSTRIALI RADIOTECNICI AFFINI

IFERA

SOCIETÀ A RESP. LIMITATA - CAPITALE L. 950.000 INT. VERS.
Sede **MILANO** - VIA PIER CAPPONI, 4 - TEL. 41.480

Rappresentanze e Depositi

GENOVA: UMBERTO MARRA

Scalinata Larcari 1 R - Tel. 22262

TRIESTE: Ditta SPONZA PIETRO

Via Imbriani 14 - Telefono 7666

NAPOLI: Rag. CAMPOREALE

Via Morgantini 3

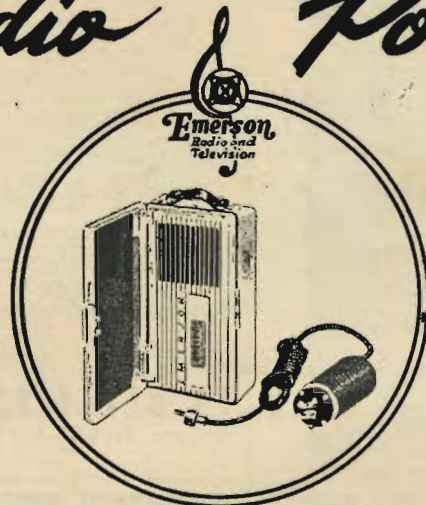
Filo rame smaltato dallo 002 al 2 mm. - Smalto seta e cotone - Filo e piattine rame coperti in seta e cotone - Filo e piattine costantana - Filo rame stagnato - Filo Litz a 1 seta e 2 sete - Cordoni alimentazione a 2, 3, 4, 5, 6 capi - Filo Push Bak - Cavetti griglia schermo - Microfoni e Pick-up - Filo per resistenze anima amianto - Cordine similargento nude e coperte per collegamento bobine mobili A. P. - Fili di collegamento rame isolati in gomma Vipla e nitrosterlingati colorati - Tubetti sterlingati seta e cotone - Tubetti sintetici

Emerson Radio and Television

SOCIETÀ ITALIANA PER AZIONI
S. P. A. "FABBRICHE RIUNITE,, CASALMAGGIORE (CREMONA)

Radio Portatile

TRIFUNZIONANTE
A PILE, CORRENTE
CONTINUA ED
ALTERNATA



UN GIOIELLO DI
PERFEZIONE
TECNICA ED
ESTETICA

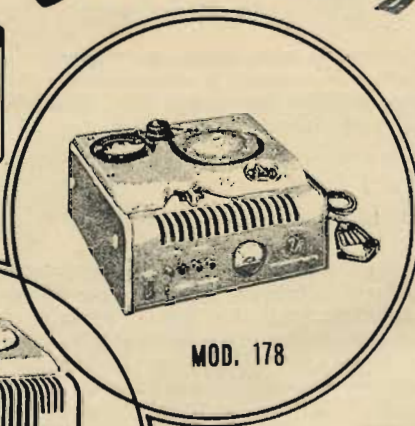
WEBSTER-CHICAGO

Registrazione su filo Elettromagnetico

ESCLUSIVITÀ
C.O.I.N.C.O.
CONCILIAZIONE, 44
ROMA

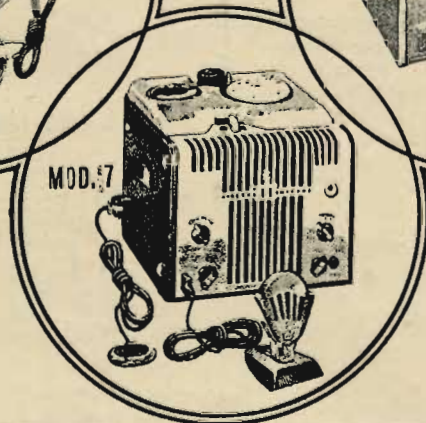


MOD. 180



MOD. 178

REGISTRA RIPRODUCE
IMMEDIATAMENTE
QUALUNQUE VOCE
E SUONO



MOD. 17

INDISPENSABILE IN TUTTE
LE PROFESSIONI, UFFICI
E FAMIGLIE.



Circa 150.000 apparecchi ricevanti per televisione sono oggi in uso in Inghilterra. Si calcola che nel 1949 la produzione raggiungerà 200.000 apparecchi e che alla fine del 1950 ve ne saranno in funzione più di mezzo milione. I programmi delle stazioni inglesi e le trasmissioni degli spettacoli all'aperto sono stati molto migliorati grazie all'esperienza dei produttori della British Broadcasting Corporation, ed al lavoro di ricerca dei fabbricanti inglesi di apparecchi per televisione. La fotografia mostra gli studi di Alexandra Palace a Londra mentre è in corso la trasmissione della rivista dell'Embassy Club.

Mentre i fabbricanti inglesi hanno dimostrato di saper costruire apparecchi anche più perfezionati per soddisfare le richieste degli altri paesi, non vi è dubbio che il sistema delle 405 linee è il più economico e l'unico di cui l'intera Inghilterra possa servirsene date le lunghezze d'onda disponibili. Inoltre sono in via di miglioramento i programmi dalle stazioni radio e le trasmissioni di spettacoli all'aperto.

Per quanto riguarda l'estensione alle altre province inglesi, è stata scelta una località che possa servire l'Inghilterra Settentrionale e che abbraccerà nel suo raggio altri dieci milioni di persone. Non è stata però ancora fissata la data di apertura di tale stazione né delle altre che sorgeranno in Scozia e nell'Inghilterra Sud-Occidentale.

(A. REID).

IL RUOLO DELLA TECNICA ELETTRONICA NEI PIANI PER L'ENERGIA ATOMICA

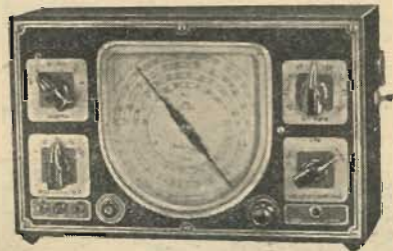
L'Elettronica ha quattro possibilità principali d'applicazione ai piani per l'energia atomica: nel controllo dei reattori nucleari; nel lavoro sperimentale di fisica nucleare e chimica del radio; nella protezione della salute dei lavoratori e infine nella produzione di particelle altamente energetiche e di radiazioni.

Una pila atomica, o reattore nucleare, si compone normalmente di una certa quantità di uranio metallico posto in una pila di grafite. Quando la pila raggiunge una condizione critica, una catena di reazioni nucleari incomincia nell'uranio. Un nucleo d'uranio si scinde spontaneamente in due atomi pesanti, emettendo nel corso di tale processo un certo numero di particelle nucleari elementari — i neutroni. Questi neutroni hanno la proprietà di scindere un maggior numero di nuclei d'uranio, emettendo energia durante tale processo. In questo modo, si sviluppa una catena di reazioni, caratterizzata da una costante di riproduzione, K , della reazione stessa, costante che misura il numero di figli generato da ogni neutrone padre. Se K è maggiore dell'unità la popolazione di neutroni, e con esso lo sviluppo del calore, aumenta. L'ampiezza della costante di riproduzione è controllata spostando verso l'interno o l'esterno della pila un'asta di metallo contenente boro, che è un avido assorbitore di neutroni. Per elevare la potenza di una pila, le aste di controllo sono parzialmente arretrate, così che K aumenta al di sopra dell'unità. Il valore della potenza aumenta allora in forma esponenziale in rapporto al tempo, la costante tempo variando inversamente all'eccesso di K utile. Quando il valore desiderato della potenza è raggiunto, le aste di controllo vengono spinte entro la pila, riducendo di nuovo K all'unità.

Il valore della potenza di erogazione è generalmente determinato misurando il numero di neutroni che entrano in una camera d'ionizzazione. Questi neutroni producono ionizzazione — e una debolissima corrente è raccolta e amplificata da circuiti amplificatori ad alta stabilità, che azionano dispositivi registratori e mettono in movimento dei meccanismi automatici di controllo che mantengono la potenza a un livello costante. In pra-

MEGA RADIO

Oscillatore Modulato CB. IV°



6 gamme d'onda da 25 Mhz a 90 KHz (12 ÷ 3100 m)
1 gamma a BANDA ALLARGATA per la taratura della MF
Ampla scala a lettura diretta in KHz, Mhz e metri
Taratura individuale punto per punto
Modulazione della R.F. con 4 frequenze diverse 200-400-600-800 periodi
Attenuatore ad impedenza costante
Dimensioni: mm. 280x170x100

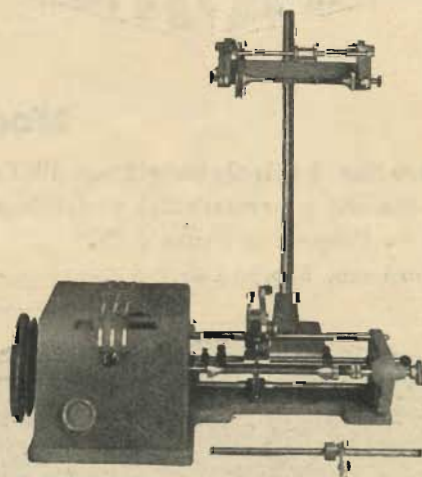
Oscillatore Modulato CL. 465



8 gamme d'onda, con comando a tamburo da 80 KHz a 50 Mhz (6 m).
1 gamma a BANDA ALLARGATA per la MF. (taratura, rilievo curve di selettività, di sensibilità con assoluta precisione).
Taratura individuale punto per punto.
4 valvole di cui una 955 (ghiaia).
Moltiplicatore in fusione, attenuatore calibrato antinduttivo.
Volumetro a valvola incorporata.
Modulazione a 400 periodi.
Dimensioni: mm. 440x300x225.

Avvolgitrice "Mega III e IV"

(costruita in due nuovissimi modelli)



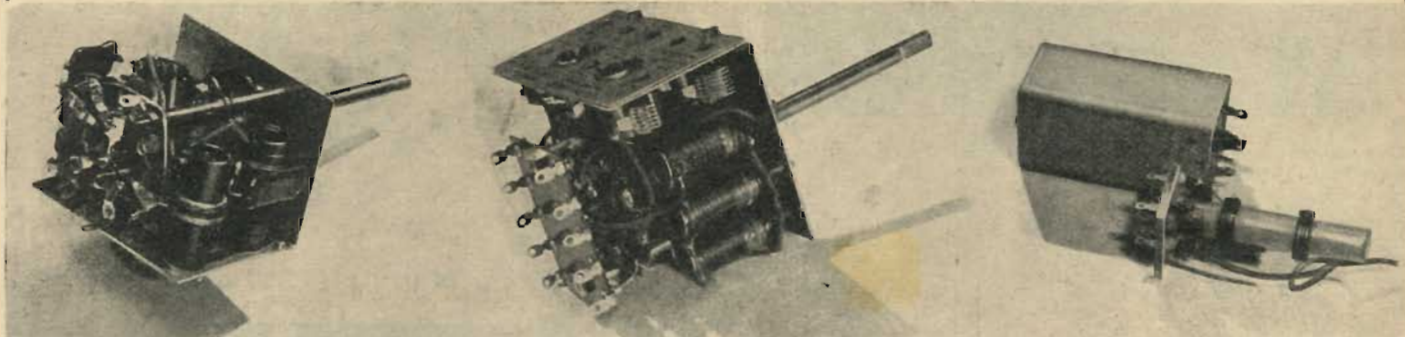
LINEARE - semplice: Tipo A per avvolgimenti di fili da 0,05 a 1 mm; Tipo B per avvolgimenti di fili da 0,10 a 1,8 mm.
MULTIPLA - lineare e a nido d'ape mediante il nuovo complesso APEX III° - possibilità di avvolgimenti a nido d'ape con ogni qualità di filo.

**Tutti gli strumenti sono garantiti
12 mesi con certificati di collaudo**

MEGA RADIO TORINO - Via Collegno 22 - Tel. 773.346
MILANO - Via Solari 15 - Telef. 30.832



FABBRICA MATERIALE RADIO



Mod. R 11

onde medie 190 ÷ 580 mt.
onde corte 15 ÷ 52 mt.

Mod. R 61

onde medie 190 ÷ 580 mt.
onde corte 12,5 ÷ 21—21 ÷ 34—34 ÷ 54 mt.

Mod. R 16

onde medie 190 ÷ 580 mt.
onde corte 13,5 ÷ 27—27 ÷ 55—55 ÷ 170 mt.

**Trasformatori
di MF**

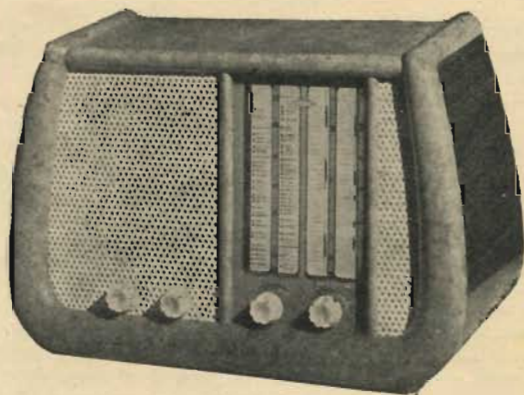
supporti in trolitul - alta
selettività - grande rendimento

VIA PACINI, 28 - **MILANO** - TEL. 29.33.94

HARMONIC RADIO

Mod. H5 43

Supereterodina 5 valvole serie rossa Philips - 4 gamme
d'onda - Sintoni a permeabilità variabile - Altoparlante
alnico V° - Potenza d'uscita 4 W.
Dimensioni cm. 52 x 35 x 25



Mod. H5 42

Supereterodina 5 valvole Rimlock - 4 gamme d'onda -
Sintonia a permeabilità variabile - Altoparlante alnico
V° - Potenza d'uscita 3 W.
Dimensioni cm. 53 x 28 x 20

DITTA FARINA - Via Arrigo Boito, 8 - **MILANO** - Telefoni 86.929 - 153.167

tica, il valore della potenza è mantenuto costante con l'approssimazione di un decimillesimo.

Le aste di controllo sono azionate da un amplificatore meccanico o altro conveniente servo-meccanismo e la loro posizione è riportata al tavolo di controllo e registrata da registratori scriventi, così da aversi traccia delle passate operazioni. Altre camere d'ionizzazione sono collegate attraverso amplificatori e liberano il meccanismo delle cosiddette aste di sicurezza, che sono condotte nell'interno della pila qualora il valore della potenza raggiunge un determinato limite.

Limite di sicurezza

La produzione del calore di una pila è accompagnata dalla liberazione di potenti radiazioni, neutroni, raggi gamma ed elettroni ad elevata velocità. Per la maggior parte, essi sono confinati nell'interno della pila da un rivestimento spesso da 1,70 m a 2,30 m, che riduce a un limite di sicurezza il numero delle radiazioni sfuggenti. Il limite di sicurezza che un essere umano può tollerare senza risentire nessun misurabile effetto fisico o biologico è ben conosciuto grazie all'esperienza della terapia coi raggi X e il radio. Il limite di sicurezza per i neutroni non è conosciuto con altrettanta sicurezza, benché notevoli dati sperimentali siano stati raccolti durante la guerra. Si può misurare l'intensità dei raggi gamma e dei neutroni all'esterno della pila per mezzo di adatte camere d'ionizzazione — normalmente se ne hanno tre — una contenente argon ad alta pressione per la misurazione dei raggi gamma, una contenente idrogeno per misurare i neutroni veloci e una contenente trifluorite di boro per misurare i neutroni lenti. Le correnti d'ionizzazione sono amplificate e registrate da registratori, misuratori continui, allo scopo di avere una registrazione permanente.

L'intensità di queste radiazioni può variare da punto a punto in una pila sperimentale di laboratorio. Strumenti portatili di non assoluta precisione sono perciò impiegati dallo sperimentatore nel corso del suo lavoro, così che egli possa avere a portata di mano un registratore delle intensità della radiazione. Inoltre, tutti gli addetti al lavoro recano dei semplici dispositivi, costituiti da una pellicola fotografica che viene impressionata dalle radiazioni, e da una piccola camera d'ionizzazione a forma di ditale, che viene scaricata dalle radiazioni, e che mette in grado la sezione sanitaria di effettuare una continua sorveglianza sui pericoli dell'esposizione da parte del personale. In pratica, si riscontra che l'esposizione del personale è sensibilmente al disotto del « limite di sicurezza » ufficialmente accettato.

Occorre anche tenere sotto sorveglianza la leggera radioattività indotta nell'aria impiegata per raffreddare la pila, controllando che l'aria che raggiunge il livello del suolo sia perfettamente sicura per la salute. Pure qui, camere d'ionizzazione sono collocate sul terreno circondante la pila, per indicare il grado di radiazione avvertito.

Contatore di particelle

I fisici che lavorano con la pila debbono misurare accuratamente il numero di elettroni, neutroni e raggi gamma che entrano nei loro apparati. Nei primi tempi della radioattività, particolarmente nei primi lavori di Rutherford, gran parte del lavoro sperimentale veniva condotto con il semplice dispositivo dello schermo di scintillamento. Le particelle atomiche ad elevata velocità — in particolare i nuclei di elio — producono un minuscolo bagliore o scintille quando urtano contro uno schermo di solfito di zinco. Lo sperimentatore, seduto in una camera buia, e osservando lo schermo con un microscopio, può così contare il numero delle scintille. In pratica non è possibile contare più di 60 scintille al minuto senza confondersi. Oggi gli schermi di scintillamento vengono osservati mediante i moltiplicatori elettronici. In questo modo, è possibile vedere le più deboli scintille prodotte dagli elettroni e contare a ritmo eccezionalmente elevato, il che facilita grandemente gli esperimenti. In luogo d'impiegare schermi ricoperti di solfito di zinco, si usa naftalene — o antracene — la sostanza usata in pallottoline contro le tarme.

I neutroni lenti sono registrati da piccoli contatori di vetro contenenti trifluorito di boro. I neutroni scindono il boro, lanciando un nucleo di elio che produce ionizzazione, la quale viene misurata da apposito apparato.

Il computo è fatto dalla ben nota bilancia per contare nelle scale di 2, 4, 6, 8, oppure 10, 100, 1000. Tale bilancia è stata inventata, mi sembra, dal Dr. Wynn Williams nel Laboratorio Cavendish per lo sviluppo elettronico, nel periodo 1928-32. Gli impulsi provenienti dal contatore eccitano circuiti cosiddetti « flip-flop » provocando il passaggio delle correnti anodiche alternativamente in due triodi. Uno di questi triodi cede gli impulsi alla coppia vicina, e così via, cosicché il decimo triodo cede la corrente ad ogni decimo impulso proveniente dal contatore. All'epoca di Cavendish si aveva una sola bilancia; oggi Cavendish avrà 50 bilancie e Harwell almeno 200.

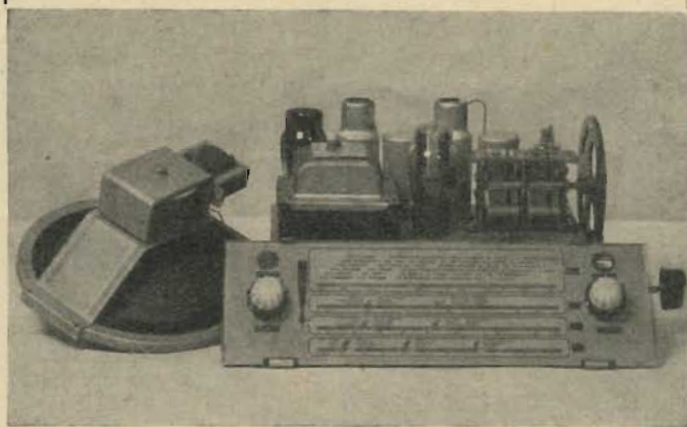


S. I. B. R. E. M. S.

GENOVA - MILANO

SCATOLA DI MONTAGGIO TIPO ED 12

Per costruzione ricevitore a 5 valvole, 4 gamme d'onda. Impiega il Gruppo di Alta frequenza a tamburo rotante tipo AFT4/Ars. Tutti gli elementi sono pre-tarati; montaggio e messa a punto rapida e facile, risultato sicuro e brillante.



Altre costruzioni S. I. B. R. E. M. S. :

CONDENSATORI VARIABILI - TRASFORMATORI DI MEDIA FREQUENZA F- ALTOPARLANTI ELETRO E MAGNETODINAMICI PER RICEVITORI E PER CINEMATOGRAFIA - CENTRALINI AMPLIFICATORI PER DIFFUSIONE SONORA

S. I. B. R. E. M. S. s. r. l.

Sede: GENOVA Via Galata, 35 - Telefono 581.100 - 580.252

Filiale: MILANO

Via Bonaventura Cavalieri, 1A - Telefono 632.617 - 632.527

Per saldare senza acidi
senza paste
disossidanti

Filo autosaldante in lega di stagno

energo
super

nella elettrotecnica
nella radiotecnica

"ENERGO", via padre g. b. martini 10 - tel. 287.166 - milano

Concessionaria per la rivendita Ditta G. CEIOSO Viale Brenta, 29 - Telefono 54.183

Non soltanto i fisici abbisognano di queste bilancie. Esse cominciano ad essere strumento d'uso corrente per chimici e biologi e verranno impiegate in molte industrie.

Chimica del radio

I chimici di Harwell si dedicano ampiamente alla nuova branca della chimica — la chimica del radio —. Essi debbono concretare metodi atti a separare il plutonio dall'uranio e a fissare i prodotti radioattivi dopo che le aste di uranio metallico sono state rimosse dalla pila. I procedimenti chimici di separazione sono seguita dalla misurazione della radioattività delle soluzioni e dei residui dopo l'evaporazione. Il campione è preso e collocato in una coppetta poco profonda ed esposto, nel caso venga analizzato il plutonio, ad un contatore di particelle alfa. Il contatore consiste in una camera poco profonda piena di metano, così che le particelle alfa producono, grazie alla ionizzazione, degli elettroni che vengono raccolti sotto forma di corrente pulsante. Per poter lavorare con queste camere è necessario disporre di veloci amplificatori aventi una ampiezza di banda di forse un megaciclo. L'amplificatore aziona a sua volta la bilancia. A questo fine, i laboratori chimici dispongono di un certo numero di camere di computo, equipaggiate con strumenti capaci di registrare il tempo per ottenere, ad esempio, 10 mila conteggi sul campione. Un abbondante numero di campioni può essere disposto intorno all'orlo di una larga ruota dotata di movimento automatico, così da portare un campione dopo l'altro nella giusta posizione per registrare il tempo occorrente per 10 mila conteggi.

Il chimico deve essere accuratamente protetto da eccessive esposizioni alle radiazioni o alla polvere radioattiva. Egli lavora in speciali laboratori espressamente progettati, in cui una corrente d'aria trascina con sé ogni prodotto radioattivo dalle cappe a un condotto di scarico. Davanti alle cappe è sospesa una camera di ionizzazione, che registra l'intensità delle radiazioni alle quali il chimico è esposto. Segnalatori sono pure installati per misurare la concentrazione della polvere radioattiva. Prima di lasciare il suo laboratorio, il chimico lava accuratamente le mani e quindi le introduce in un apparecchio che misura la quantità di sostanze radioattive rimaste su di esso. Qualora fosse troppo alta, l'apparecchio fa risuonare un campanello e il chimico deve di nuovo pulirsi le mani. Dopo avere lasciato il suo laboratorio, egli si reca allo spogliatoio, e dopo essersi tolta la vestaglia e le sopra-

scarpe un altro apparecchio esamina le scarpe, per accertare che egli non porti alcuna sostanza radioattiva che possa contaminare gli altri laboratori.

Gli altri dispositivi elettronici sono richiesti per segnalare le quantità di radioattività uscente dal suo laboratorio. Una tavola del Medical Research Council determina il limite di sicurezza della radioattività nell'acqua potabile — incidentalmente, esso è stato fissato a un valore 10 mila volte inferiore a quello delle acque dei Bagni di Spa, ed è quindi assolutamente sicuro —. Possiamo quindi rassicurare noi stessi e il Ministero dell'Igiene che quando le acque di scarico dei laboratori si gettano nel Tamigi esse non contengono attività maggiore di quella ammessa dal predetto limite di tolleranza.

Tutte queste previdenze di carattere igienico richiedono un'estesa organizzazione sanitaria, e ad Harwell si ha un complesso di circa 30 funzionari addetti a tale servizio.

Acceleratori di particelle

Mi rimane poco spazio da dedicare all'ultima applicazione degli elettroni — vale a dire allo sviluppo degli acceleratori di particelle ad alta velocità.

Si tratta di un'intera famiglia di nuove macchine. Sono già sufficientemente noti i ciclotroni. Ecco i successori: il sincro-ciclotrone, l'elettrone-sincrotrone, il proton sincrotrone, il betatrone, il bevatrone (da B.E.V., bilioni di elettroni-volt), l'acceleratore lineare e parecchi altri. Queste macchine sono progettate per produrre elettroni o protoni, dotati di energia di oltre mille milioni di volt, nell'intento di aprire nuove regioni della fisica — la fisica delle particelle elementari —. Accennerò soltanto a una di queste macchine: l'acceleratore lineare, con il quale sono stati compiuti notevoli lavori. In questa macchina il magnetrone da due megawatt è collegato all'estremità di un guidaonde in modo tale che un'onda viaggiante corre lungo il sistema di guida, restandone accelerata al momento della sua uscita. Gli elettroni sono immessi e trasportati a gruppi lungo l'onda elettronica ed escono all'estremità del sistema di guida dotati di energia pari a 4 milioni di elettroni-volt. Per ottenere energie ancora più elevate, ulteriori stadi possono essere collegati al guidaonde, e non esiste in teoria alcuna ragione perchè con questo metodo non sia possibile raggiungere energie dell'ordine di 500 milioni di volt.

(JOHN COCKROFT).

L'Avvolgitrice

di A. TORNAGHI

trasformatori radio

Costruzioni trasformatori industriali di piccola o media potenza - Autotrasformatori - Trasformatori per radio Riparazioni

UNICA SEDE:
MILANO - Via Termopili 38 - Tel. 28.79.78

IL RADIO FONOBAR DA GRAN CONCERTO

10 campi d'onda
8 valvole compreso occhio magico
8 watt d'uscita
2 altoparlanti giganti col bordo in pelle

Facilissima ricerca delle onde corte con espansione di gamma.

**SODDISFA IL PIÙ ESIGENTE
INTENDITORE DI MUSICA**


**SIEMENS
RADIO**



SIEMENS 8114

SIEMENS SOCIETÀ PER AZIONI

Via Fabio Filzi 29 - MILANO - Telefono N. 69.92

Uffici: Firenze — Genova — Padova — Roma — Torino — Trieste

Macchine bobinatrici per industria elettrica

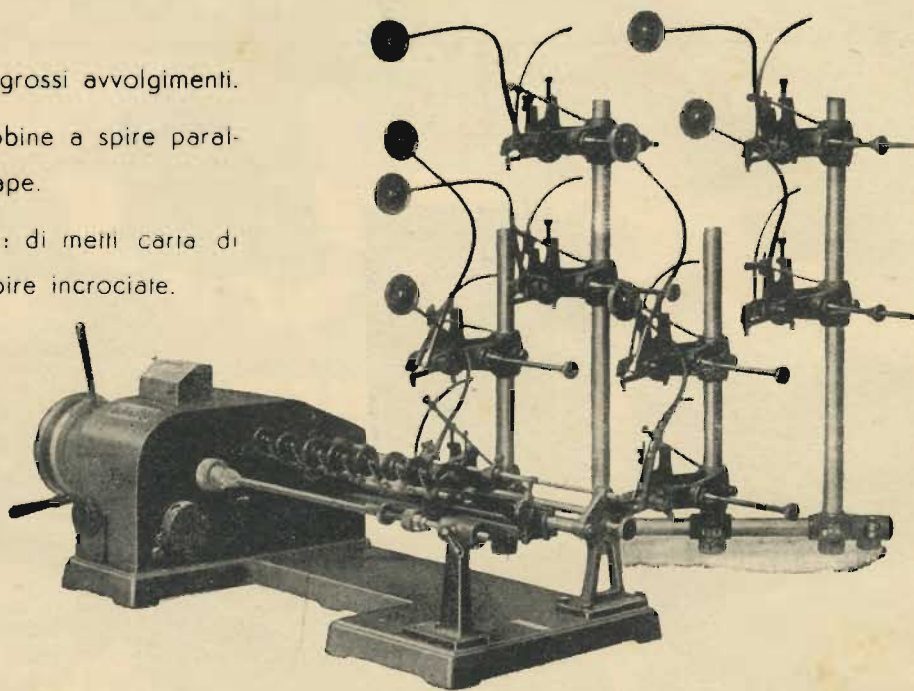
Semplici: per medi e grossi avvolgimenti.

Automatiche: per bobine a spire parallele o a nido d'ape.

Dispositivi automatici: di molti carti di molti colone a spire incrociate.

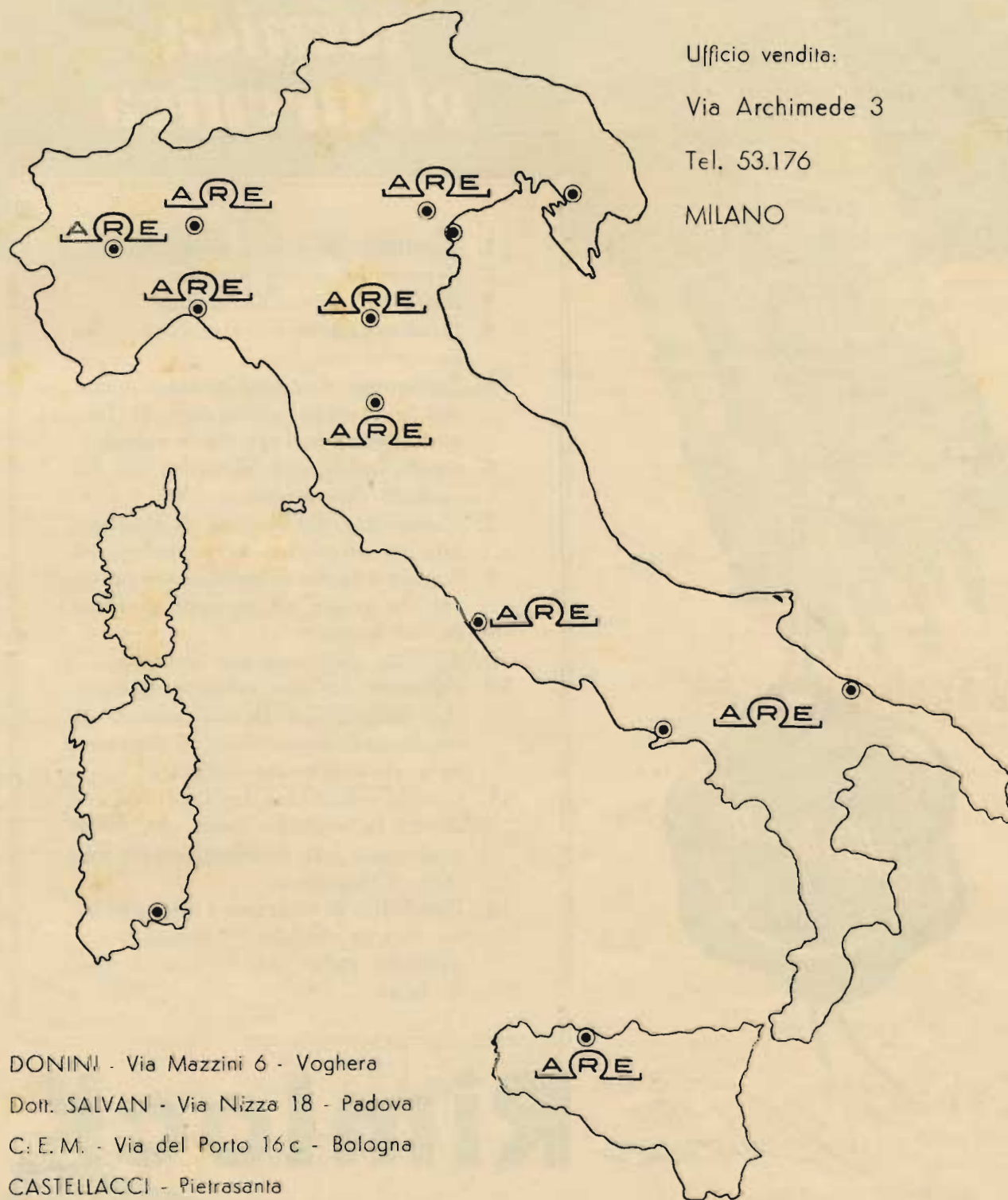
Contagiri

BREVETTI E
COSTRUZIONI NAZIONALI



ING. R. PARAVICINI - MILANO - Via Sacchi N. 3 - Telefono 13-426

RESISTENZE CHIMICHE



Ufficio vendita:

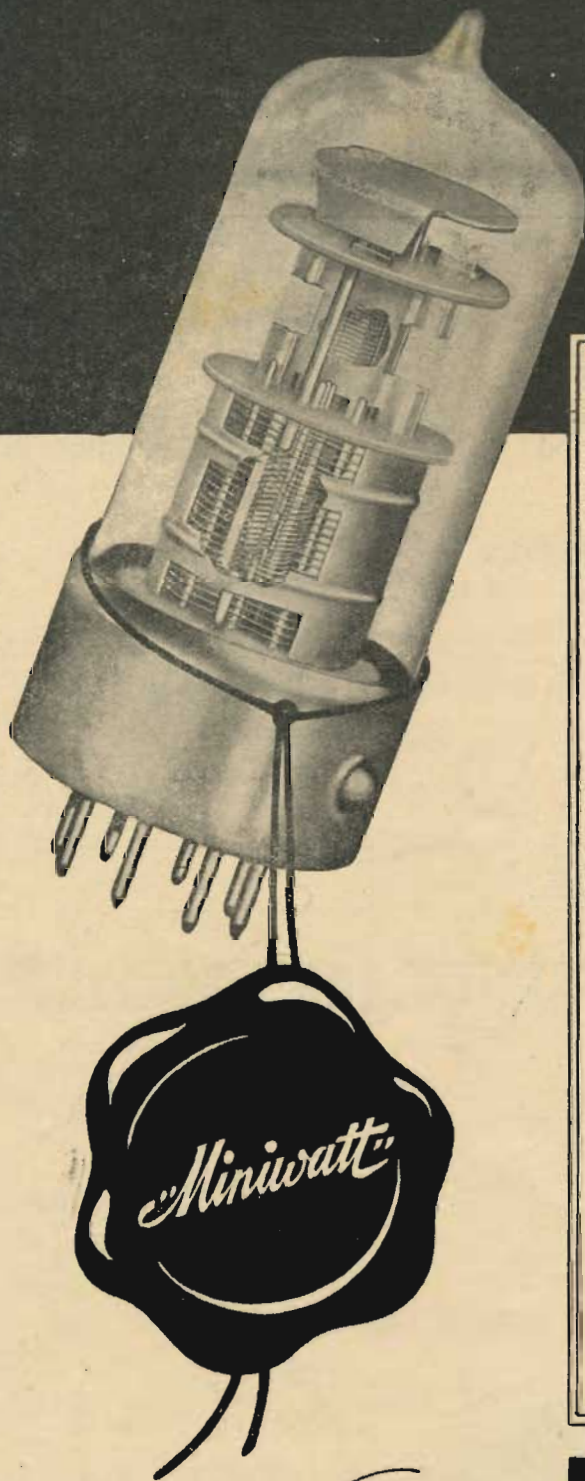
Via Archimede 3

Tel. 53.176

MILANO

DONINI - Via Mazzini 6 - Voghera
Dott. SALVAN - Via Nizza 18 - Padova
C. E. M. - Via del Porto 16 c - Bologna
CASTELLACCI - Pietrasanta
CARUANA - Via Velletri 40 - Roma
TOMASELLI - Via Dogali 1 - Trani
FAREM - Piazza S. Onofrio 37 - Palermo

nuova tecnica elettronica



1. Eccellenti proprietà elettriche
2. Dimensioni molto piccole
3. Bassa corrente d'accensione
4. Struttura adatta per ricezione in onde ultra-corte
5. Tolleranze elettriche molto ristrette che assicurano uniformità di funzionamento tra valvola e valvola
6. Buon isolamento elettrico fra gli spinotti di contatto
7. Robustezza del sistema di elettrodi tale da eliminare la microfonicità
8. Rapida e facile inserzione nel portavalvole grazie all'apposita sporgenza sul bordo
9. Assoluta sicurezza del fissaggio
10. Esistenza di otto spinotti d'uscita, che permettono la costruzione di triodi-esodi convertitori di frequenza a riscaldamento indiretto
11. Grande robustezza degli spinotti costruiti in metallo duro, che evita qualunque loro danneggiamento durante l'inserzione
12. Possibilità di costruire a minor prezzo, con le valvole "Rimlock", apparecchi radio sia economici che di lusso

Serie

Rimlock

PHILIPS

L'antenna

RADIOTECNICA E TECNICA ELETTRONICA

Le equazioni dell'oscillazione di rilassamento a dente di sega

dell'ing. Antonio Nicolich

(PARTE SECONDA)

Determinazione delle equazioni dei denti di sega

1. — Iniziamo ora coll'eseguire l'analisi armonica del tipo di dente di sega fondamentale di fig. 4, per il quale il tempo di ritorno $(1-m)T$ non possa essere trascurato; il tratto ascendente abbia la durata mT , il valore massimo sia A e il dente sia riferito ad un sistema di assi tali che il punto 0 coincida coll'origine, l'asse delle ascisse (tempo) colla base del dente e l'asse verticale delle ampiezze s sia orientato verso l'alto.

Si noti che mentre nella pratica oscillografica la costante m assume valori generalmente superiori a 0,5, la trattazione analitica seguente ammette per m qualsiasi valore compreso tra 0 e 1, escludendo però questi estremi, in quanto per $m=0$ si avrebbe il dente di sega di fig. 2 e), per $m=1$ si avrebbe il dente di sega di fig. 2 d), che sono entrambi funzioni diverse da quella rappresentata in fig. 4. Per questa ragione le equazioni dei denti di fig. 2 d) e 2 e) non sono immediatamente deducibili dall'equazione del dente di fig. 4 ponendo nell'espressione finale della $f(t)$ rispettivamente $m=1$ e $m=0$. Per ricavare le equazioni dei denti 2 d) e 2 e) conviene analizzare separatamente i due casi, ciò che sarà fatto più avanti in 5 e 6.

Consideriamo dunque la fig. 4. Occorre anzitutto determinare l'espressione analitica della $f(t)$ nel tratto OD , dove $0 \leq t \leq mT$, e nel tratto DC , dove $mT \leq t \leq T$, essendo T il periodo della $f(t)$.

Dalla nota formula della geometria analitica per la retta passante per due punti:

$$\frac{t - t_1}{t_2 - t_1} = \frac{f(t) - f(t_1)}{f(t_2) - f(t_1)} \quad [10]$$

si ha per il segmento OD :

$$\begin{aligned} \text{per } t_1 = 0 & ; f(t_1) = 0 \\ \text{per } t_2 = mT & ; f(t_2) = A \end{aligned}$$

sostituendo nella [10]:

$$\begin{aligned} \frac{t}{mT} &= \frac{f(t)}{A} \\ f(t) &= \frac{A}{mT} t \end{aligned} \quad [11]$$

per il segmento DC :

$$\begin{aligned} \text{per } t_1 = mT & ; f(t_1) = A \\ \text{per } t_2 = T & ; f(t_2) = 0 \end{aligned}$$

sostituendo nella [10]:

$$\begin{aligned} \frac{t - mT}{T - mT} &= \frac{f(t) - A}{-A} \\ f(t) &= \frac{A}{(1-m)T} (T - t) \end{aligned} \quad [12]$$

dalla 1^a delle [8] si ha successivamente:

$$\begin{aligned} A_n &= \frac{1}{T} \int_0^T f(t) dt = \frac{A}{T^2} \left[\int_0^{mT} t dt + \int_{mT}^T (T-t) dt \right] = \\ &= \frac{A}{T^2} \left\{ \frac{t^2}{2} \Big|_0^{mT} + \left[Tt - \frac{t^2}{2} \right] \Big|_{mT}^T \right\} = \frac{A}{T^2} \left\{ \frac{m^2 T^2}{2} + \left[T^2 - \frac{m^2 T^2}{2} - \left(Tm - \frac{m^2 T^2}{2} \right) \right] \right\} = \frac{A}{2} \left\{ \frac{1-m}{1-m} \right\} = \frac{A}{2} \end{aligned}$$

Questo risultato era prevedibile, perchè, essendo la $f(t)$ funzione lineare compresa fra 0 e A , il suo valor medio è evidentemente $A/2$.

Dalla 2^a delle [8] si ha successivamente:

$$\begin{aligned} A_n &= \frac{2}{T} \int_0^T f(t) \cos n \omega t dt = \frac{2A}{T^2} \left\{ \int_0^{mT} \frac{t}{m} \cos n \omega t dt + \right. \\ &\quad \left. + \int_{mT}^T \left(\frac{T-t}{1-m} \right) \cos n \omega t dt \right\} = \frac{2A}{T^2} (C + D) \end{aligned}$$

avendo posto:

$$C = \int_0^{mT} \frac{t}{m} \cos n \omega t dt, \quad e \quad D = \int_{mT}^T \left(\frac{T-t}{1-m} \right) \cos n \omega t dt.$$

Calcolo di C : per eseguire questa integrazione conviene assumere t come fattore finito, $\cos n \omega t dt$ come fattore differenziale

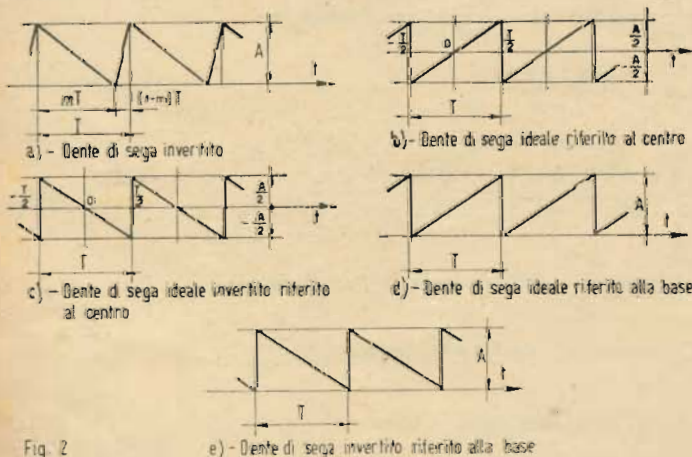


Fig. 2

e) - Dente di sega invertito riferito alla base

e operare col metodo di integrazione per parti applicando la formula:

$$\int \varphi d\psi = \varphi \psi - \int \psi d\varphi \quad [13]$$

$$C = \int_0^{mT} \frac{t}{m} \cos n \omega t dt = \left[\frac{t \operatorname{sen} n \omega t}{m n \omega} + \frac{\cos n \omega t}{m n^2 \omega^2} \right]_0^{mT} =$$

$$= \left[\frac{T^2}{2 \pi n} \operatorname{sen} 2 \pi n m + \frac{T^2}{4 \pi^2 n^2 m} \cos 2 \pi n m - \frac{T^2}{4 \pi^2 n^2 m} \right] = \frac{T^2}{2 \pi n} \left(\operatorname{sen} 2 \pi n m + \frac{\cos 2 \pi n m}{2 \pi n m} - \frac{1}{2 \pi n m} \right).$$

Calcolo di D:

$$D = \frac{T}{(1-m)} \int_{mT}^T \cos n \omega t dt - \frac{1}{(1-m)} \int_{mT}^T t \cos n \omega t dt.$$

applicando ancora la [13] per la valutazione del secondo integrale, si ottiene:

$$D = \frac{T}{(1-m)} \left[\frac{\operatorname{sen} n \omega t}{n \omega} \right]_{mT}^T - \frac{1}{(1-m)} \left[\frac{t \operatorname{sen} n \omega t}{n \omega} + \frac{\cos n \omega t}{n^2 \omega^2} \right]_{mT}^T =$$

$$= - \frac{T^2 \operatorname{sen} 2 \pi n m}{2 \pi n (1-m)} - \frac{1}{(1-m)} \left[\frac{T^2}{4 \pi^2 n^2} - \frac{m T^2}{2 \pi n} \operatorname{sen} 2 \pi n m - \frac{T^2}{4 \pi^2 n^2} \cos 2 \pi n m \right] =$$

$$= - \frac{T^2}{2 \pi n m (1-m)} \left[\operatorname{sen} 2 \pi n m + \frac{1}{2 \pi n} - m \operatorname{sen} 2 \pi n m - \frac{1}{2 \pi n} \cos 2 \pi n m \right].$$

Sostituendo i valori così trovati per C e D nell'espressione di A_n , si ha:

$$A_n = \frac{2A}{T^2} (C + D) = \frac{A}{\pi n} \left\{ \operatorname{sen} 2 \pi n m + \frac{\cos 2 \pi n m}{2 \pi n m} - \frac{1}{2 \pi n m} - \frac{1}{(1-m)} \left[(1-m) \operatorname{sen} 2 \pi n m + \frac{1}{2 \pi n} - \frac{\cos 2 \pi n m}{2 \pi n} \right] \right\} =$$

$$= \frac{A (\cos 2 \pi n m - 1)}{2 \pi^2 n^2 m (1-m)} \quad [14]$$

Dalla 3ª delle [3] si ha successivamente:

$$B_n = \frac{2}{T} \int_0^T f(t) \operatorname{sen} n \omega t dt = \frac{2A}{T^2} \left\{ \int_0^{mT} \frac{t}{m} \operatorname{sen} n \omega t dt + \int_{mT}^T \left(\frac{T-t}{1-m} \right) \operatorname{sen} n \omega t dt \right\} = \frac{2A}{T^2} (E + F).$$

Procedendo analogamente a quanto fatto per la valutazione di A_n , applicando la [11], si calcolano E, F, B_n come segue:

$$E = \int_0^{mT} \frac{t}{m} \operatorname{sen} n \omega t dt = \left[- \frac{t \cos n \omega t}{m n \omega} + \frac{\operatorname{sen} n \omega t}{n^2 \omega^2} \right]_0^{mT} = \left[- \frac{m T^2}{2 \pi n} \cos 2 \pi n m + \frac{T^2}{4 \pi^2 n^2} \operatorname{sen} 2 \pi n m \right] =$$

$$= \frac{T^2}{2 \pi n m} \left[- m \cos 2 \pi n m + \frac{\operatorname{sen} 2 \pi n m}{2 \pi n m} \right].$$

$$F = \int_{mT}^T \left(\frac{T-t}{1-m} \right) \operatorname{sen} n \omega t dt = \frac{1}{(1-m)} \left\{ \int_{mT}^T T \operatorname{sen} n \omega t dt - \int_{mT}^T t \operatorname{sen} n \omega t dt \right\} =$$

$$= \frac{1}{(1-m)} \left\{ \left[- \frac{T \cos n \omega t}{n \omega} \right]_{mT}^T - \left[- \frac{t \cos n \omega t}{n \omega} + \frac{\operatorname{sen} n \omega t}{n^2 \omega^2} \right]_{mT}^T \right\} =$$

$$= \frac{T^2}{(1-m)} \left\{ - \frac{1}{2 \pi n} + \frac{1}{2 \pi n} \cos 2 \pi n m + \frac{1}{2 \pi n} - \frac{m}{2 \pi n} \cos 2 \pi n m + \frac{1}{4 \pi^2 n^2} \operatorname{sen} 2 \pi n m \right\} =$$

$$= \frac{T^2}{2 \pi n (1-m)} \left\{ (1-m) \cos 2 \pi n m + \frac{\operatorname{sen} 2 \pi n m}{2 \pi n} \right\}.$$

$$B_n = \frac{2A}{T^2} (E + F) = \frac{A}{\pi n} \left[\frac{(1-m) \operatorname{sen} 2 \pi n m + m \operatorname{sen} 2 \pi n m}{2 \pi n m (1-m)} \right] = \frac{A \operatorname{sen} 2 \pi n m}{2 \pi^2 n^2 m (1-m)} \quad [15]$$

Sostituendo le espressioni testè determinate di A_n , A_n , B_n nella [9] si ottiene in definitiva per la $f(t)$ di fig. 4:

$$f(t) = \frac{A}{2} + \frac{A}{2 \pi^2 n^2 m (1-m)} \sum_{i=1}^p \left\{ (\cos 2 \pi n m - 1) \cos n \omega t + \operatorname{sen} 2 \pi n m \cdot \operatorname{sen} n \omega t \right\} =$$

$$= \frac{A}{2} + \frac{A}{2 \pi^2 n^2 m (1-m)} \sum_{i=1}^p \left\{ \cos n (2 \pi n - \omega t) - \cos n \omega t \right\} \quad [16]$$

2. — Consideriamo ora il dente di sega invertito di fig. 5 corrispondente a quello di fig. 2 a). La $f(t)$ è anche in questo caso composta di due segmenti rettilinei, a ciascuno dei quali compete un'espressione analitica propria. L'equazione della $f(t)$ per il segmento BC, dove valgono le disequaglianze $0 < t < mT$, è facilmente ricavabile ricordando l'espressione segmentaria della retta:

$$\frac{t}{p} + \frac{f(t)}{q} = 1 \quad [17]$$

in cui p e q sono le intercette della retta passante per B e C sui due assi coordinati; in questo caso si ha:

$$p = mT; \quad q = A,$$

sostituendo nella [17]:

$$\frac{t}{mT} + \frac{f(t)}{A} = 1$$

da cui:

$$f(t) = A \left(1 - \frac{t}{mT} \right) \quad [18]$$

Per il segmento CD, dove sono valide le disequaglianze $mT < t < T$, dall'esame della fig. 5 si ricava:

$$\begin{aligned} \text{per } t_1 = mt; \quad f(t_1) &= 0 \\ \text{per } t_2 = T; \quad f(t_2) &= A \end{aligned}$$

Sostituendo questi valori nella [10] avremo:

$$\frac{t - mT}{(1 - m)T} = \frac{f(t)}{A}$$

da cui

$$f(t) = \frac{A(t - mT)}{(1 - m)T} \quad [19]$$

Ricavate così le $f(t)$ per i due rami, procedendo in modo del tutto analogo al caso precedente 1°, adottando *altresì* i simboli A_{01}, A_{n1}, B_{n1} al posto dei corrispondenti A_0, A_n, B_n del caso 1° allo scopo di evitare confusioni, si ha successivamente:

— dalla 1° delle [8]:

$$\begin{aligned} A_{01} &= \frac{1}{T} \int_0^T f(t) dt = \frac{A}{T} \left\{ \int_0^{mT} \left(1 - \frac{t}{mT} \right) dt + \int_{mT}^T \frac{t - mT}{(1 - m)T} dt \right\} = \frac{A}{T} \left\{ \left[t - \frac{t^2}{2mT} \right]_0^{mT} + \frac{1}{(1 - m)T} \left[\frac{t^2}{2} - mTt \right]_{mT}^T \right\} = \\ &= \frac{A}{T} \left\{ mT - \frac{mT}{2} + \frac{1}{(1 - m)} \left[\frac{T}{2} - mT - \frac{m^2 T}{2} + m^2 T \right] \right\} = A \left\{ \frac{1 - m}{2(1 - m)} \right\} = \frac{A}{2} \end{aligned}$$

— dalla 2° delle [8]:

$$A_{n1} = \frac{2}{T} \int_0^T f(t) \cos n \omega t dt = \frac{2A}{T} \left\{ \int_0^{mT} \left(1 - \frac{t}{mT} \right) \cos n \omega t dt + \int_{mT}^T \frac{t - mT}{(1 - m)T} \cos n \omega t dt \right\} = \frac{2A}{T} (C_1 + D_1).$$

Calcolo C_1 :

$$\begin{aligned} C_1 &= \int_0^{mT} \left(1 - \frac{t}{mT} \right) \cos n \omega t dt = \int_0^{mT} \cos n \omega t dt - \frac{1}{mT} \int_0^{mT} t \cos n \omega t dt = \left[\frac{\sin n \omega t}{n \omega} \right]_0^{mT} - \frac{1}{mT} \left[\frac{t \sin n \omega t}{n \omega} + \frac{\cos n \omega t}{n^2 \omega^2} \right]_0^{mT} = \\ &= \frac{T}{2\pi n} \sin 2\pi n m - \frac{1}{m} \left[\frac{m}{2\pi n} \sin 2\pi n m + \frac{T}{4\pi^2 n^2} \cos 2\pi n m - \frac{T}{4\pi^2 n^2} \right] = \frac{T(1 - \cos 2\pi n m)}{4\pi^2 n^2 m}. \end{aligned}$$

Calcolo di D_1 :

$$\begin{aligned} D_1 &= \int_{mT}^T \frac{t - mT}{(1 - m)T} \cos n \omega t dt = \frac{1}{(1 - m)T} \left\{ \int_{mT}^T t \cos n \omega t dt - mT \int_{mT}^T \cos n \omega t dt \right\} = \\ &= \frac{1}{(1 - m)T} \left[\frac{t \sin n \omega t}{n \omega} + \frac{\cos n \omega t}{n^2 \omega^2} - \frac{mT \sin n \omega t}{n \omega} \right]_{mT}^T = \frac{1}{(1 - m)} \left[\frac{T}{2\pi n} \sin 2\pi n + \frac{T}{4\pi^2 n^2} \cos 2\pi n - \frac{mT}{2\pi n} \sin 2\pi n m - \right. \\ &\quad \left. - \frac{T}{4\pi^2 n^2} \cos 2\pi n m - \frac{mT}{2\pi n} \sin 2\pi n m + \frac{mT}{2\pi n} \sin 2\pi n m \right] = \frac{T(1 - \cos 2\pi n m)}{4\pi^2 n^2 (1 - m)}. \end{aligned}$$

Sostituendo i valori ora determinati per C_1 e D_1 nell'espressione di A_{n1} si ottiene:

$$A_{n1} = \frac{2A}{T} (C_1 + D_1) = \frac{A}{2\pi^2 n^2} \left[\frac{1 - \cos 2\pi n m}{m} + \frac{1 - \cos 2\pi n m}{1 - m} \right] = \frac{A(1 - \cos 2\pi n m)}{2\pi^2 n^2 m(1 - m)} \quad [20]$$

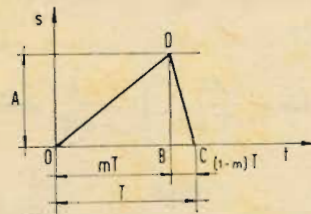


Fig. 4

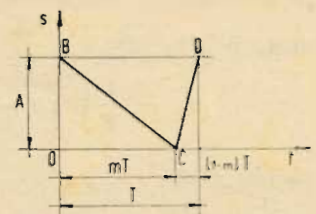


Fig. 5

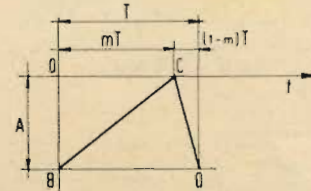


Fig. 6

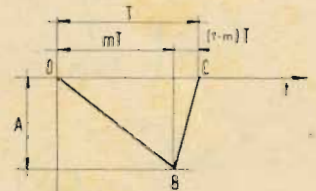


Fig. 7

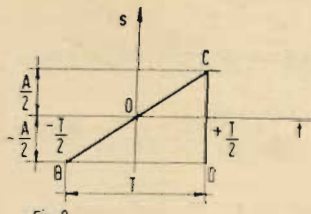


Fig. 8

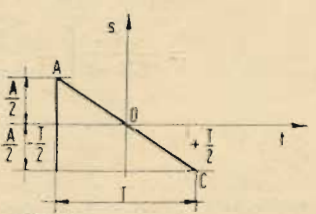


Fig. 9

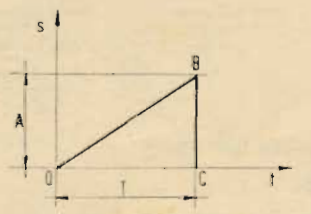


Fig. 10

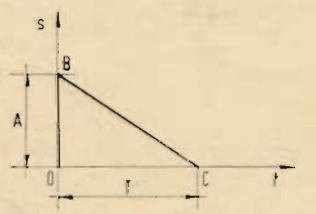


Fig. 11

Confrontando la [20] colla [14] si constata che:

$$A_{n_1} = -A_n$$

Dalla 3^a delle [8]:

$$B_{n_1} = \frac{2}{T} \int_0^T f(t) \operatorname{sen} n \omega t dt = \frac{2A}{T} \left\{ \int_0^{mT} \left(1 - \frac{t}{mT}\right) \operatorname{sen} n \omega t dt + \int_{mT}^T \frac{t - mT}{mT(1-m)T} \operatorname{sen} n \omega t dt \right\} = \frac{2A}{T} (E_1 + F_1)$$

Calcolo di E_1 :

$$\begin{aligned} E_1 &= \int_0^{mT} \left(1 - \frac{t}{mT}\right) \operatorname{sen} n \omega t dt = \int_0^{mT} \operatorname{sen} n \omega t dt - \frac{1}{mT} \int_0^{mT} t \operatorname{sen} n \omega t dt = \left[-\frac{\cos n \omega t}{n \omega} - \frac{1}{mT} \left(-\frac{t \cos n \omega t}{n \omega} + \frac{\operatorname{sen} n \omega t}{n^2 \omega^2} \right) \right]_0^{mT} = \\ &= \left[-\frac{T}{2\pi n} \cos 2\pi n m + \frac{T}{2\pi n} + \frac{T}{2\pi n} \cos 2\pi n m - \frac{T \operatorname{sen} 2\pi n m}{4\pi^2 n^2 m} \right] = \frac{T}{2\pi n} \left(1 - \frac{\operatorname{sen} 2\pi n m}{2\pi n m} \right). \end{aligned}$$

Calcolo di F_1 :

$$\begin{aligned} F_1 &= \int_{mT}^T \frac{t - mT}{(1-m)T} \operatorname{sen} n \omega t dt = \frac{1}{(1-m)T} \int_{mT}^T t \operatorname{sen} n \omega t dt - mT \int_{mT}^T \operatorname{sen} n \omega t dt \left\{ = \right. \\ &= \frac{1}{(1-m)T} \left[-\frac{t \cos n \omega t}{n \omega} + \frac{\operatorname{sen} n \omega t}{n^2 \omega^2} + \frac{mT \cos n \omega t}{n \omega} \right]_{mT}^T = \\ &= \frac{1}{(1-m)} \left[-\frac{T}{2\pi n} \cos 2\pi n + \frac{mT}{2\pi n} \cos 2\pi n m - \frac{T}{4\pi^2 n^2} \operatorname{sen} 2\pi n m + \frac{mT}{2\pi n} \cos 2\pi n - \frac{mT}{2\pi n} \cos 2\pi n m \right] = \\ &= \frac{1}{(1-m)} \left[-\frac{T(1-m)}{2\pi n} - \frac{T}{4\pi^2 n^2} \operatorname{sen} 2\pi n m \right] = -\frac{T}{2\pi n} \left[1 + \frac{\operatorname{sen} 2\pi n m}{2\pi n(1-m)} \right]. \end{aligned}$$

Sostituendo i valori testè determinati di E_1 , F_1 nell'espressione di B_{n_1} si ottiene:

$$\begin{aligned} B_{n_1} &= \frac{2A}{T} (E_1 + F_1) = \frac{A}{\pi n} \left[1 - \frac{\operatorname{sen} 2\pi n m}{2\pi n m} - 1 - \frac{\operatorname{sen} 2\pi n m}{2\pi n(1-m)} \right] = -\frac{A}{2\pi^2 n^2} \left[\frac{(1-m) \operatorname{sen} 2\pi n m + m \operatorname{sen} 2\pi n m}{m(1-m)} \right] = \\ &= -\frac{A \operatorname{sen} 2\pi n m}{2\pi^2 n^2 m(1-m)} \quad [21] \end{aligned}$$

Confrontando la [21] colla [15] si constata che:

$$B_{n_1} = -B_n.$$

Sostituendo le espressioni ora ottenute per A_{n_1} , A_n , B_n , nella [9] si ottiene in definitiva per la $f(t)$ di fig. 5:

$$\begin{aligned} f(t) &= \frac{A}{2} + \frac{A}{2\pi^2 n^2 m(1-m)} \sum_{n=1}^{\nu} \left\{ (1 - \cos 2\pi n m) \cos n \omega t - \operatorname{sen} 2\pi n m \cdot \operatorname{sen} n \omega t \right\} = \\ &= \frac{A}{2} + \frac{A}{2\pi^2 n^2 m(1-m)} \sum_{n=1}^{\nu} \left\{ \cos n \omega t - \cos n(2\pi m - \omega t) \right\} = \frac{A}{2} - \frac{A}{2\pi^2 n^2 m(1-m)} \sum_{n=1}^{\nu} \left\{ \cos n(2\pi m - \omega t) - \cos n \omega t \right\} \end{aligned}$$

Confrontando la [22] colla [16] si constata che le due equazioni della $f(t)$ dei denti di fig. 4 e 5 sono identiche, salvo che nel caso di fig. 4 al termine costante $A/2$ deve essere aggiunta la sommatoria del secondo termine, mentre nel caso di fig. 5 al medesimo termine costante deve essere sottratta la stessa sommatoria.

3. — La fig. 6 contempla il caso di un dente di sega normale, ma situato tutto al di sotto dell'asse del tempo t . Ricercando le equazioni della $f(t)$ per i due segmenti BC e CD , si trova:

per il tratto BC :

$$\frac{t}{mT} + \frac{f(t)}{A} = 1 \text{ da cui:}$$

$$f(t) = \left(1 - \frac{t}{mT} \right) A \text{ identica alla [13].}$$

per il tratto CD :

$$\text{per } t_1 = mT; \quad f(t_1) = 0$$

$$\text{per } t_2 = T; \quad f(t_2) = A$$

Sostituendo nella [10]:

$$f(t) = \frac{A(t - mT)}{(1-m)T} \text{ identica alla [19].}$$

Dunque il caso della fig. 6 viene ricondotto al caso della fig. 5 e si può senz'altro affermare che la $f(t)$ sarà rappresentata, anche per la fig. 6, da un'equazione del tipo [22].

4. — La fig. 7 contempla il caso del dente di sega invertito.

situato tutto al di sotto dell'asse del tempo t . Ricercando le equazioni della $f(t)$ per i segmenti OB e BC , si trova:

per il tratto OB :

$$\text{per } t_1 = 0; \quad f(t_1) = 0$$

$$\text{per } t_2 = mT; \quad f(t_2) = A$$

sostituendo nella [10] si ottiene:

$$\frac{t}{mT} = \frac{f(t)}{A}$$

da cui:

$$f(t) = \frac{A}{mT} t \text{ identica alla [11].}$$

per il tratto BC :

$$\text{per } t_1 = mT; \quad f(t_1) = A$$

$$\text{per } t_2 = T; \quad f(t_2) = 0$$

sostituendo nella [10] si ottiene:

$$\frac{t - mT}{(1-m)T} = \frac{f(t) - A}{-A}$$

da cui:

$$f(t) = \frac{A(T-t)}{(1-m)T} \text{ identica alla [12].}$$

Dunque il caso di fig. 7 viene ricondotto al caso di fig. 5 e si può senz'altro affermare che la $f(t)$ sarà rappresentata, anche per la fig. 7, da un'equazione del tipo [16].

5. — La fig. 8 contempla il caso del dente di sega perfetto (già riportato in fig. 2 b), in cui il tempo di ritorno è ridotto a zero; in tal caso è $m = 1$.

Il dente è riferito ad un sistema d'assi, la cui origine è posta al centro del tratto obliquo BC del dente stesso.

E' conveniente allora eseguire l'integrazione fra $-(T/2)$ e $+(T/2)$ anziché fra 0 e T come per i casi precedenti.

Le costanti della serie di Fourier sono qui designate coi simboli A_{02} , A_{n2} , B_{n2} .

L'equazione del tratto BC , dove sono valide le disequaglianze $-(T/2) < t < T/2$, si ricava facilmente coll'ausilio della [10]:

$$\begin{aligned} \text{per } t_1 = -\frac{T}{2} & ; f(t_1) = -\frac{A}{2} \\ \text{per } t_2 = +\frac{T}{2} & ; f(t_2) = +\frac{A}{2} \end{aligned}$$

$$\frac{t + \frac{T}{2}}{T} = \frac{f(t) + \frac{A}{2}}{A} \quad , \quad \text{da cui:} \quad f(t) = \frac{A}{T} t \quad [23]$$

Procedendo al solito modo si ha dalla 1^a delle [8]:

$$A_{02} = \frac{1}{T} \int_{-\frac{T}{2}}^{+\frac{T}{2}} f(t) dt = \frac{A}{T^2} \int_{-\frac{T}{2}}^{+\frac{T}{2}} t dt = \frac{A}{T^2} \left[\frac{t^2}{2} \right]_{-\frac{T}{2}}^{+\frac{T}{2}} = 0$$

Questo risultato era del tutto prevedibile, atteso il significato di A_{02} , infatti il valor medio del diagramma di fig. 8 è evidentemente nullo.

Dalla 2^a delle [8]:

$$\begin{aligned} A_{n2} &= \frac{2}{T} \int_{-\frac{T}{2}}^{+\frac{T}{2}} f(t) \cos n \omega t dt = \frac{2A}{T^2} \int_{-\frac{T}{2}}^{+\frac{T}{2}} t \cos n \omega t dt = \frac{2A}{T^2} \left[\frac{t \sin n \omega t}{n \omega} + \frac{\cos n \omega t}{n^2 \omega^2} \right]_{-\frac{T}{2}}^{+\frac{T}{2}} = \\ &= \frac{A}{2\pi n} \left[\sin \pi n + \frac{\cos \pi n}{\pi n} + \sin(-\pi n) - \frac{\cos(-\pi n)}{\pi n} \right] = 0. \end{aligned}$$

anche questo risultato era prevedibile, perchè il diagramma è simmetrico.

Dalla 3^a delle [8]:

$$\begin{aligned} B_{n2} &= \frac{2}{T} \int_{-\frac{T}{2}}^{+\frac{T}{2}} f(t) \sin n \omega t dt = \frac{2A}{T^2} \int_{-\frac{T}{2}}^{+\frac{T}{2}} t \sin n \omega t dt = \frac{2A}{T^2} \left[-\frac{t \cos n \omega t}{\omega n} + \frac{\sin n \omega t}{n^2 \omega^2} \right]_{-\frac{T}{2}}^{+\frac{T}{2}} = \\ &= \frac{A}{2\pi n} \left[-\cos \pi n + \frac{\sin \pi n}{\pi n} - \cos(-\pi n) - \frac{\sin(-\pi n)}{\pi n} \right] = \frac{A}{2\pi n} [+ 2] = \frac{A}{\pi n} \quad \text{per } n \text{ dispari} \\ B_{n2} &= \frac{A}{2\pi n} [-] = -\frac{A}{\pi n} \quad \text{per } n \text{ pari} \end{aligned}$$

Sostituendo nella [9]:

$$f(t) = \frac{A}{\pi} \sum_{n=1}^{\infty} \frac{(-1)^{n-1}}{n} \sin n \omega t = \frac{A}{\pi} \left(\sin \omega t - \frac{1}{2} \sin 2 \omega t + \frac{1}{3} \sin 3 \omega t - \frac{1}{4} \sin 4 \omega t + \dots \right) \quad [24]$$

Dunque la serie per la $f(t)$ di fig. 8 presenta i segni alternati.

6. — La fig. 9 contempla il caso del dente di sega invertito (già riportato in fig. 2 c) nelle stesse condizioni di riferimento del dente di fig. 8.

Ricercando l'equazione del segmento BC , dove sono valide le disequaglianze $-(T/2) < t < +(T/2)$, si trova:

$$\begin{aligned} \text{per } t_1 = -\frac{T}{2} & ; f(t_1) = \frac{A}{2} \\ \text{per } t_2 = +\frac{T}{2} & ; f(t_2) = -\frac{A}{2} \end{aligned}$$

Sostituendo nella [10]:

$$\begin{aligned} \frac{t + \frac{T}{2}}{T} &= \frac{f(t) - \frac{A}{2}}{-A} \quad , \quad \text{da cui:} \\ f(t) &= -\frac{A}{T} t \end{aligned} \quad [25]$$

Dal confronto della [25] colla [23] si deduce che la $f(t)$ sarà rappresentata da un'equazione del tipo [24] col segno cambiato, cioè:

$$\begin{aligned} f(t) &= \frac{A}{\pi} \sum_{n=1}^{\infty} \frac{(-1)^n}{n} \sin n \omega t = \frac{A}{\pi} \left(\sin \omega t + \frac{1}{2} \sin 2 \omega t - \frac{1}{3} \sin 3 \omega t + \dots \right) \end{aligned} \quad [26]$$

Ciò conferma il risultato già acquisito dalle [22] e [16] che la inversione del dente di sega comporta la moltiplicazione per -1 della sommatoria nella serie di Fourier.

Dalla [26] appare inoltre che anche la serie per la $f(t)$ di fig. 9 presenta i segni alternati.

7. — La fig. 10 contempla il caso del dente di sega perfetto (già riportato in fig. 2 d), in cui il tempo di ritorno è nullo ($m = 1$), situato tutto superiormente all'asse del tempo t .

Ricercando l'equazione del segmento OB , dove sono valide le disequaglianze $0 < t < T$, si trova coll'ausilio della [10]:

$$\begin{aligned} \text{per } t_1 = 0 & ; f(t_1) = 0 \\ \text{per } t_2 = T & ; f(t_2) = A \end{aligned}$$

$$\begin{aligned} \frac{t}{T} &= \frac{f(t)}{A} \quad , \quad \text{da cui:} \\ f(t) &= \frac{A}{T} t \end{aligned} \quad [27]$$

Indicando con A_{03} , A_{n3} , B_{n3} le costanti della serie di Fourier per la fig. 10, dalla 1^a delle [8] si ottiene:

$$A_{03} = \frac{1}{T} \int_0^T f(t) dt = \frac{A}{T^2} \left[\frac{t^2}{2} \right]_0^T = \frac{A}{2}$$

dalla 2^a delle [8]:

$$A_{n3} = \frac{2}{T} \int_0^T f(t) \cos n \omega t dt = \frac{2A}{T^2} \int_0^T t \cos n \omega t dt = \frac{2A}{T^2} \left[\frac{t \sin n \omega t}{n \omega} + \frac{\cos n \omega t}{n^2 \omega^2} \right]_0^T = \frac{2A}{T^2} \left[\frac{T^2}{4\pi^2 n^2} - \frac{T^2}{4\pi^2 n^2} \right] = 0$$

dalla 3^a delle [8]:

$$B_{n3} = \frac{2}{T} \int_0^T f(t) \sin n \omega t dt = \frac{2A}{T^2} \int_0^T t \sin n \omega t dt = \frac{2A}{T^2} \left[-\frac{t \cos n \omega t}{\omega n} + \frac{\sin n \omega t}{n^2 \omega^2} \right]_0^T = \frac{2A}{T^2} \left[-\frac{T^2}{2\pi n} \right] = -\frac{A}{\pi n}$$

Sostituendo i valori testè determinati di A_{03} , A_{n3} , B_{n3} nella [9] si ha:

$$f(t) = \frac{A}{2} - \frac{A}{\pi} \sum_{n=1}^{\infty} \frac{1}{n} \sin n \omega t = \frac{A}{2} - \frac{A}{\pi} \left(\sin \omega t + \frac{1}{2} \sin 2 \omega t + \frac{1}{3} \sin 3 \omega t + \dots \right) \quad [28]$$

(segue a pagina 554)

RICERCATORE DI GUASTI

SIGNAL TRACER

di Luciano Porretta

La ricerca dei guasti nei radiorecettori a prescindere dalla particolare capacità dell'operatore, comporta un esame secondo un criterio logico delle parti componenti il circuito partendo dal tubo convertitore al tubo finale di B.F. o viceversa. Tale operazione si esegue normalmente con uno strumento universale che permette misure di tensione, corrente e resistenza, ma più delle volte, dopo aver riscontrato che tutte le tensioni agli elettrodi dei tubi sono esatte l'apparecchio rimane ancora muto; ciò può derivare da eventuali capacità o induttanze interrotte od in perdita. La loro individuazione comporta il distacco per lo meno di un solo punto dal circuito per poter effettuare la misura con un eventuale strumento. Il metodo della ricerca dei guasti mediante uno strumento che dia un'indicazione uditiva dei

ponenti di dimensioni ridottissime. Il trasformatore di accensione è stato ricavato riavvolgendo il secondario di un normale trasformatore per lumini votivi.

L'interno del puntale è stato isolato con uno strato di tela sterlingata incollata con della resina. Per i collegamenti dal trasformatore allo zoccolo della valvola è stato usato del filo di rame sufficientemente rigido che dà al complesso una buona rigidità.

Dalla foto ci si può rendere conto ancora meglio di come sono disposti i componenti.

Uso dello strumento

Per le precise caratteristiche del circuito viene generato un numero elevato di armoniche che distano tra loro di 2.5 kHz e si succedono oltre i 20 MHz, in tal modo lo strumento può venire usato su tutte le gamme di un moderno radio-ricevitore od amplificatore.

Il suo impiego è assai semplice. Il puntale verrà applicato successivamente alle griglie del ricevitore in esame partendo dalla convertitrice alla finale o viceversa.

Il controllo può essere effettuato o con l'ascolto dell'altoparlante o con un misuratore di uscita sul trasformatore dell'altoparlante.

Lo strumento può venire inoltre usato per una delicata operazione, cioè la regolazione del condensatore «padding». Eseguendo questa operazione con un normale oscillatore modulato riesce difficile ottenere un buon allineamento del circuito di aereo e dell'oscillatore, dovendo eseguire la taratura su diversi punti della gamma. Usando invece un multivibratore che non emette una sola frequenza, ma tutta una gamma, basterà eseguire l'al-

(segue a pagina 555)

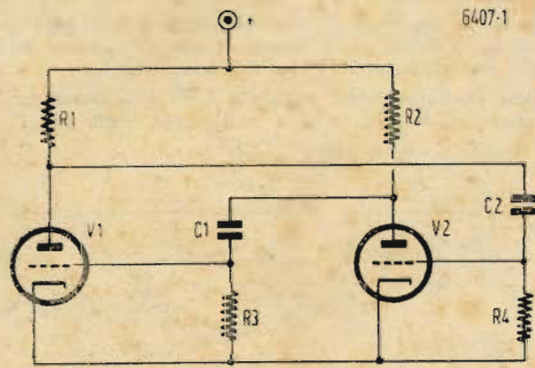


Fig. 1 - Circuito impiegato. Deriva dal classico multivibratore di Abraham-Bloch.

segnali comporta un tempo minore ed una minore capacità dell'operatore e consente che lo strumento possa venir connesso in qualsiasi parte del circuito senza portare alcuna modifica al circuito stesso. Su questi criteri si sono orientati gli attuali «Signal Tracer» che sono apparsi da poco sul mercato italiano e da molto tempo su quello americano.

Mentre nei comuni «Signal Tracer» è sempre necessario applicare all'ingresso del ricevitore od amplificatore un segnale e quindi ricercare con lo strumento lo stadio difettoso, con il ricercatore descritto non occorre l'applicazione di un segnale e si realizza una più agevole operazione.

Nello schema di fig. 1 è rappresentato il circuito impiegato. Esso deriva dal classico multivibratore di Abraham e Bloch la cui particolarità più spiccata è la mancanza assoluta di qualsiasi circuito oscillante. Esso viene accordato dimensionando opportunamente i componenti resistivi e capacitivi. Questo circuito va usato con due tubi perfettamente simmetrici ed identici o con un tubo doppio come nel caso presente.

La frequenza dipende dalla costante di tempo del circuito e con un piccolissimo errore può venire espressa da $R_x \cdot C_x$. Si può con buona approssimazione calcolare la frequenza fondamentale con la seguente espressione:

$$f = \frac{1}{C_1 R_3 + C_2 R_4}$$

È sufficiente che l'accordo di $R_x \cdot C_x$ sia approssimato dato che il circuito viene sia pure debolmente trascinato ad oscillare all'unisono dalla frequenza eccitatrice.

L'ampiezza del segnale è legata alla tensione anodica, però a frequenze elevate essa dipende pure dalle capacità interelettrodeiche dei tubi. Secondo l'uso cui è destinato, il multivibratore deve venir eccitato con una frequenza opportuna.

Nel caso presente si è scelta una frequenza fondamentale circa sui 2500 Hz e come frequenza eccitatrice si sfrutta un'armonica della rete luce.

Costruzione

Tutti i componenti il circuito compreso il tubo miniatura sono sistemati in una custodia cilindrica della forma di un grosso puntale; da ciò si comprenderà la necessità di adoperare com-

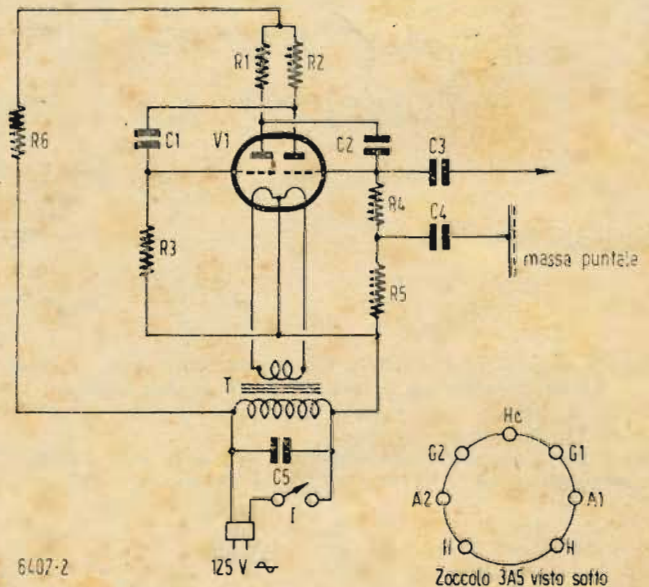


Fig. 2 - $R1 = 3.45$; $T =$ Primario 125V, secondario 2,8V — 0,114; $C1 = C2 = 0,01\mu F$, 500VL, carta; $C3 = 50pF$, mica o ceramico; $C4 = 0,02\mu F$, 500VL, carta; $C5 = 0,001\mu F$, 500VL, carta; $R1 = R2 = 25$ kohm, $\frac{1}{4}W$; $R4 = R5 = 56$ kohm, $\frac{1}{4}W$; $R6 = 5$ kohm, $\frac{1}{4}W$.

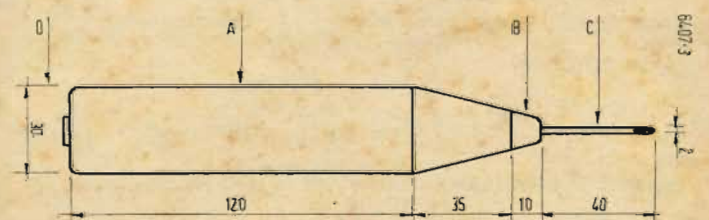


Fig. 3 - A = corpo del puntale in ottone 3/10, verniciato a fuoco; B = passante ceramico; C = puntale in ottone argentato; D = passante in gomma.

L'EVANESCENZA NELLE RADIOCOMUNICAZIONI

di Piero Soati

Quando le radio onde che si irradiano da un trasmettitore debbono seguire le vie ionosferiche o quelle troposferiche (come nel caso delle onde corte e di quelle medie nelle ore serali o notturne) non mantengono la loro intensità di campo costante ma presentano un particolare fenomeno consistente in fluttuazioni di campo che possono essere più o meno rapide e più o meno profonde, che generalmente sono più marcate nelle frequenze alte, ed al quale è stato dato il nome di « evanescenza » (« fading » in lingua inglese).

Sebbene sia particolarmente difficile determinare una legge generale sull'evanescenza, praticamente essa si può suddividere in due grandi classi: quella a periodi particolarmente lunghi e che comprende le evanescenze stagionali, diurne e notturne le quali sono oggetto di un speciale studio che porta alla compilazione delle curve di predizione aventi lo scopo di stabilire a priori le onde più adatte per effettuare radiocollegamenti in determinati periodi con determinate località, ed evanescenza a breve periodo, cioè della durata compresa fra qualche minuto fino a frazioni di secondo, delle quali ci occuperemo esclusivamente nel corso della presente esposizione.

Le evanescenze a periodo relativamente breve, che possono provocare delle variazioni d'intensità tali da arrivare alla scomparsa totale dei segnali, le possiamo suddividere genericamente in quattro categorie:

- a) evanescenza d'interferenza;
- b) evanescenza di assorbimento;
- c) evanescenza di polarizzazione;
- d) evanescenza di salto.

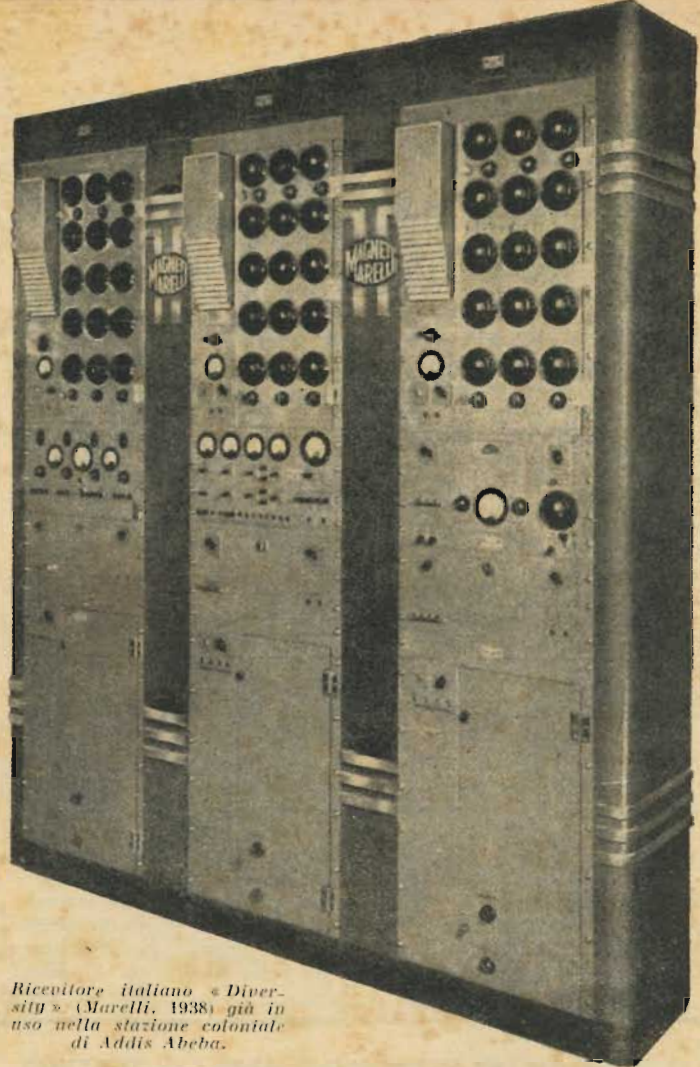
L'evanescenza d'interferenza è dovuta esclusivamente alla differenza di fase di due o più onde che, provenienti dallo stesso trasmettitore, giungono al ricevitore per vie diverse. Infatti se il percorso effettuato dalle varie onde è di differente lunghezza, o per aver ricevuto un numero diverso di riflessioni od a causa della fluttuazione dell'altezza dei strati ionosferici, esse giungeranno al ricevitore generalmente sfasate fra di loro dando luogo ad un rafforzamento od ad una diminuzione dei segnali. Siccome praticamente lo stesso segnale arriva all'aereo ricevente per mezzo di un gran numero d'onde di spazio è evidente che l'intensità di campo potrà variare entro limiti abbastanza ampi e si avrà una massima intensità di ricezione quando tutte le onde saranno in fase fra di loro ed una minima intensità quando lo sfasamento fra di esse sarà massimo.

Sempre a causa dello sfasamento esistente fra due onde di diversa provenienza un fenomeno di evanescenza particolarmente accentuato si verifica quando l'onda di spazio ritorna sulla terra in una zona nella quale l'onda di superficie viene ricevuta ancora con notevole intensità. Sensibili evanescenze d'interferenza si riscontrano pure a causa delle variazioni delle caratteristiche degli strati ionosferici nelle ore prossime al tramonto ed al sorgere del sole ed anche in occasione di aurore boreali o tempeste magnetiche.

Anche le frequenze più basse, le quali sono notevolmente più stabili delle altre propagandosi prevalentemente per raggio di superficie, nelle suddette ore subiscono una evanescenza a periodo relativamente lungo e ciò per il fatto che una debole componente dell'onda di spazio arriva alternativamente in fase o sfasata con la normale onda terrestre.

L'evanescenza di assorbimento è invece generalmente causata dall'energia perduta dalle radio onde in conseguenza dell'assorbimento che esse subiscono nella ionosfera. Questo tipo di evanescenza si differenzia dagli altri essendo di periodo piuttosto lungo dato che le variazioni degli strati ionosferici, dalle quali come abbiamo detto sopra essa dipende esclusivamente (altezza, concentrazione ionica etc.), variano molto lentamente. Un fenomeno similare e che naturalmente nulla ha a che vedere con l'evanescenza vera e propria si verifica talvolta in taluni tipi di ricevitori per particolari difetti costruttivi.

Particolari fenomeni di evanescenza per assorbimento si possono notare in mezzi mobili muniti di radiorecettore, quando si passa sotto grandi ponti di ferro, massicce costruzioni di acciaio o di altro genere in grado di provocare un assorbimento delle radio onde, ed in talune località note con il nome di « zone morte »



Ricevitore italiano « Diversità » (Murelli, 1938) già in uso nella stazione coloniale di Addis Abeba.

nelle quali per ragioni inerenti la natura del suolo o delle costruzioni limitrofe la ricezione è particolarmente difficile.

L'evanescenza di polarizzazione è provocata invece dalla variazione dello stato di polarizzazione di una radio onda rispetto all'orientamento dell'aereo ricevente. Quando la polarizzazione dell'onda è tale che il campo elettrico ha la massima componente nella direzione dell'aereo ricevente si ha in quest'ultimo la massima f.e.m. indotta mentre evidentemente essa è minima quando la suddetta componente è pure minima.

Ciò si verifica per il fatto che il piano polarizzato di un'onda incidente nella ionosfera a causa di un fenomeno di birifrazione può dare origine a due componenti magneto-ioniche di polarizzazione contraria e ruotanti in senso opposto e delle quali quella che gira verso sinistra è chiamata « raggio ordinario » mentre quella che gira verso destra è detta « raggio straordinario ». Siccome l'indice di rifrazione dei due raggi nel mezzo ionizzato è diverso uno dall'altro risultano pure diverse la velocità di penetrazione e le caratteristiche di propagazione nel mezzo. Quando queste due componenti escono dallo strato ionosferico possono nuovamente combinarsi insieme ma non più come un piano d'onda polarizzato ma bensì come un campo ellittico (cioè che ruota cambiando, durante un periodo, di direzione e di ampiezza in maniera che l'estremità del suo vettore rappresentativo percorre un'elisse) che evidentemente varia di valore e di orientamento rispetto all'aereo ricevente.

L'evanescenza di salto si nota nelle località limitrofe le zone di silenzio o di salto, cioè dove le radio onde ricevono nuove riflessioni verso gli strati ionosferici. Quando, sempre a causa di sconvolgimenti che si verificano negli strati ionosferici, tali zone subiscono uno spostamento oltre la stazione ricevente si può verificare un abbassamento della intensità dei segnali fino al limite dell'auditività. Naturalmente la ricezione ritorna normale non appena sia cessata la causa di tale alterazione della propagazione. Tale evanescenza si verifica in modo particolare durante le tempeste magnetiche e nelle ore prossime al tramonto ed all'alba.

I fenomeni di evanescenza non sono identici per tutta una gamma di frequenze ma subiscono variazioni notevoli anche per frequenze molto vicine. Anzi si possono constatare notevoli diversità di comportamento anche per piccolissime differenze di frequenza con la dannosissima conseguenza che tanto le fasi quanto l'ampiezza delle stesse bande laterali di un'onda modulata possono risultare completamente alterate con una conseguente distorsione di modulazione che può rendere anche incomprensibili i segnali. Tale

fenomeno è noto comunemente con il nome di « evanescenza selettiva ».

Mentre per eliminare l'effetto delle evanescenze a periodo lungo (stagionali etc.) è sufficiente scegliere una o più onde appropriate, fra i vari sistemi più in uso per ridurre gli affievolimenti a periodo breve ricordiamo il controllo automatico di volume il quale però oltre a non eliminare gli effetti della evanescenza selettiva ha una azione molto limitata sulle evanescenze molto profonde, e quindi non risolve il problema specialmente nel caso che sia necessario assicurare una comunicazione stabile fra due località. Buoni risultati si ottengono usando aerei direttivi, il cui diagramma di ricezione in linea di massima è rappresentato dalla fig. 1, e con i quali è possibile ottenere una maggiore selettività geometrica ed una diminuzione dell'evanescenza perchè i raggi indiretti che provengono da direzioni che non fanno parte del diagramma di ricezione sono esclusi e di conseguenza sono notevolmente ridotte anche le possibilità di interferenza dei raggi indiretti fra di loro. Infine è stato osservato che il fenomeno di evanescenza varia notevolmente da luogo a luogo anche a distanza relativamente piccola, tanto è vero che se si dispone di due o più ricevitori collegati ad altrettanti aerei disposti relativamente vicini si potrà constatare che mentre per uno di essi si verificherà in un dato istante una evanescenza più o meno accentuata nell'altro si avrà una ricezione normale o quasi, e viceversa. Da tali osservazioni è nato il cosiddetto sistema di ricezione « Diversity » i cui primi esperimenti risalgono al 1927 e che attualmente è generalmente usato ovunque necessiti stabilire collegamenti sicuri.

Il sistema di ricezione « Diversity » consiste nella installazione di vari sistemi di aerei, generalmente tre, disposti in punti diversi e con diversi orientamenti e collegati a tre distinti ricevitori dei quali in ogni istante si utilizza quello che dà il segnale migliore (in pratica si agisce sulle correnti rivelate dei tre ricevitori per comandare l'insieme generale, utilizzando le correnti più intense provenienti dall'aereo più favorito per colmare le deficienze degli altri due). L'esperienza dimostra che utilizzando due ricevitori collegati a due aerei distinti si ha un netto miglioramento della

Fig. 1 - Diagramma polare indicativo di un comune tipo di antenna ricevente direttiva.

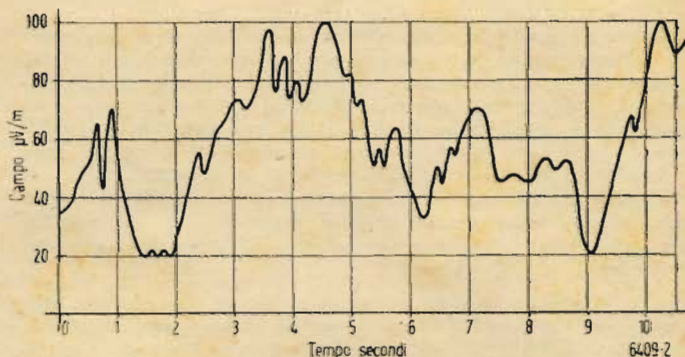
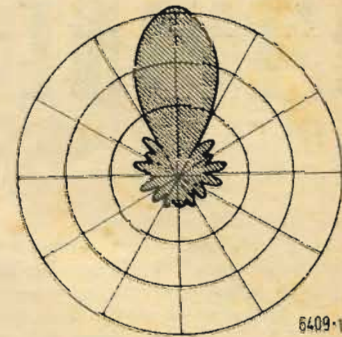


Fig. 2 - Diagramma indicativo « campo-tempo » di un segnale affetto da evanescenza.

DIZIONARIO TECNICO DELLA RADIO

ITALIANO - INGLESE INGLESE - ITALIANO

Abbreviazioni Simboli Vocaboli

della letteratura radiotecnica anglosassone, condensati in circa trecento pagine di fitta composizione tipografica.

Tabelle di conversione

delle misure anglosassoni nelle misure metriche decimali, raccolte per la prima volta in un'opera del genere.

Indispensabile

ai tecnici, agli studiosi, ai dilettanti, a tutti coloro che quotidianamente si trovano a contatto con pubblicazioni tecniche anglosassoni.

In vendita

presso le principali librerie e presso la EDITRICE IL ROSTRO - Milano - Via Senato 24 - Tel. 70.29.08

in due edizioni

legato in cartoncino con elegante sovraccoperta a due colori **Lire 900**

legato in tutta tela con impressioni in oro stampato in carta speciale tipo india **Lire 1100**

ricezione verificandosi una diminuzione delle evanescenze che può andare dal 50 all'80%, mentre se si passa alla ricezione a tre ricevitori il miglioramento è ancora sensibile però è meno marcato di quando si passa da uno a due ricevitori.

In un complesso « Diversity » ben regolato i segnali provenienti da ciascun ricevitore dovrebbero essere a turno predominanti la qualcosa si potrà constatare con dei milliamperometri che misurino la corrente rivelata dei singoli ricevitori. Tali strumenti serviranno anche ad individuare eventuali avarie nei singoli complessi perchè è evidente che se un ricevitore è in avaria o l'aereo al quale è collegato è difettoso, sostituendo l'aereo ed osservando lo strumento si potrà immediatamente constatare se l'avaria dipende dal ricevitore stesso o dall'aereo.

Come abbiamo già detto il sistema « Diversity » è l'unico che possa dare una certa garanzia nei collegamenti fissi. Per la ricezione radiantistica invece tale sistema sarebbe inadatto per ragioni pratiche ed economiche ed in tal caso si può ricorrere vantaggiosamente alla ricezione con aerei direttivi rotanti i quali danno ottimi risultati in relazione allo scopo per il quale debbono essere usati.

Nella normale ricezione circolare l'amatore delle onde corte per diminuire l'effetto delle evanescenze dovrà usare ricevitori muniti di ottimi controlli di sensibilità provvedendo all'installazione di un buon aereo esterno il quale oltre ad elevare il rapporto segnale disturbo permetta la ricezione delle stazioni deboli con una intensità sufficiente dimodochè l'evanescenza non possa arrivare fino alla scomparsa del segnale, cosa che si verifica facilmente quando la ricezione avviene con i soliti mezzi di fortuna. *

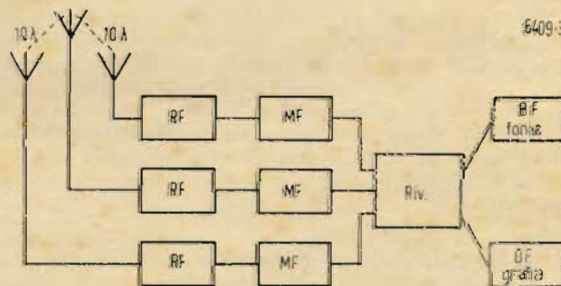


Fig. 3 - Stenogramma di una apparecchiatura « Diversity ».

Calcolo dell'attenuatore

Per ottenere un'impedenza costante ai capi dell'attenuatore occorre avere ai due lati di esso un valore di $2Z$ ed essendo il rapporto di attenuazione V_a/V_b , avremo:

$$R_1 = Z \left(-s \frac{1}{s} \right) \quad R = 2Z \left(\frac{s+1}{s-1} \right)$$

Nel nostro caso l'attenuatore sarà del tipo a decade, di conseguenza $s = 10$ ed ammettendo $Z = 10$ ohm (costanti), i valori di R_1 e R_2 saranno rispettivamente di 99 ohm e 24,4 ohm, ma essendo le resistenze R_2 considerate in parallelo, ne deriva che il loro valore sarà di 12,2 ohm, mentre il primo e l'ultimo elemento, calcolato per un valore di $2Z$ (20 ohm) avrà un valore di circa 11 ohm.

Le singole resistenze componenti l'attenuatore dovranno essere del tipo anti-induttivo, avvolte su striscie di mica usando filo di contantina sottile per ridurre l'effetto pelle.

L'ingresso dell'attenuatore è regolato da un doppio potenziometro lineare coassiale, il quale, oltre che a mantenere costante l'impedenza dell'attenuatore, regola da 0 a 10 i valori dei rapporti d'attenuazione ed offre un carico costante sull'oscillatore evitando variazioni di frequenza.

Il voltmetro a valvola costituito da una ghianda 955 collegato a monte dell'attenuatore (fig. 1) indica la tensione di ingresso presente, questa viene mantenuta costante per tutte le frequenze agendo sul potenziometro P inserito sulla placca della valvola oscillatrice.

Taratura

Per quanto riguarda la taratura dello strumento, un buon oscillatore campione oppure a quarzo, quest'ultimo anche auto-costruito, possono servire benissimo allo scopo. La taratura viene fatta mediante battimento delle due frequenze attraverso un rivelatore qualsiasi oppure con un comune apparecchio radio.

La calibratura dell'attenuatore si ottiene regolando il potenziometro P in modo da avere sul voltmetro a valvola, precedentemente tarato per 0,5 volt fondo scala, una lettura di 0,1 volt.

La tensione presente all'uscita sarà allora distribuita come segue:

1ª posizione dell'attenuatore	0,1	volt (100.000 μ V)
2ª »	0,01	» (10.000 μ V)
3ª »	0,001	» (1.000 μ V)
4ª »	0,0001	» (100 μ V)

Nella quarta posizione avremo che ogni graduazione del potenziometro dell'attenuatore corrisponde a 10 μ V, tensione minima raggiunta all'uscita.

La frequenza coperta va da 80 kHz a 25.000 kHz distribuita in 5 gamme. *

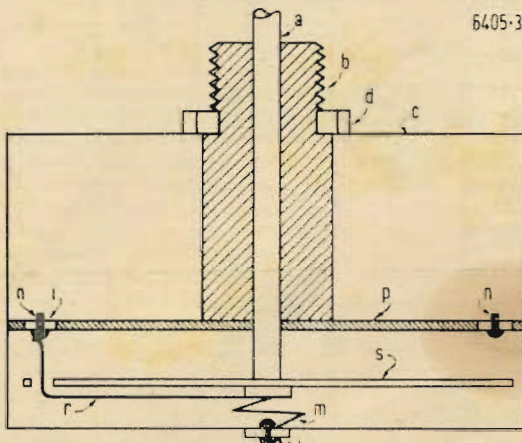


Fig. 3 - a = asse dell'attenuatore; b = bussola di ottone; c = custodia cilindrica di rame argentato; d = dado di fissaggio; p = piastra circolare di rame argentato; m = molla spirale di contatto; n = bulloncini di contatto; s = schermo circolare di rame o ottone; r = contatto a molla strisciante; i = isolante ceramico.

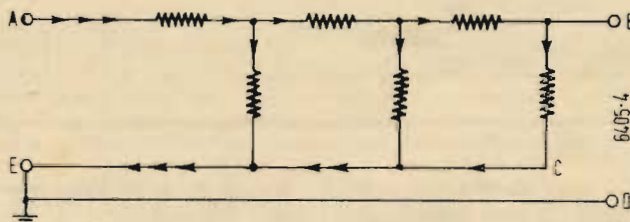


Fig. 4 - Errore di lettura dovuto alla corrente di ritorno dell'attenuatore.

LE EQUAZIONI DELL'OSCILLAZIONE DI RILASSAMENTO A DENTE DI SEGA

(segue da pagina 549)

Dunque la serie per la $f(t)$ di fig. 10 è composta di termini tutti affetti dal segno meno.

8. - La fig. 11 contempla il caso del dente di sega perfetto invertito (già riportato in fig. 2 e) nelle stesse condizioni di riferimento del dente di fig. 10. Le costanti della serie di Fourier per la fig. 11 sono indicate con A_{01} , A_{n1} , B_{n1} .

Ricercando l'equazione del segmento BC, dove sono valide le disequaglianze $0 < t < T$, facendo uso dell'equazione segmentaria [17] della retta si ottiene:

$$\frac{t}{T} + \frac{f(t)}{A} = 1$$

da cui:

$$f(t) = A \left(1 - \frac{t}{T} \right)$$

Dalla 1ª delle [8]:

$$A_{01} = \frac{1}{T} \int_0^T f(t) dt = \frac{A}{T} \int_0^T \left(1 - \frac{t}{T} \right) dt = \frac{A}{T} \left[T - \frac{T}{2} \right] = \frac{A}{2}$$

Dalla 2ª delle [8]:

$$A_{n1} = \frac{2}{T} \int_0^T f(t) \cos n\omega t dt = \frac{2A}{T} \int_0^T \left(1 - \frac{t}{T} \right) \cos n\omega t dt = \frac{2A}{T} \left\{ \int_0^T \cos n\omega t dt - \frac{1}{T} \int_0^T t \cos n\omega t dt \right\} = \frac{2A}{T} \left[\frac{\sin n\omega t}{n\omega} - \frac{1}{T} \left(\frac{t \sin n\omega t}{n\omega} + \frac{\cos n\omega t}{n^2 \omega^2} \right) \right]_0^T = -2A \left[-\frac{1}{4\pi^2 n^2} + \frac{1}{4\pi^2 n^2} \right] = 0$$

Dalla 3ª delle [8]:

$$B_{n1} = \frac{2}{T} \int_0^T f(t) \sin n\omega t dt = \frac{2A}{T} \int_0^T \left(1 - \frac{t}{T} \right) \sin n\omega t dt = \frac{2A}{T} \left\{ \int_0^T \sin n\omega t dt - \frac{1}{T} \int_0^T t \sin n\omega t dt \right\} = \frac{2A}{T} \left[-\frac{\cos n\omega t}{n\omega} - \frac{1}{T} \left(-\frac{t \cos n\omega t}{n\omega} + \frac{\sin n\omega t}{n^2 \omega^2} \right) \right]_0^T = \frac{A}{\pi n}$$

Sostituendo i valori testè determinati di A_{01} , A_{n1} , B_{n1} nella [9] si ha in definitiva per la $f(t)$ di fig. 11:

$$f(t) = \frac{A}{2} + \frac{A}{\pi} \sum_{n=1}^{\infty} \frac{1}{n} \sin n\omega t = \frac{A}{2} + \frac{A}{\pi} \left(\sin \omega t + \frac{1}{2} \sin 2\omega t + \frac{1}{3} \sin 3\omega t + \dots \right) \quad [29]$$

Quindi la serie per la $f(t)$ di fig. 11 è composta di termini tutti affetti dal segno più.

Dal confronto della [29] colla [28] si rileva ancora una volta che l'inversione del dente di sega provoca il cambiamento del segno della sommatoria nella serie di Fourier *

ECONOMIZZATORE DI BATTERIA PER APPARECCHI PORTATILI

di A. Casali

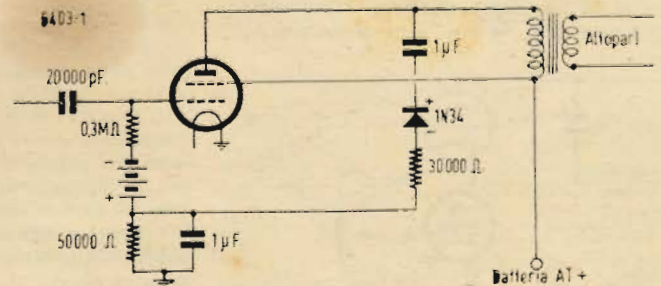
Come si può facilmente constatare, vanno sempre maggiormente diffondendosi gli apparecchi portatili a batteria, siano essi dei tipi « personal midjet » od altri. Questi apparecchi portano con sé una sorgente di corrente alquanto limitata sebbene sia in certo qual modo adeguata al modello dell'apparecchio e quindi al tipo delle valvole in uso. Ne segue che dopo un dato periodo di tempo è necessario sostituire le batterie con altre capaci di erogare la potenza necessaria richiesta dall'apparecchio. E' superfluo aggiungere che la cosa oltre ad essere scomoda diviene anche poco economica.

Riferiamoci ora unicamente alla sorgente di alimentazione anodica (batteria AT o HT) e tralasciamo quelle di accensione e polarizzazione che hanno un'importanza molto minore, in merito al costo della prima, la quale non è poi sempre reperibile su tutti i mercati.

Nulla si può fare affinché tale batteria non si esaurisca mai oppure si esaurisca solo dopo un lunghissimo periodo di funzionamento, però è sempre desiderabile mantenere l'efficienza della batteria più a lungo possibile e ciò si può senz'altro ottenere adottando il procedimento descritto nel presente articolo.

Indubbiamente tutti i lettori sapranno che ciò che richiede un maggiore assorbimento di corrente dalla sorgente di alimentazione è la valvola finale, la quale assorbe un massimo o un minimo di corrente in ragione inversamente proporzionale alla tensione negativa di griglia. In pratica tale assorbimento non è mai calcolato ad un minimo perché sebbene la valvola sia in grado di funzionare egualmente con segnali deboli, non lo sarebbe più qualora i segnali entranti fossero forti; quindi si comprenderà facilmente che essendo l'assorbimento adeguato ai segnali forti nei momenti di pause o nei momenti in cui essi non raggiungono quella potenza necessaria per cui l'intero assorbimento anodico è utilizzato, la valvola in questione dissiperà inutilmente corrente

dalla batteria. Ora, è possibile ottenere un buon risparmio nell'andamento della batteria di alta tensione, senza tuttavia diminuire la potenza di uscita, regolando l'assorbimento anodico per mezzo di un piccolo rivelatore a metallo. Per tale scopo molto adatti si sono dimostrati il Westector W4 e il cristallo 1N34, che hanno dato risultati veramente soddisfacenti. Codesti rivelatori sono facilmente reperibili in ogni mercato ove vi sia del materiale radio residuo di guerra; infatti essi venivano largamente impiegati in equipaggiamenti militari inglesi e americani. Vediam



mo ora di esaminare il comportamento del rettificatore e la ragione per cui esso è in grado di economizzare abbastanza sensibilmente la corrente della batteria di alimentazione anodica. La valvola di uscita, nel cui circuito è montato il cristallo rettificatore, è polarizzata con un valore di tensione negativa di griglia che la obbliga ad assorbire soltanto una piccola corrente anodica dalla sorgente di alimentazione. Ciò comporta una bassa resa di uscita nel carico anodico, ma come già è stato detto precedentemente per segnali deboli non è necessario che la corrente di placca scorra maggiormente.

Nel momento però che sono presenti i segnali forti il circuito richiede una variazione nell'alta tensione negativa di griglia affinché la valvola sia in condizioni di rispondere ad una buona ricezione scevra di distorsioni. Questa variazione viene prodotta automaticamente dal cristallo rettificatore. Seguendo lo schema di applicazione visibile in figura, una parte del segnale proveniente dalla placca viene rettificato e riportato nel circuito di griglia, dove essendo tale segnale di polarità inversa alla batteria, ha l'effetto di neutralizzare parte dell'alta polarizzazione negativa di griglia e permettere alla valvola di lavorare nella sua normale curva di operazione. Da ciò si comprende che la corrente anodica varia proporzionalmente col variare del segnale, sicché quando sono presenti segnali deboli si ha un risparmio di corrente che diversamente non lo si avrebbe ottenuto.

Avendo illustrato il comportamento del rettificatore a cristallo nella applicazione accennata passiamo alla descrizione del complesso la cui semplicità non mette dubbi. Il rettificatore va montato sul circuito anodico della finale in serie ad un condensatore da 1 μF che ha il compito di ostruire il passaggio alla corrente continua e di permettere invece alla bassa frequenza di raggiungere il cristallo ove come è stato detto sopra, viene rettificata e inviata attraverso una resistenza da 25.000 ohm alla batteria di polarizzazione. Il positivo di tale batteria anziché essere collegato direttamente a massa è unito a una resistenza del valore di 50.000 ohm, shuntata da un altro condensatore da 1 μF mentre il negativo è regolarmente collegato alla resistenza di griglia. Nel mettere in pratica lo schema di operazione su un qualsiasi modello di apparecchio radio, il valore della tensione negativa di griglia per la valvola finale va ricercato sperimentalmente.

Il procedimento è abbastanza semplice; occorre aumentare gradatamente la tensione negativa di polarizzazione fino al punto in cui un ulteriore aumento di detta tensione produrrebbe della distorsione nell'altoparlante. E' raccomandabile però al fine di ottenere un lavoro soddisfacente, porre la massima cura nell'eseguire questa operazione. *

Da come si è visto l'uso di un tale strumento, oltre a permettere un notevole risparmio di tempo, risulta di costo assai limitato e di una facile realizzazione.

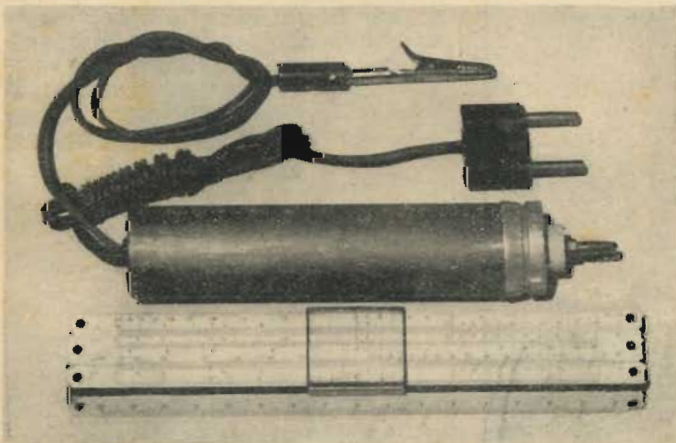
Di contro il dispositivo è coperto da regolare brevetto e ne è vietata la realizzazione industriale senza preventiva autorizzazione dell'autore stesso. *

RICERCATORE DI GUASTI

(segue da pagina 550)

lineamento del padding alla massima uscita senza accordare preventivamente il circuito di aereo. Altra comoda applicazione è il controllo dello stato di taratura del ricevitore in esame.

Applicando il segnale sull'aereo, ruotando il condensatore di sintonia da un'estremità all'altra della scala, e collegato un misuratore sul trasformatore di uscita dell'altoparlante, se la taratura del ricevitore è regolare si dovrà riscontrare soltanto una



leggera diminuzione dell'ampiezza del segnale in corrispondenza delle frequenze più elevate derivata dalla diminuzione di ampiezza del segnale del multivibratore sulle armoniche più elevate. Nel caso che si avessero delle diminuzioni di ampiezza del segnale in punti intermedi della scala, si dovrà ritoccare la taratura del controllo di volume al massimo e con il C.A.V. inattivato.

(segue a fianco)

rassegna della stampa

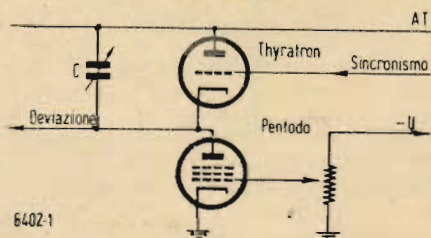
STUDIO ALL'OSCILLOSCOPIO DEI FENOMENI TRANSITORI NON PERIODICI

di R. Wahl

Electronique, n. 33

Luglio 1949

I rivelatori usati nella fisica nucleare liberano all'arrivo di ogni particella elementare un impulso. Gli impulsi arrivano in un istante qualunque, senza periodicità. La loro ripartizione nei tempi è statistica e deriva da una legge statistica. I segnali da utilizzare sono da una parte transitori poi-



chè si tratta di impulsi e d'altra parte non periodici.

L'Autore si propone di studiare all'oscilloscopio i segnali in arrivo sopra descritti e la loro trasformazione negli apparecchi che li utilizzano.

I. - Utilizzazione di un oscilloscopio normale.

La stabilizzazione di una immagine sullo schermo di un oscilloscopio è realizzata quando la periodicità della deviazione

del punto luminoso (frequenza dell'asse dei tempi) è un multiplo esatto del periodo del fenomeno da studiare.

Questa coincidenza è migliorata con l'invio di un segnale di sincronismo in un punto della base dei tempi.

Nella deviazione classica, il dente di sega è ottenuto dalla scarica rapida di una capacità attraverso una valvola thyatron, seguita dalla carica di questa capacità attraverso un pentodo (fig. 1).

Il segnale di sincronizzazione deve in questo caso essere positivo e pilotare il ritorno del raggio deviato rendendo conduttore il thyatron di scarica.

Se in queste condizioni, ci proponiamo di esaminare una serie di impulsi periodici di breve durata rispetto al periodo di ricorrenza si nota:

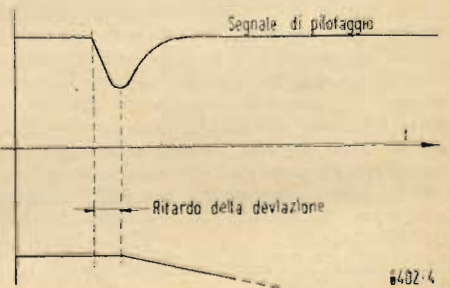
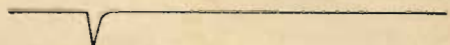
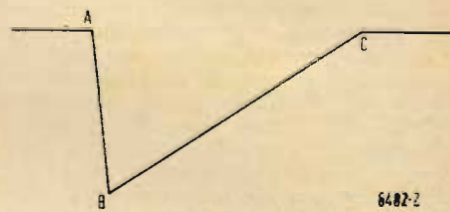
1) il segnale da osservare occupa una piccola porzione dello schermo;

2) se sincronizziamo col segnale da osservare, la parte utile si trova nel ritorno del punto luminoso.

La maggior parte degli altri tipi di deviazioni elettroniche presentano gli stessi inconvenienti. La sincronizzazione ha luogo durante il ritorno del punto luminoso, rendendo impossibile l'osservazione di un fenomeno breve, senza disporre di un segnale di sincronizzazione sfasato rispetto al fenomeno stesso.

Se ci proponiamo di esaminare degli impulsi non periodici, qualsiasi sincronizzazione è impossibile e le immagini si interlacciano sullo schermo del tubo catodico.

Arriviamo così all'idea di una deviazione comandata o pilotata e cioè: Il punto è im-



F.I.M.A.

MILANO

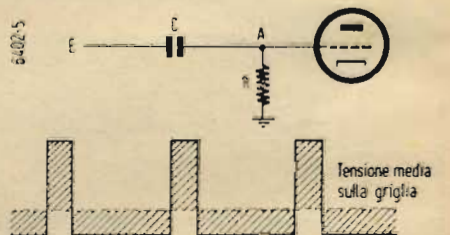
Via Bertini, 5 - Telef. 981.023

*il prodotto
più moderno
e il migliore*

mobile sullo schermo fino all'arrivo di un segnale che dà luogo alla deviazione del punto luminoso, sullo schermo del tubo.

La deviazione, con thyatron può funzionare a queste condizioni: il thyatron è a riposo ed al di sotto della condizione d'inesco. Un impulso positivo lo rende conduttore, scarica rapidamente una capacità che si carica in seguito con il periodo scelto di deviazione. La tensione di deviazione ha la forma indicata dalla fig. 2; si noti che la parte AB è il ritorno del punto che ha luogo prima della parte BC che corrisponde alla deviazione propriamente detta. Abbiamo così un ritardo che può diventare proibitivo se il fenomeno da osservare è breve.

Noi ci proponiamo invece di ottenere una



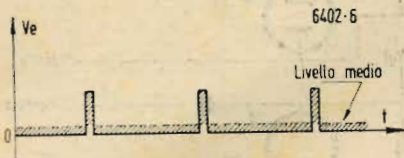
tensione di deviazione avente la forma rappresentata in fig. 3. La carica (salita) lineare di tensione deve iniziare con l'arrivo del segnale di pilotaggio e termina con un ritorno rapido (scarica) alla fine del ciclo.

Chiameremo ritardo della deviazione pilotata dall'impulso, il tempo intercorrente fra l'inizio dell'impulso di pilotaggio e l'inizio della salita lineare di tensione.

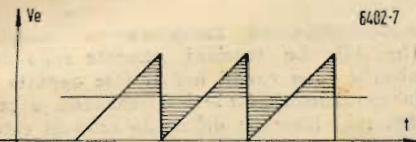
Dei ritardi dell'ordine di $5 \cdot 10^{-8}$ secondi possono essere ottenuti (fig. 4).

II. - Utilizzazione di una deviazione pilotata con impulsi non periodici.

Il dente di sega di deviazione può essere

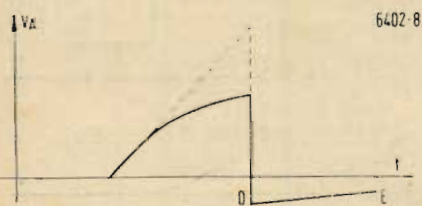


amplificato prima di essere inviato alle placche di deflessione del tubo catodico, a mezzo di un amplificatore con accoppiamento a resistenza capacità.



Consideriamo il caso generale di accoppiamento a resistenza-capacità rappresentato in fig. 5.

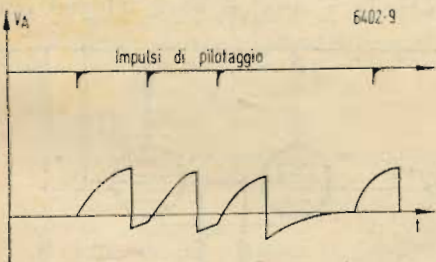
Nella trasmissione di segnali come quelli rappresentati, una carica media si accumula sulla capacità di accoppiamento e modifica la tensione continua del punto A; si dice in questo caso che un regime medio si è stabilito.



Noi possiamo sia cercare di rendere minimo questo effetto, sia di tenerne conto nella progettazione.

Si vede che questo effetto è debole se la durata del segnale è molto corta rispetto al suo periodo di ricorrenza (fig. 6). Però questo non è il caso della trasmissione di un segnale a dente di sega (fig. 7). Se noi trasmettiamo una deviazione periodica, è possibile tener conto di questa tensione continua e di ridurla col centraggio.

Nel caso di deviazione pilotata da impulso, questo livello medio è esso stesso variabile: l'origine della deviazione si sposterà seguendo la cadenza d'arrivo degli im-



pulsi e le immagini non si sovrapporranno. Per una deviazione unica, la tensione in A prenderà la forma indicata nella fig. 8. Esiste un ritorno allo stato d'equilibrio iniziale con una costante di tempo CR (parte DE). La fig. 9 mostra l'effetto di questo ritorno per diverse deviazioni pilotate a impulso con dei tempi più o meno riavvicinati gli uni agli altri. E' illusorio voler ridurre questi effetti diminuendo la costante di tempo d'accoppiamento e così ritor-

nare più velocemente al punto di riposo iniziale, poichè allora non è più possibile trasmettere, senza deformazioni la tensione a dente di sega di deviazione.

Due soluzioni sono possibili:

1) *La restituzione a diodo*; soluzione imperfetta che consiste nel sostituire con un diodo la resistenza R. La costante di tempo sarà allora differente secondo il senso di transito: sarà molto grande nel senso diretto per permettere la riproduzione del dente di sega e molto piccola nel senso inverso per permettere un ritorno rapido alle condizioni di equilibrio iniziale.

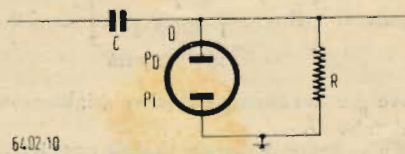
2) *Accoppiamento diretto*; che comporta tutte le difficoltà di accoppiamento di un amplificatore a corrente continua, ma permette la soluzione perfetta della deviazione a pilotaggio.

III. - Caratteristiche di una deviazione pilotata.

Una deviazione sarà definita da:

1. - *Velocità del punto luminoso*: espressa in centimetri per secondo ed è la distanza che il punto percorre sullo schermo in un secondo; è possibile ottenere velocità che arrivano fino a 10 cm/ μ s.

Se la sensibilità delle placche di deflessione del tubo catodico è s [V/cm] una velocità v sarà ottenuta per una variazione della tensione di deflessione $V = v \cdot s$ (V in



Le diciture di fianco al diodo devono essere lette φD e φi . Inoltre l'anodo è collegato a massa.

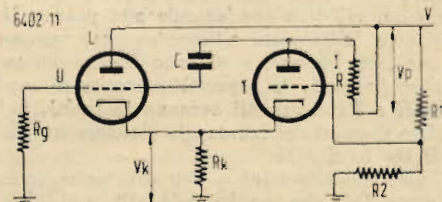
V/ μ s). La velocità di 10 cm/ μ s corrisponderà a un transito di 300 V/ μ s per un tubo di sensibilità 30 V/cm.

2. - *La durata della deviazione*; questa durata determina la frequenza di ripetizione massima della deviazione. Esiste in realtà un tempo morto superiore alla durata della deviazione.

3. - *Il ritardo di deviazione rispetto al pilotaggio* già definita precedentemente.

4. - *Condizioni limite che possono prendere i segnali di pilotaggio della deviazione.*

Questi segnali possono essere positivi o negativi; un discriminatore d'ampiezza può essere vantaggiosamente usato in modo da

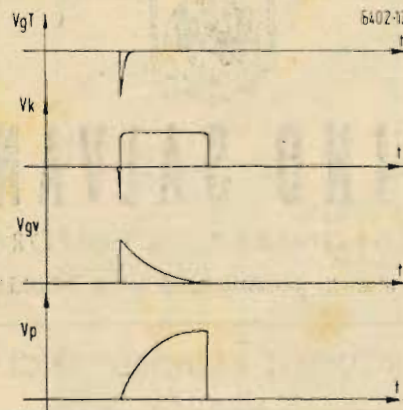


eliminare i segnali di pilotaggio che non devono determinare la deviazione.

5. - *La luminosità del tubo*; è evidente che l'osservazione di un solo impulso molto corto sarà molto difficile per la mancanza di luminosità del tubo.

Una prima soluzione consiste nel fotografare il fenomeno con lastre molto sensibili. Un'altra soluzione è quella di impiegare dei tubi speciali a post-accelerazione. Il metodo più semplice consiste nell'inviare sulla

griglia del tubo catodico durante la durata della deviazione, un segnale positivo. Il punto può essere mantenuto allora a debole intensità a riposo e non deteriorare lo schermo fluorescente.



6. - *Altre condizioni.* Come negli altri oscillografi, si ha interesse a collegare le placchette di deflessione simmetricamente. La deviazione può essere lineare o esponenziale; la velocità regolabile a scatti e se possibile progressivamente. Si può prevedere una taratura dei tempi sia per modulazione della griglia del tubo, sia per taratura fatta sullo schermo.

IV. - Un esempio di realizzazione.

A) *L'oscillatore rilassato a pilotaggio.* - Il montaggio è noto ed è mostrato in fig. 11. Ricordiamone il funzionamento:

Supponiamo che le condizioni iniziali siano le seguenti:

Tubo A aperto; la sua tensione di griglia è mantenuta a 0 dalle resistenze R1 R2. Il carico del tubo T è sufficiente a bloccare il tubo U portando il potenziale dei catodi a una tensione sufficiente. La fig. 12 mostra la risposta di questo sistema ad un impulso negativo applicato alla griglia del tubo T. L'impulso blocca il tubo T. La capacità C che era inizialmente caricata alla tensione di caduta del tubo T tende a caricarsi alla alta tensione V attraverso la resistenza R e Rg. La tensione di carico produce una tensione in Rg superiore ed in senso contrario di quella prodotta in Rk, ciò che sblocca il tubo U. Il carico di M in Rk mantiene il bloccaggio di T. La capacità continua quindi a caricarsi, e la sua corrente di carica diminuisce; ad un certo momento la corrente diventa troppo debole per mantenere aperto U. La tensione catodica diminuisce ed il processo s'inverte quando il tubo T diventa conduttore.

Questo ragionamento suppone che i passaggi siano infinitamente rapidi e non tiene conto dei carichi di griglia.

In prima approssimazione si ottiene dunque sulla resistenza R una salita esponenziale di tensione con una costante di tempo RC.

Un dispositivo di deviazione pilotata, con una sola valvola doppia, dissimetrico ed esponenziale è realizzabile con questo montaggio. Una sola commutazione di C permette di regolare la velocità di deviazione. Un segnale positivo per l'illuminazione della griglia di controllo del tubo è disponibile sui catodi.

B) *Montaggio perfezionato.* - Aggiungendo tre diodi D1, D2, D3 si ottiene il montaggio allo schema in fig. 13. Per semplificare supporremo che i diodi siano identici, che abbiano una resistenza infinita quando non sono conduttori ed r quando lo diventano. La deviazione diventerà lineare se limiteremo la variazione ad una piccola parte della variazione esponenziale.



DINO SALVAN

INGEGNERE COSTRUTTORE

Via Prinetti 4 - MILANO - Tel. 28.01.15

PRODOTTI RADIOELETRICI



Mobile scala telaio tipo 23 speciale

Condensatori variabili
Scale parlanti
Telai
Cornicette in ottone
per mobili radio
Mobili radio

RAPPRESENTANTI:

TRE VENEZIE

Dot. OTTAVIO SALVAN
Via Nizza, 18 PADOVA

PIEMONTE

STAROLA FELICE
Via Sospello, 161 TORINO

EMILIA e TOSCANA

A. PADOVAN
V.le VII. Veneto, 13 PIACENZA

LAZIO e UMBRIA

Reg. PIERO CARUANA
Via Velletri, 40 ROMA

CAMPANIA - LUCANIA -
BASILICATA - CALABRIA e PUGLIE

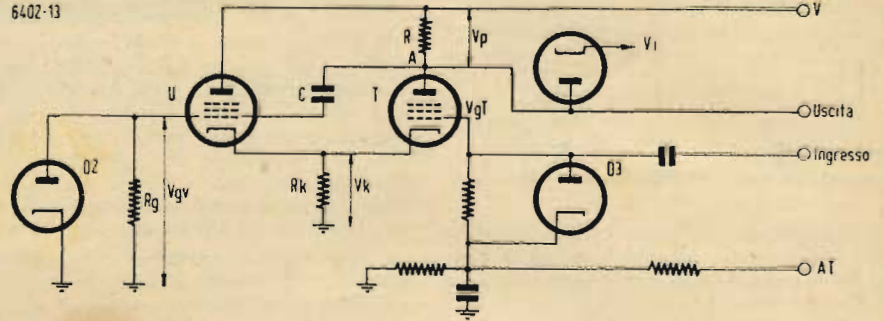
TCMASELLI TEMISTOCLE
Via Dogelli, 1 TRANI

SICILIA

NASTASI SALVATORE
Via della Loggetta, 10 CATANIA

Il diodo D_1 è collegato ad un potenziale V_1 che limita la salita di tensione in A al valore V_1 . Effettivamente quando D_1 è con-

vanno alle due placchette di deviazione del tubo, senza ricorrere ad amplificatori a resistenza-capacità, desideriamo impiegare un



dottrice il potenziale in A non può superare il valore:

$$V_1 = \frac{(V - V_1)r}{R + r} \approx V_1$$

(r molto piccolo) e la corrente di carica di C cessa rapidamente, provocando il bilanciamento del sistema. La costante di tempo di carica di C sarà inizialmente di

$$T_1 = C(R + R_g)$$

Quando la griglia del tubo U diventa positiva, questa costante di tempo diventa:

$$T_2 = C \left[R + \frac{1}{\frac{1}{R_g} + \frac{1}{\rho + R_k}} \right] \approx CR$$

dove ρ è la resistenza interna griglia-catodo del tubo U .

La costante di tempo ritorna nuovamente T_1 quando la griglia di U ritorna negativa. I due periodi durante i quali la costante di tempo è T_1 possono essere trascurati.

Il tempo che impiegherà il punto A per passare dalla tensione di caduta al valore V_1 sarà quindi

$$\frac{V_1 - V}{V} T_1$$

se si rimane nella regione lineare della variazione esponenziale. Il tempo di ritorno sarà quello di scarica della capacità C attraverso il tubo T . Il diodo D_2 accelererà questo ritorno e la costante di tempo di ritorno sarà:

$$C \cdot \left[R_k + \rho_t + \frac{1}{1/rqz + 1/R_g} \right]$$

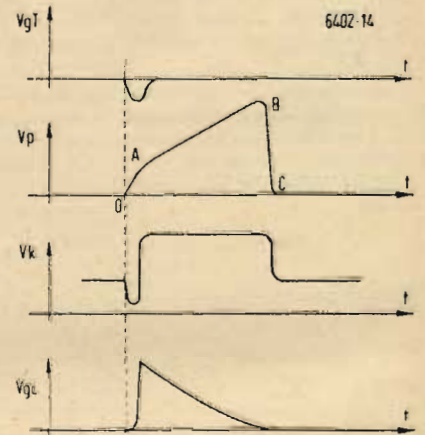
dove ρ_t è la resistenza interna del tubo T .

Noi abbiamo supposto finora che la trasmissione degli impulsi avvenga istantaneamente, ciò non corrisponde alla pratica in quanto all'entrata l'impulso ha sempre una certa durata, e vi sono inoltre da tenere in conto le capacità parassite ai capi di R e R_g . I segnali avranno in realtà, nei diversi punti del montaggio l'andamento indicato in fig. 14.

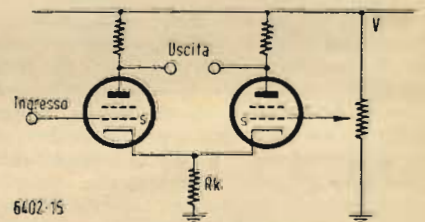
La deviazione inizia con una parte accelerata OA che corrisponde alla amplificazione dell'impulso iniziale. Ciò è evidentemente un vantaggio nell'osservazione dei fenomeni molto brevi poichè il ritardo è trascurabile. La parte lineare della deviazione viene subito dopo (AB). La riduzione del tempo di ritorno in questo caso non presenta un grande interesse, è invece interessante conoscere la velocità che è possibile ottenere nel tratto AB , che per quanto limitata dalle capacità parassite di cui sopra, nel montaggio indicato arriva fino a $40 \text{ V}/\mu\text{s}$.

C) L'amplificatore simmetrico. - Per poter ottenere le due tensioni simmetriche che

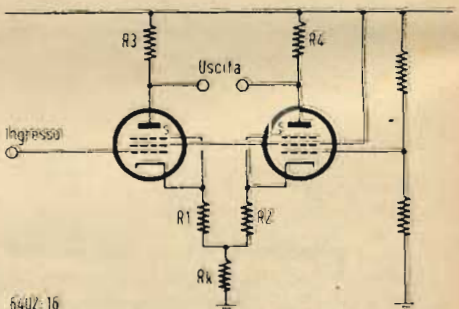
amplificatore ad accoppiamento catodico (fig. 15). Le tensioni ottenute sulle due placche sono eguali ma di fase opposta se la condizione $SRk > 1$ è realizzata e se i due tubi lavorano nel tratto retto di carat-



teristica. Pertanto per non deformare il segnale a dente di sega è indispensabile una forte controreazione, in questo caso la pen-



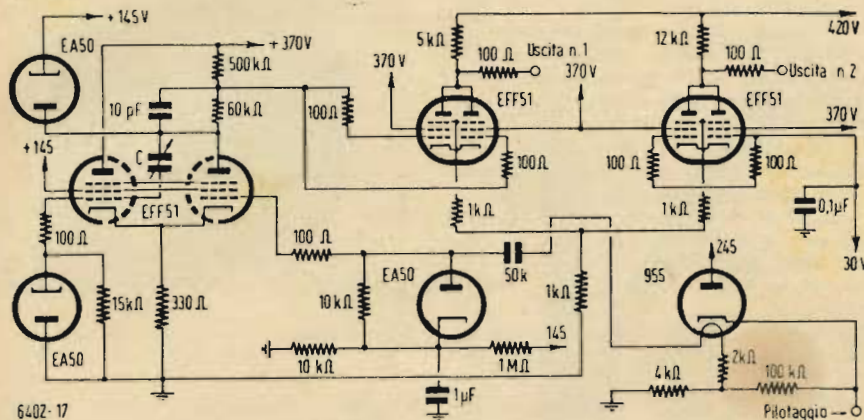
denza apparente diventa bassa e la condizione di simmetria dei due tubi non è realizzabile a meno di usare differenti resi-



stenze di placca (fig. 16). Notiamo qui il vantaggio dell'amplificazione simmetrica ad accoppiamento catodico, nel quale i segnali hanno scarsa influenza nell'alimentazione, vantaggio notevole per un sistema non periodico in cui le correnti di carico variano a ogni istante.

D) Schema generale. - Tutti gli elementi illustrati si ritrovano nel complesso indicato dallo schema di fig. 17.

reazione negativa. Con simili valvole a elevata pendenza possono nascere delle oscillazioni a frequenze ultraelevate sulle linee



Le velocità sono regolate in gamme per commutazione della capacità C e progressivamente dalla resistenza R . Il diodo D_3 è un diodo di restituzione del livello sulla griglia del tubo T . Un « cathode fallower » d'isolamento è previsto all'ingresso per evitare le reazioni nel circuito in istudio.

costituite dai fili di collegamento. E' perciò indispensabile mettere sulle griglie resistenze da 100 ohm.

L'anodo del tubo catodico deve essere collegato ad una tensione continua eguale alla metà delle tensioni presenti nelle placchette di deviazione per evitare una deconcentrazione del punto luminoso.

La modulazione della griglia del tubo catodico è presa sul catodo dell'oscillatore rilassato.

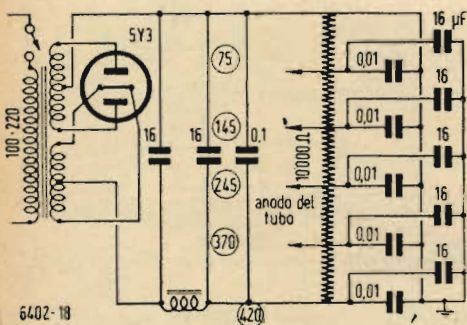
V. - Conclusioni.

Con un montaggio quale quello descritto si possono osservare e misurare fenomeni di durata $0,1 \mu s$ qualunque sia la loro ripartizione nel tempo.

Con un tubo a persistenza si potranno fotografare fenomeni interessanti o rari.

Una applicazione poco sviluppata è l'uso di tali deviazioni nelle basi dei tempi per televisione. Si apporterebbe invece in tal modo una soluzione elegante ai problemi di sincronismo, poichè la deviazione non esisterebbe che all'arrivo degli impulsi di sincronismo.

Lo studio delle realizzazioni descritte è stato fatto nei laboratori del Fort de Châtillon sotto la direzione di M. Claminade.



Le valvole dell'amplificatore simmetrico sono le due sezioni di una EFF51 in parallelo in modo da ottenere una pendenza di 18 mA/V e avere un elevato tasso di

GLI ULTRASUONI IN MEDICINA

di Eugene J. Thomson

Radio Electronics

Settembre 1949

Gli ultrasuoni fanno parte della branca di acustica che concerne le frequenze audio più alte non percepite dall'orecchio umano: cioè superiori ai 20.000 Hz, per quanto non sia ancora fissato il limite superiore allo spettro delle frequenze ultrasuoniche.

Gli ultrasuoni sono generalmente prodotti in due modi: con magnetrostruttori o con cristalli di quarzo. (Vi sono diversi altri mezzi, ma meno comuni).

La fig. 1 indica lo schema di principio di oscillatore a magnetrostrizione per la generazione di ultrasuoni. Il principio sul quale si basa è il seguente: ogni sbarra o tubo di materiale magnetico sottoposto ad un campo magnetico parallelo al suo asse longitudinale, subisce delle piccole variazioni di lunghezza. Questo fenomeno chiamato magnetrostrizione (anche conosciuto come effetto Joule) è reversibile; perciò se una sbarra di materiale magnetico è sottoposta ad un campo magnetico alternato, vibrerà

nel senso longitudinale ed emetterà dai suoi estremi onde sonore. Il massimo trasferimento di energia si avrà quando la frequenza della corrente alternata che genera il campo magnetico alternato è eguale alla frequenza propria di risonanza della sbarra.

Nell'apparecchio di fig. 1, il campo magnetico alternato è prodotto dal triodo oscillatore. La sbarra di materiale magnetico è posta nel circuito oscillante. La capacità variabile C permette l'accordo della frequenza dell'oscillatore sulla frequenza naturale della sbarra. I migliori risultati sono ottenuti quando la sbarra ha una magnetizzazione iniziale, perchè la variazione di lunghezza è maggiore se si ha una variazione della densità di flusso nella sbarra. Questa è la ragione della polarizzazione base, fatta a corrente continua, a mezzo del circuito L .

Vari tipi di metalli sono stati impiegati per le sbarre, quali il nichel, il « Monel », l'« invar ». L'uso di sbarre solide dà luogo a un basso fattore di conversione energia

Saldatore rapido
 DOTT. ING. PAITA
 FABBRICA MATERIALI E APPARECCHI PER L'ELETTRICITA'
 C.S. MAURIZIO 65 TORINO
 Tel. 82344

Il saldatore "RAPIDO"

L'appareil à souder. "RAPIDO"

The new "RAPID" soldering.

Nella tecnica moderna il saldatore elettrico è un attrezzo di prima necessità. Ma sono molte le applicazioni in cui il vecchio saldatore a resistenza diretta su corrente non è più rispondente ai bisogni. Esempio:

Nel caso della radiotecnica, la riparazione di un apparecchio richiede il tempo necessario per la ricerca del guasto, occorre dissaldare delle connessioni, quindi eseguire prove, misure, poi rifare le saldature. Il vecchio saldatore deve essere inserito alla corrente appena iniziato il lavoro per averlo pronto appena trovato il guasto. Passano parecchi minuti anche delle ore con il saldatore caldo. La massa saldante si riscalda oltre misura e si ossida.

Quando occorre eseguire la saldatura bisogna pulire la punta, limarla; tempo perduto, energia elettrica sprecata, rame consumato, resistenza presto bruciata.

E' sentita la necessità di un saldatore che sia subito pronto al momento del bisogno e naturalmente sarà più utile quanto più breve sarà il tempo occorrente al riscaldamento e quanto maggiore sarà la quantità di calore sviluppata in rapporto alla potenza (Watt) assorbita.

Altre qualità si richiedono ad un tale moderno attrezzo:

1. - La leggerezza e la possibilità di eseguire saldature in luoghi angusti e profondi.
2. - La lunga durata delle punte saldanti.
3. - La facile sostituzione delle medesime.
4. - L'evitato pericolo di contatto con tensioni pericolose.
5. - L'evitato pericolo di incendi o anche di semplici bruciature del tavolo da lavoro per aver dimenticato il saldatore inserito.

Il saldatore « Rapido » di recente costruzione risponde a tali norme:

1. - E' pronto in 10".
2. - La corrente viene inserita solo prendendo in mano il saldatore.
3. - Le parti metalliche non sono in contatto con la tensione della rete.
4. - La resistenza è dentro la punta saldante e si sostituisce rapidamente perchè a spirale.
5. - Tale resistenza è di grande durata perchè costituita di pochi millimetri di filo nichelcromo di forte spessore.
6. - La punta saldante non si ossida.
7. - Praticamente si può costruire per qualunque lavoro industriale e per qualunque tensione.

elettrica - energia sonora, a causa delle perdite per isteresi e delle perdite per correnti di « focault ». Dette perdite possono essere ridotte usando un tubo di parete sottile, tagliato longitudinalmente.

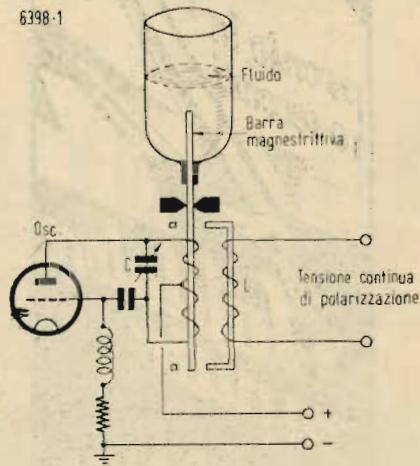


Fig. 1 - Semplice oscillatore a magnetostrizione.

La maggiore limitazione imposta agli oscillatori magnetostrittivi è il limite superiore di frequenza che è legato alle basse frequenze di risonanza propria delle sbarre. Per ottenere frequenze elevate occorre usare sbarre molto corte. Per esempio, per generare frequenze ultrasoniche di 50.000 Hz, occorre una sbarra di nichel di 5 cm di lunghezza. E' evidente che sbarre di lunghezza minore sono molto difficili da usarsi sia per difficoltà di montaggio che di eccitazione. In alcuni casi, frequenze più elevate si possono ottenere usando sbarre di particolare forma. E' anche possibile utilizzare, allo scopo di elevare la frequenza, le armoniche della frequenza fondamentale della sbarra, però con notevole perdita di potenza.

Per le ragioni sopra esposte, oscillatori che fanno vibrare meccanicamente cristalli di quarzo sono largamente usati dove frequenze ultrasoniche più elevate sono desiderate. Frequenze superiori a 50 MHz possono

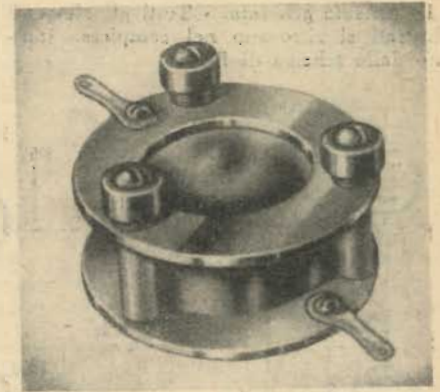
Le onde sono propagate dal cristallo in bagno d'olio.



essere ottenute con questi apparecchi. Questo limite è dovuto al fatto che vi è un minimo di spessore al quale il quarzo può essere tagliato. La frequenza naturale di ogni cristallo dipende sia dallo spessore che dal particolare asse elettrico usato nel taglio di essi. La fig. 2 mostra lo schema di un generatore che usa per la produzione di onde ultrasoniche un cristallo di quarzo. Il principio base di funzionamento di questi cristalli è il medesimo dei cristalli usati nelle testine per la riproduzione dei dischi, meglio noti come « pick-up piezoelettrici ». La tensione alternata di uscita dell'oscillatore è applicata a questo cristallo e fa sì che questo entri in oscillazione meccanica in passo con la variazione di tensione applicata.

Il cristallo è collegato ad un diaframma metallico dal quale le onde ultrasoniche generate, vengono emesse.

Come si vede dalla fig. 2 l'apparecchio si compone di due stadi: pilota e stadio di potenza. Lo stadio pilota usa un tubo 3AG7 oscillatore « electron-coupled » la cui frequenza è controllata da un quarzo piezoelettrico, seguito da uno stadio di potenza alla frequenza del cristallo generatore ultrasonico, entro il 0,1%. Quest'ultimo può essere accoppiato sia direttamente al circuito di placca dello stadio finale per mezzo di



Il trasduttore a cristallo può essere usato oltre i 50 MHz.

nel circuito utilizzatore è posto il cristallo di quarzo generatore di onde ultrasoniche.

L'oscillatore non richiede accordo per frequenze da 100 a 800 kHz. Il cristallo usato per il controllo della frequenza è aggiustato.

Le onde ultrasoniche « messe a fuoco » col cristallo di quarzo sviluppano una notevole quantità di calore nel punto focale del fascio ultrasonoro. Questa proprietà dà luogo a due altre applicazioni:

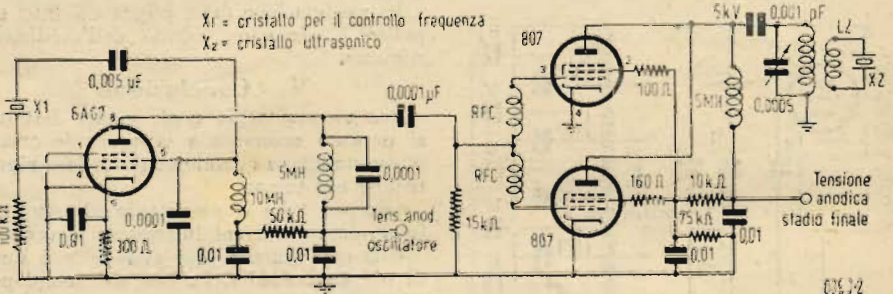


Fig. 2 - Un generatore ultrasonico utilizzando un cristallo di quarzo quale sorgente di vibrazioni.

induttanza con presa in discesa sia a mezzo di circuito « link » o di cavo coassiale. Il circuito anodico dello stadio di potenza è accordato e si può coprire una larga gamma di frequenze a mezzo di bobine intercambiabili.

La potenza di uscita è fra i 50 e i 100 W. Questo generatore è di bassa potenza in quanto progettato per esperienze di laboratorio. Più alte potenze possono essere facilmente realizzate e dipendono dall'uso per il quale devono essere destinate.

Benché i più interessanti fenomeni osservati usando onde ultrasoniche sono dovuti alle lunghezze d'onda più corte, approssimativamente fra i 6 cm e i $2 \cdot 10^{-3}$ cm, gli effetti che esse producono non sono direttamente legate alla frequenza. Generalmente le onde sono propagate da un mezzo liquido quale l'olio.

Gli ultrasuoni hanno diverse applicazioni, la più nota delle quali è certamente quella degli scandagli sottomarini o ecogoniometri.

Le applicazioni mediche degli ultrasuoni sono attualmente le seguenti:

1) Paralizzare o distruggere l'azione dei batteri. Questa proprietà è usata per la sterilizzazione dei vaccini o altri prodotti biologici che devono venire iniettati nel corpo. La causa esatta del perché le onde ultrasoniche distruggono i batteri non è ancora esattamente conosciuta.

2) Rompere i cristalli dei preparati medicinali per renderli più efficaci. formato da due 307 connesse in parallelo;

3) Diatermia, in quanto i tessuti del corpo umano che devono essere sottoposti a calore ad una certa profondità possono essere « messi a fuoco ».

4) Trattamento del cancro. Specifichiamo che questa applicazione è tuttora allo studio; i proponenti del trattamento ultrasonico credono che esso possa essere superiore al trattamento col radium o con i raggi X, poiché questi ultimi non possono essere messi a fuoco a grandi profondità e quindi possono distruggere sia i tessuti sani che i cancerosi.

piccoli annunci

Gli abbonati hanno diritto alla pubblicazione gratuita di un annuncio (massimo 15 parole) all'anno.

VENDO annate Antenna 1939 al 1943 - Materiale radio dilettantistico - Maticchioni, Via Traù, 3 Roma

MOBILI RADIO

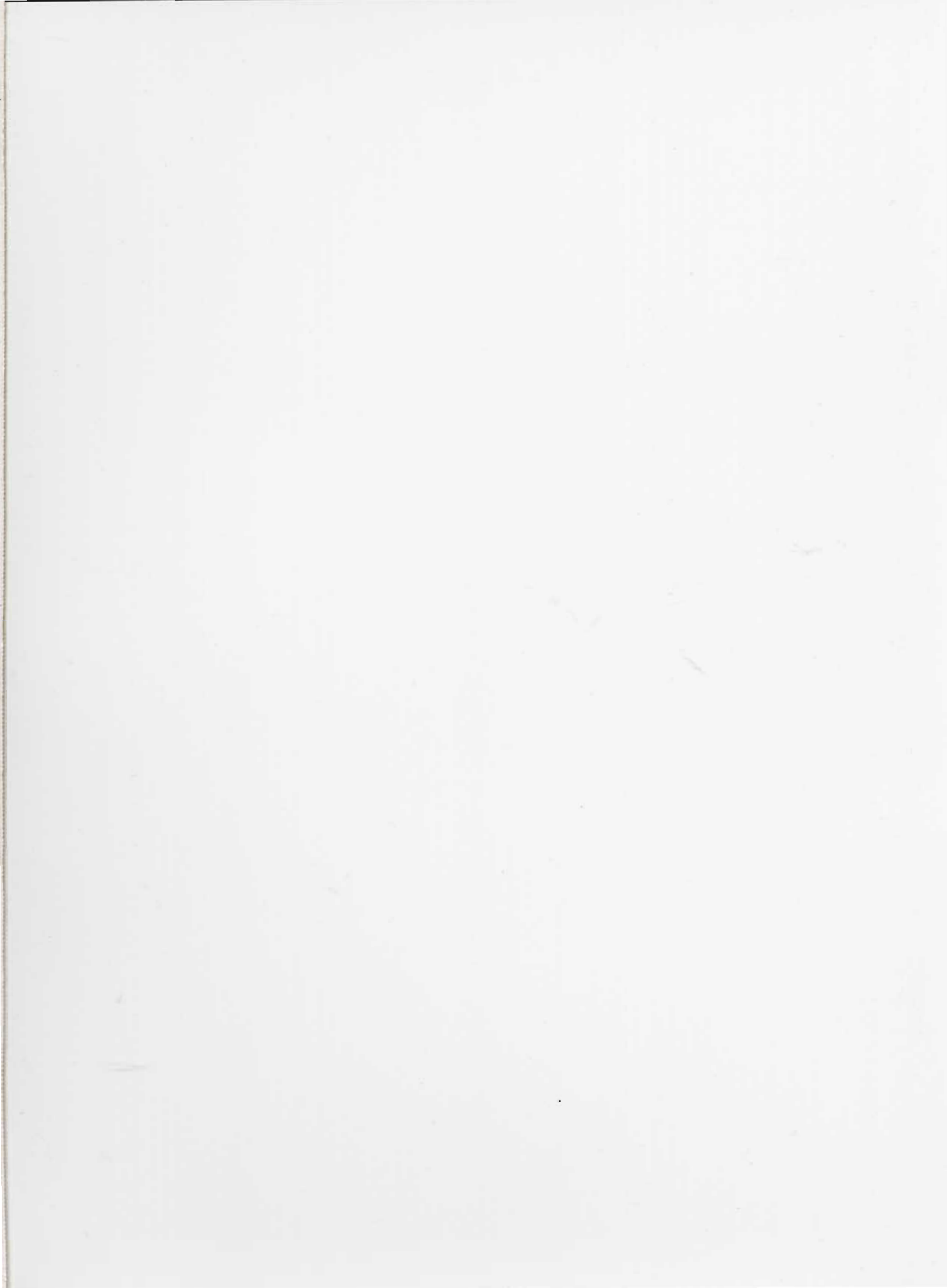
Ci. Pi.

MILANO MILANO

Fabbrica Artigiana di Cesare Preda

Ufficio Vendite: Via Mercadante, 2 MILANO - Tel. 23.601

Magazzino: Via Gran S. 1894 - MILANO - Tel. 260.202







NAPOLI

Vis Radio - Corso Umberto, 132

MILANO

Vis Radio - Via Broggi 19



FABBRICA ITALIANA CONDENSATORI s.p.a.

MILANO - VIA DERGANINO N. 20

Telefoni: 97.077 - 97.114

30
anni di
specializ-
zazione

Le materie prime delle migliori provenienze mondiali, i rigorosi controlli cui sono sottoposte, gli impianti modernissimi continuamente aggiornati, laboratori di ricerca e misura doviziosamente dotati e la profonda specializzazione delle maestranze garantiscono prodotti di alta classe eguagliati solo da quelli delle più celebrate Case Mondiali.



TRIESTE: Commerciale Adriatica - Via Risorta, 2
MILANO: Carisch S. A. - Via Broggi, 19
TORINO: Moncenisio - Via Montecuccoli, 6
GENOVA: Prodotti Carisch - Via delle Fontane 14

MILANO
 VIA MARIO BIANCO 3
 TELEFONO 28.77.12
 Via G. B. CARTA 8

RADIO
Carisch
 "L'UGOLA D'ORO"

CARISCH S. A.
 VIA BROGGI, 19 - MILANO

LA PIÙ IMPORTANTE ORGANIZZAZIONE ITALIANA PER LA
 PRODUZIONE E LA VENDITA DI TUTTI GLI ARTICOLI MUSICALI

LABORATORIO TERLANO DELLA F. E. S. TERLANO (BOLZANO)
Unica fabbrica in Italia di

TERMISTORI CAPILLARI

Avviatori per apparecchi radio
Regolatori di tensione
Ritardatori di relè
ecc.

ESCLUSIVA PER L'ITALIA:

NEUMANN & C. - Via Pannonia 2 - Milano - Telefono 29.50.47

F. GALBIATI

Produzione propria di mobili radio
APPARECCHI RADIO DI TUTTE LE MARCHE

●
TAVOLINI FONOTAVOLINI E
RADIOFONO - PARTI STACCATE
ACCESSORI - SCALE PARLANTI
PRODOTTI "GELOSO"

●
COMPLESSI FONOGRAFICI di tutte le marche

●
INTERPELLATECI
I PREZZI MIGLIORI
LE CONDIZIONI PIÙ CONVENIENTI

VENDITA ALL'INGROSSO E AL MINUTO

RAPPRESENTANTE PER MILANO E LOMBARDIA
DEI COMPLESSI FONOGRAFICI DELLE OFF. ELET-
TRICHE G. SIGNORINI

VIA LAZZARETTO 17 - MILANO - TELEFONO 64.147

FANELLI

FILI ISOLATI

MILANO

Viale Cassiodoro, 3 - Tel. 49.60.56

●
Filo di Litz

Filo di Litz

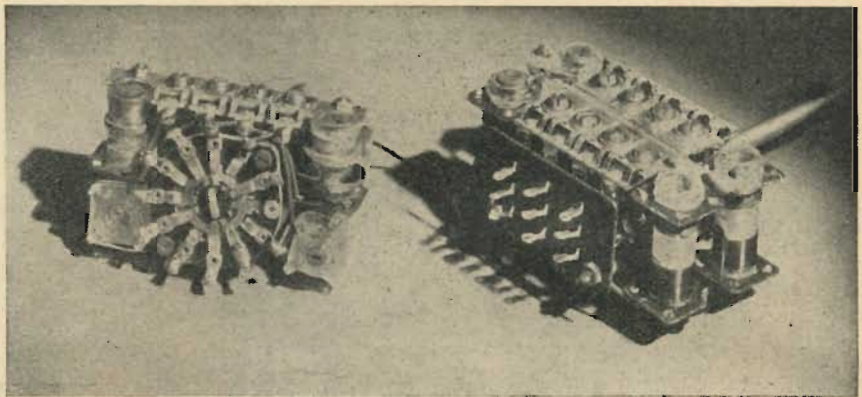
Filo di Litz

Filo di Litz

Filo di Litz

SERGIO CORBETTA

MILANO - Piazza Aspromonte, 30
Telefono 20.63.38



GRUPPI A. F. DI NORMALE PRODUZIONE

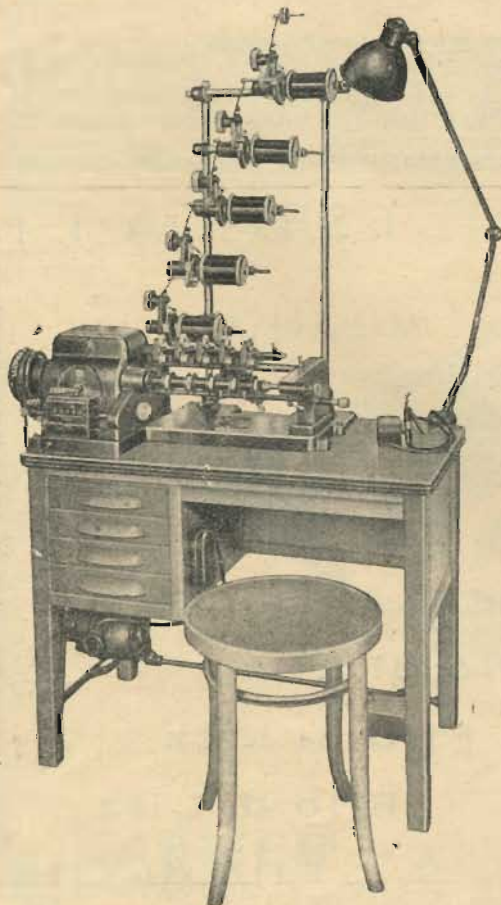
- GRUPPO CS21 per due campi d'onda:
O.M. 190 ÷ 580 mt.; O.C. 16 ÷ 52 mt.
- GRUPPO CS41, per quattro campi d'onda:
O.M. 190 ÷ 580 mt.; O.C.1 55 ÷ 170 mt.;
O.C.2 27 ÷ 55 mt.; O.C.3 13 ÷ 27 mt.
- GRUPPO CS42, per quattro campi d'onda:
O.M. 190 ÷ 580 mt.; O.C.1 34 ÷ 54 mt.;
O.C.2 21 ÷ 34 mt.; O.C.3 12,5 ÷ 21 mt.
- GRUPPO CS43, per quattro campi d'onda:
O.M.1 335 ÷ 590 mt.; O.M.2 195 ÷ 350 mt.;
O.C.1 27 ÷ 56 mt.; O.C.2 13 ÷ 27 mt.

- Supporti indeformabili in polistirene con nucleo ferromagnetico.
 - Alto fattore di merito.
 - Precisione elevata di allineamento.
 - Stabilità di taratura elevatissima.
 - Severo collaudo sperimentale di ogni parte e dell'insieme.
 - MEDIE FREQUENZE
 - GRUPPI PER OSCILLATORI MODULATI
- SERIETÀ - ESPERIENZA - GARANZIA**

DEPOSITARI:

BOLOGNA - L. PELLICIONI - Via Val d'Aposa, 11 - Tel. 35.753
NAPOLI - Dott. ALBERTO CARLOMAGNO - P. Vanvitelli 10 - Tel. 13.486

ROMA - SAVERIO MOSCUCCI - Via Saint Bon, 9 - Tel. 37.54.23
TORINO - Cav. G. FERRI - Corso Vitt. Emanuele, 27 - Tel. 680.220
TRIESTE - COMMERCIALE ADRIATICA - Via Risorta 2 - Tel. 90.173



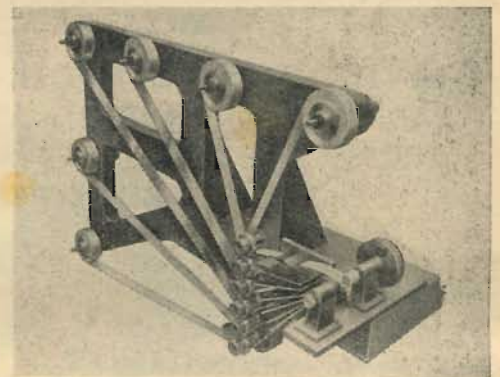
Per tutti i vostri lavori di

AVVOLGIMENTI RADIO-ELETRICI INTERPELLATECI!

Produzione:

Avvolgitori per
CONDENSATORI
Bobinatrici
LINEARI
Bobinatrici a
NIDO D'APE
Bobinatrici Speciali per
NASTRARE
Bobinatori per
TRAVASO

10 MODELLI



Macchine di precisione e di alto rendimento

BREVETTI PREMIATI ALLA IX MOSTRA DELLA MECCANICA



MARCHIO DEPOSITATO

COSTRUZIONI MECCANICHE

ANGELO MARSILLI

TORINO - VIA RUBIANA, 11 - TEL. 73.827

Mod. "AURORA.. multipla"

ESPORTAZIONE IN SVIZZERA - FRANCIA - GRECIA - REP. ARGENTINA - INDIA

PEVERALI FERRARI

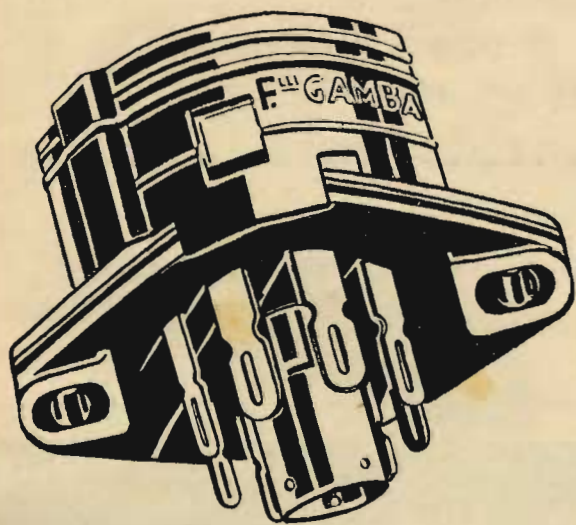
CORSO MAGENTA 5 - MILANO - TEL. 86469

Riparatori
Costruttori
Dilettanti

Prima di fare i vostri acquisti
telefonate **86.469**
Troverete quanto vi occorre
RADIO - PARTI STACcate
PRODOTTI GELOSO

Tutto per la Radio

ASSISTENZA TECNICA



Supporti per valvole

Rimlock

S
P
A **F.lli Gamba**

Via G. Dezza, 47 - Tel. 44.330 - 44.321
MILANO

Comunicato

La **URVE** avverte quanti si interessano ai prodotti sottoelencati originali americani che - avendo le richieste di fornitura superato ogni previsione - sospende gli annunciamenti pubblicitari sin quando non avrà adeguato il ritmo di approvvigionamento alla forte domanda.

La **URVE** porge, frattanto, alla sua affezionata Clientela, cordiali auguri di

Buon Anno

Registratori magnetici completi a filo ed a nastro

- Astrasonic : Mod. W748
- Pentron : Mod. W449 - Mod. T549
- Crescent : Mod. H1B1 - Mod. H2B1
- Peirce : Mod. 55B - Mod. 260 - Mod. 265 - Mod. 270
- Rangertone: Mod. R4 - Mod. R4C - Mod. R4P

Meccanismi di registrazione a filo

- Crescent : Mod. C-1000 B

Filo magnetico di registrazione

- International Sound Wire

Nastro magnetico per registrazione

- Fidelitone

Cambiadischi con pick-up microsolco

- Crescent (RCA) : Serie M-8 Mod. 20
Serie H-16 Mod. 51

Meccanismi con pick-up microsolco

- Crescent (RCA) : Serie M-6 Mod. 22

Cartucce pick-up a flusso variabile

- Jensen : Mod. J-9, da 50 a 10.000 cicli

Cuffie

- Telex : "Monoset,, "Twinsset,, "Earset,,

Altoparlanti

- Operadio : in tutta la sua vasta gamma di modelli alta fedeltà
- Telex : "Pillow,, da guanciale e poltrona

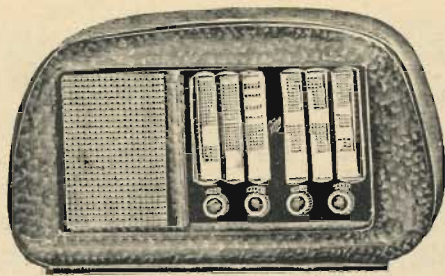
Impianti di intercomunicazione

- Operadio : "Flexifone,, per uso aziendale
"Dukane,, ad alta potenza
"Program Master,, centrale per diffusione sonora

CONCESSIONARIA ESCLUSIVA PER L'ITALIA

URVE - MILANO

Corso Porta Vittoria, 16



MODELLO 524

Supereterodina 5 valvole - 4 gamme d'onda - quadrante ad ampia visuale - dimens. cm. 27x30 - mobile di pregiata fattura - dimensioni cm. 28x38x68
Mod. 524 F - con serie valvole Fivre
Mod. 524 P - con valvole rosse Philips

L'apparecchio di classe in un mobile di pregiata fattura. Viene fornito anche in scatole di montaggio. La sua costruzione è semplificata dal telaio e scala in un solo pezzo.



MARCHIO DI GARANZIA DI UN PRODOTTO CHE SODDISFA ANCHE I PIÙ ESIGENTI

STOK RADIO

Via P. Castaldi 18 - MILANO - Tel. 24.831

La ditta **Gizeta** COSTRUZIONI RADIOFONICHE

avverte la sua Spett. Clientela di aver trasferito i suoi Uffici e il laboratorio in:

Via Dolomiti 37

Certa che la sua affezionata Clientela non mancherà di prendere nota del suo nuovo indirizzo, si permette inoltre di raccomandare i suoi ben noti:

Mod. 254 - 5 valvole miste Philips - 2 gamme

Mod. 549 - 5 valvole Philips - 4 gamme

NEL NUOVO LISTINO ALTRI INTERESSANTI MODELLI

GIZETA COSTRUZIONI RADIOFONICHE

Via Dolomiti 37 - MILANO - Telefono 69.28.74



(RAPPRESENTANZE COMMERCIALI)

Resistenze - Condensatori - Affini

MILANO - VIA CLERICI 8 - TELEFONO 15.69.97

PARTI STACCATI PER CASE COSTRUTTRICI
E GROSSISTI RADIO

DEPOSITO REGIONALE
PRODOTTI



COSTRUZIONE RADIORICEVITORI DI CLASSE

Mod. OG. 501 2 gamme d'onda e fono - 5 valvole serie rossa + occhio magico

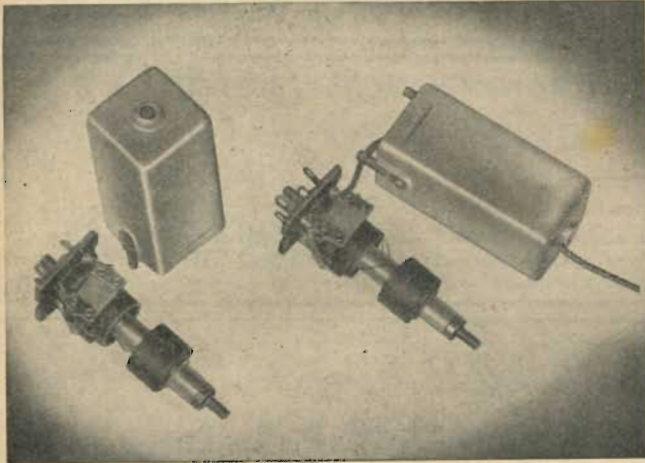
Mod. OG. 501 - E Come il precedente, però senza occhio magico e mobile dalle linee più sobrie

Mod. OG. 4 4 gamme d'onda e fono - 5 valvole serie rossa + occhio magico

RICHIEDERE ILLUSTRAZIONI E PREZZI ALLA **ORGAL RADIO**

Viale Monte Nero 62 - MILANO - Tel. 585.494

La serie di trasformatori "Cresal" ML1, ML2, ML3, ML4, risolve ogni problema del radiocostruttore, circa l'impiego di buoni trasformatori di media frequenza.



ML3
"Miniatura"



ROMA
Dr. Franco MODICA
Via Q. Sella, 20
Tel. 40.634

MILANO
ROCCASILVANA
Via Giurati, 15
Tel. 57.34.27

POGGIBONSI (Siena)
Sede Amministrativa
Via Repubblica, 6
Tel. 86.753

ICARE

Ing. **CORRIERI** Apparecchiature Radioelettriche

VIA MAJOCCHI 3 - TELEFONO 27.01.92



- RR 3/r** Ricevitore a tre valvole per la ricezione delle stazioni locali e vicine.
- RS 5/2** Ricevitore a 5 valvole; super; due gamme di onde medie.
- RS 5/4** Ricevitore a 5 valvole; super due gamme di onde medie; due gamme di onde corte.

Valvole PHILIPS "Rimlock,, - Mobile in bachelite
Minimo ingombro - Riproduzione perfetta

NOVA S.A.

OFFICINA COSTRUZIONI RADIO ELETTRICHE

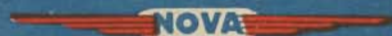
MILANO: Piazza Cadorna, 11 - Tel. 12284

STABILIMENTO: Novate Milanese - Tel. 97861

ORGANIZZAZIONE DI VENDITA

Rappresentanti: **TOSCANA** - A. R. P. E. - Via L. Alemanni, 37 - Firenze ● **PIACENZA** e Prov. - Brizzi Vittorio - C.so Garibaldi, 22 - Piacenza ● **LAZIO** - Fontanesi Goffredo - Via Giulimmo, 19 - Roma ● **ITALIA MERIDIONALE** - Barulli Antonio - Via S. Rovito, 35 - Napoli ● **SICILIA** orientale - Gandolfo Strano - Via Etna, 144 - Catania ● **SARDEGNA** - Mereo Mourin - Via V. Porollo, 5 - Cagliari ● **TRIESTE**, Udine e zona confine Tagliamento - **ASTREA** - Via G. Vacari, 5 - Trieste.

Viaggiatori per: Piemonte, Liguria, Lombardia, Tre Venezie, Marche ed Umbria, Emilia, Romagna, e Sicilia occidentale.



A.L.I.

SOCIETÀ ANONIMA

MILANO - Via Lecco 16 - Telefono 21.816
M A C H E R I O - (Brianza) Via Roma 11 - Telefono 77.64

Antica Fabbrica Apparecchi Radiofonici "Ansaldo Lorenz Invictus",
nuovi tipi di ricevitore da 5 a 8 valvole normali e fuori classe
Listini gratis a richiesta - NUOVO AUTORADIO funzionante anche senza antenna

FABBRICA
L O M B A R D A
A P P A R E C C H I
R A D I O
(S. a R. L.)

Rilevataria della Ditta "B. C. M. tutto per la radio"

Vasto assortimento radioprodotti

I migliori materiali ai prezzi più bassi del mercato.

Specialità Telai e Scale Tipo G 76

Rivenditori interpellateci

Listini gratis a richiesta

MILANO - C.so Porta Romana 96 - Tel. 58.51.38

S. A. **S.A.R.E.M.**

RADIOPRODOTTI "VICTORY"

MILANO - VIA GUANELLA, 29 (Sede propria)

FABBRICA ITALIANA **CONDENSATORI VARIABILI** in tutte le capacità da 100 pf. a 480 pf. - Micon, normali, e spazati - Fornitrice delle primarie fabbriche radiofoniche. - Costruzione **GRUPPI ALTA FREQUENZA** a bobine miconiche con nuclei siliferosi a 2-3-4-6 gamma con ricezione speciale di gamma da m. 9 - FABBRICANTI GROSSISTI e RIVENDITORI potranno avere schiarimenti e listini a richiesta.

S.A. **A.L.I.**

MILANO - VIA LECCO 16 - TELEFONO 21.816
M A C H E R I O - (BRIANZA) VIA ROMA 11 - TEL. 77.64

Radioprodotti A. L. I.

ALTOPARLANTI - ELETTROLITICI - GRUPPI - TRASFORMATORI
VARIABILI Ecc. - LISTINI GRATIS A RICHIESTA



MILANO
Corso Lodi, 106
Tel. N. 577.987

SCALE PER APPARECCHI RADIO E
TELAJ SU COMMISSIONE

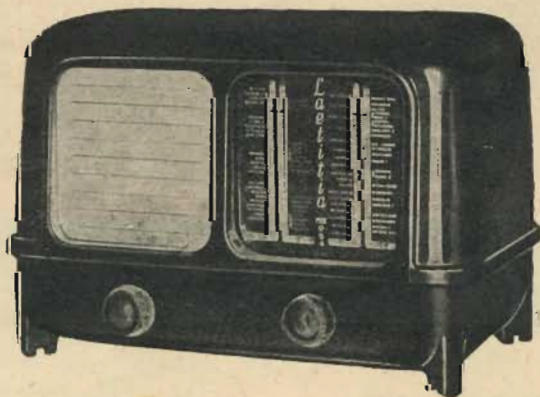
ALFREDO MARTINI
Radioprodotti Razionali

**ISTRUMENTI MISURA
PER RADIOTECNICI**

TESTER - PROVAVALVOLE - OSCILLATORI

ING. A. L. BIANCONI

Via Caracciolo 65
MILANO



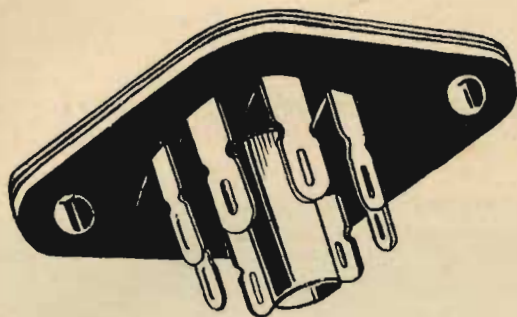
La soc. VARA RADIO - TORINO

presenta il ricevitore

"RADIO LAETITIA,, MOD. 954

- Moderno ricevitore supereterodina a 5 valvole serie octal - quattro gamme d'onda
Cortissime metri 16-37 Medie 1 metri 580-460
Corte 37-51 Medie 2 450-200
- Presa per fono rivelatore
- Controllo automatico di sensibilità su 2 valvole
- Altoparlante ad altissima fedeltà di medie dimensioni
- Potenza di uscita 3 Watt
- Trasformatore di alimentazione universale (da 110-280 V.)
- Mobile elegante e fine

Soc. V.A.R.A. - TORINO - Corso Casale, 137 - Telefono 86027



Supporti per valvole
"Miniatura" BREVETTATO

Produzione in grande serie
Esportazione

MILANO - Via G. Dezza 47 - Tel. 44330



Milano
 Via G. Dezza, 47
 Telefono 44.321

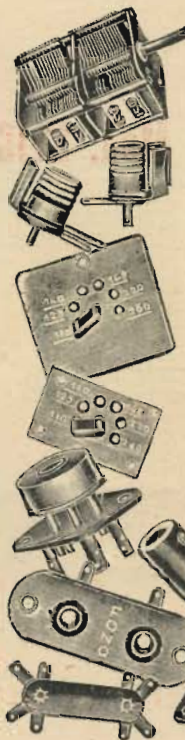
Brembilla (Bergamo)
 Tel. 201 - 7

G. L. POZZI

COSTRUZIONI MECCANICHE RADIO TECNICHE

DESIO - Via Visconti 5

Telegr. Pozz Radio - Desio



I MIGLIORI PRODOTTI
 AI PREZZI MIGLIORI

Interpellateci
 Interpellateci
 Interpellateci

A richiesta:
 CATALOGO ILLUSTRATO
 E LISTINO PREZZI

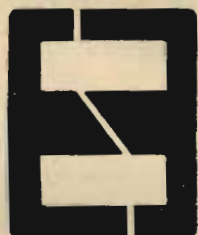


RADIOMINUTERIE

REFIX

CORSO LODI 113
 MILANO

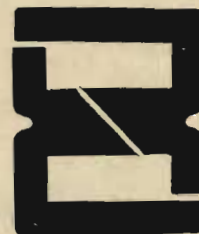
R



E



F



R. 1 56 x 46 colonna 16
 R. 2 56 x 46 colonna 20
 R. 3 77 x 55 colonna 20
 R. 4 100 x 80 colonna 28

E. 1 98 x 133 colonna 28
 E. 2 98 x 84 colonna 28
 E. 3 56 x 74 colonna 20
 E. 4 56 x 46 colonna 20

F. 1 83 x 99 colonna 29

SI POSSONO INOLTRE FORNIRE LAMELLE DI MISURE E DISEGNI DIVERSI

Prezzi di assoluta concorrenza



Officina Radio Elettromeccanica

Il Mod. 1546 F è un super che impiega sei valvole rosse di tipo nuovissimo. Comporta la ricezione su quattro gamme d'onda (1 medie, 2 corte, 1 cortissime). Impiega l'occhio magico, gruppo AF con nuclei ad alta permeabilità e microcompensatori ad aria, nuovi trasformatori di MF, 6 W di uscita con altoparlante Ticonal.

Il Mod. 1546 F è un radiofono-grafo ricavato dal telaio 546 con il complesso giradischi Geloso.

Mod. 1546 F



Uffici e Stabilimento: MILANO - VIA PIETRO DA CORTONA 2 - TELEFONO 29.60.17



Dätwyler

S.A.

Manufacture Suisse de Fils, Câbles et Caoutchouc

S. R. L. CONDUTTORI ELETTRICI

Carlo Erba

MILANO - VIA CLERICETTI N. 49
TELEFONO 292.867

Rappresentante per l'Italia della
Dätwyler A G Altdorf Uri.

Fili isolati di tutti i tipi e misure
Pirelli

Conduttori speciali per radio, telefonia e televisione, e fili per resistenze elettriche

Importante e fornito deposito di tutti i tipi più correnti e tipi speciali

G.T.M. Radio

PAMO 49



G.T.M.
VIA MARGHERA, 6B
MILANO
TELEFONO 48.23.13



COSTRUIRE UNA RADIO

per propria soddisfazione ed a scopo commerciale, non è difficile per chi segue gli insegnamenti dell'Istituto C.T.P.
Chiedete programma GRATIS a ISTITUTO C.T.P., Via Clisio 9 Roma (indicando questa rivista).



STUDIO RADIOTECNICO M. MARCHIORI

COSTRUZIONI:

GRUPPI ALTA FREQUENZA

G. 2 - 2 Gamme d'onda
G. 4 - 4 Gamme d'onda
F. 2 - Di piccolissime dimensioni con nuclei in ferrosite - 2 gamme d'onda
F. 4 - Di piccolissime dimensioni con nuclei in ferrosite - 4 gamme d'onda

Medie Frequenze: 467 Kc.

RADIO: 5 valvole - Antenna automatica - Attacco fono - Di piccole dimensioni.

Tutti i nostri prodotti sono scrupolosamente collaudati e controllati e chiusi in scatole con fascia di garanzia.

Via Andrea Appiani, 12 - MILANO - Telefono N. 62.201

La Ditta **F. A. R. E. F.**

mentre ricorda alla sua affezionata clientela di essere in grado di poter fornire **RADIO, MOBILI, SCATOLE DI MONTAGGIO, e PARTI STACCATE** a prezzi modicissimi, si pregia formulare i più fervidi auguri per il 1950.

Richiedere dietro invio di L. 100 il catalogo illustrato delle scatole di montaggio e mobili.

F. A. R. E. F. - Largo la Foppa, 6 - MILANO - Tel. 63.11.58



RADIO F.III D'ANDREA

COSTRUZIONE SCALE PARLANTI PER APPARECCHI RADIO
Via Castelmorrone, 19 - MILANO - Telefono 20.69.10

Mod. 101 - **Scala Parlante** Tipo normale Form. cm 15x30 con cristallo comune e a specchio a 2-4 gamme d'onda

Mod. 102 - **Tipo speciale** Form. cm. 15x30 con 4 lampadine d'illuminazione, speciale schermatura e cristallo trasparente a specchio a 2-4-6 gamme d'onda

Mod. 103 - Tipo speciale per il nuovo gruppo **A.F. Geloso 1961-1971** a 2-4 gamme d'onda

Mod. 104 - **Scala Grande** Form. cm. 24x30 con manopole sul cristallo e nuovo gruppo Geloso A.F. 1961-1971

Mod. 105 - **Scala piccola** formato cm. 11x11 indice rotativo fondo nero cristallo a specchio



Bobinatrici per avvolgimenti lineari e a nido d'ape

Via Palestrina, 40 - MILANO - Tel. 270.888 - 23.449



SETTIMIO SETTIMI

MILANO
VIA BRIOSCHI, 61
TELEFONO 33.405

FABBRICA SPECIALIZZATA

**CONI ACUSTICI
PER
ALTOPARLANTI**

RIMESSA A NUOVO ALTOPARLANTI

CONSEGNE SOLLECITE ANCHE PER RILEVANTI ORDINI

ORGAL RADIO

- Scatole di montaggio mod. OG. 501 e normali; (tutte corredate di condensatori a carta SIEMENS)
- Scatole di montaggio SAFAR Ultra S. 53;
- Vasto assortimento di parti staccate;
- Mobili per normali ricevitori e per SAFAR Ultra S. 53;
- Consulenza tecnica gratuita.

Viale Monte Nero, 62 - MILANO - Telefono 58.54.94

STRUMENTI DI MISURA
 PARTI STACCATE
 PEZZI DI RICAMBIO
 MINUTERIE E VITERIE DI PRECISIONE
 PER LA RADIO

Riparazioni accurate in qualsiasi tipo e marca
 di strumenti di misura, a prezzi modici



È uscito il nuovo listino prezzi. Costruttori, rivenditori
 e riparatori richiedetelo!

"Vorax" S.A.
 Milano



VIALE PIAVE, 14
 TELEF. 24.405



Voltmetro a valvola

AESSE

Via RUGABELLA 9 - Tel. 18276-156334

MILANO

Apparecchi e Strumenti
 Scientifici ed Elettrici

- *Ponti per misure RCL*
Ponti per elettrolitici
Oscillatori RC speciali
Oscillatori campione BF
Campioni secondari di frequenza
Voltmetri a valvola
Taraohmmetri
Condensatori a decadi
Potenzimetri di precisione
Wattmetri per misure d'uscita, ecc.
 — **METROHM A.G. Herisau (Svizzera)** —
- *Q - metri*
Ondametri
Oscillatori campione AF, ecc.
 — **FERISOL Parigi (Francia)** —
- *Oscillografi a raggi catodici*
Commutatori elettronici, ecc.
 — **RIBET & DESJARDINS Montrouge (Francia)** —
- *Eterodine*
Oscillatori
Provavalvole, ecc.
 — **METRIX Annecy (Francia)** —



M I L A N O
Corso Lodi 108
Telefono 58.42.26

La Ditta Gino Corti

porge i migliori auguri a tutta la sua
affezionata Clientela

Sempre a completa disposizione del pubblico per ogni schiarimento, e, ove occorra, anche per un opportuno consiglio circa l'impiego dei nostri prodotti,

preghiamo i Sigg. Clienti di non dimenticare

che se tali prodotti possono assomigliare o avere qualche cosa di comune con quelli similari della concorrenza, non siamo noi che abbiamo imitato gli altri, ma gli altri che hanno scopiazzato le nostre creazioni.

Non ci dispiace anzi ci rallegra il fatto d'essere copiati: esso serve di riprova (ammesso che ci sia bisogno di una riprova) che noi siamo all'avanguardia di ogni innovazione tecnica e che i nostri prodotti, anche se imitati, sono facilmente riconoscibili per la loro impeccabile finitezza ed il loro ineguagliabile rendimento.

Medie Frequenze per F.M. e per A.M. Gruppi Alta Frequenza



FABBRICA APPARECCHI RADIO "ASTER,, - MILANO

VIA MONTESANTO, 7 - TELEFONO 67.213

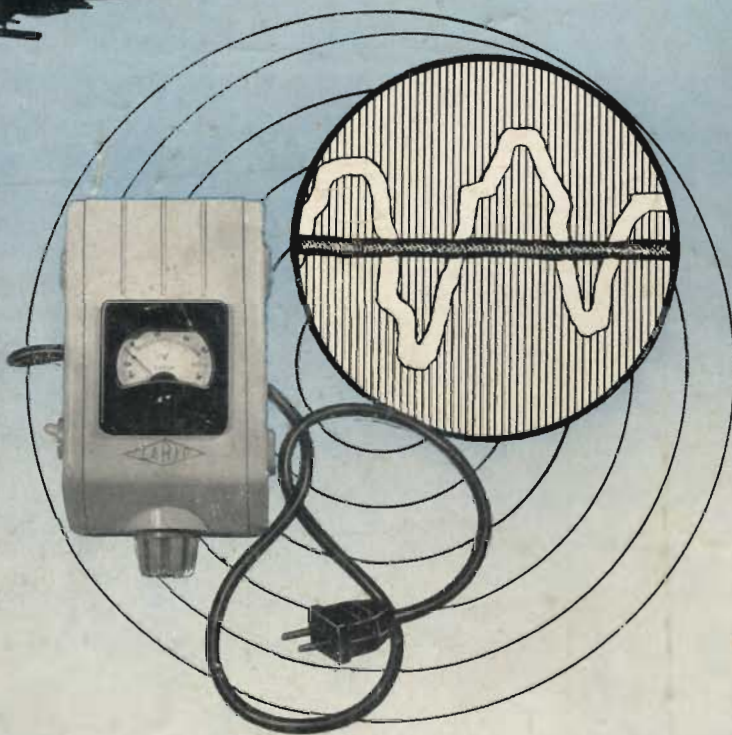


Elevatore di Tensione

"B. L. 46"

da
120-250-500-1000
Watt

per tutte
le
tensioni
di rete.



V
i
e
m
e



LABORATORI RIUNITI INDUSTRIE RADIOELETTRICHE

Piazza 5 Giornate 1

MILANO

TELEF. 55.671